

## 【資料4】

### 市庁舎の地盤データ資料

桑名市庁舎新築に伴う地質調査委託

報 告 書



昭和 44 年 1 月

東建地質調査株式会社名古屋支店

名古屋市東区富士塚町 2-3-4

TEL(962)7561(代)

目 次

まえがき	( 1 )
調査概要	( 1 )
案内図	( 4 )
I 調査結果	( 4 )
I - 1. 調査位置及び地形	( 4 )
I - 2. 地質概要	( 4 )
I - 3. 土質試験	( 7 )
I - 4. プレシオメータ試験	( 9 )
I - 5. 現場透水試験	( 19 )
II 基礎に関する考察	( 31 )
II - 1. 支持層及びその地耐力	( 32 )
II - 2. 施工上の問題点	( 38 )
III 調査結果資料	
◎ 地質柱状図	( 59 )
◎ 地質断面図	( 附図 )
◎ 調査地点位置図	( 42 )
◎ 土質試験データーシート	( 43 )
◎ プレシオメータ試験データーシート	( 67 )
◎ 現場透水試験データーシート	( 72 )
◎ 現場記録写真	

## まえがき

本報告書は三重県桑名市建築課の御指名により、東建地質調査株式会社が実施した地質調査の結果をまとめたものである。

調査は指示された地点において仕様書に従い下記の調査概要に示す様標準貫入試験試錐3ヶ所、プレシオメーター試験、現場透水試験及び土質試験により、同地域の地質構成を明らかにすると共に地盤の土質工学的性質を知り、ここに計画される建造物の基礎構造設計の参考資料とする事を目的としたものである。

## 調査概要

1. 調査件名 桑名市庁舎新築に伴う地質調査委託
2. 調査場所 桑名市中央2丁目37番地市役所敷地内
3. 二期 　自 昭和44年11月4日  
至 昭和44年12月5日
4. 調査内容
  - 標準貫入試験試錐 20m 2ヶ所  
40m 1ヶ所  
延べ 80m  
(深度1m毎に標準貫入試験実施)
  - プレシオメーター試験 2点
  - 現場透水試験 3点

- 不攪亂試料採取 2 罐
- 力學試驗（一軸，三軸，壓密）各 2 筒
- 物理試驗 各 4 筒  
(含水，粒度，比重，液，塑性界限)

## 5. 調査担当者

• 試 錐	福建地質調查（株）	試錐課	谷 口 克
	"	"	地 主 龍治郎
• ブレシオメーター試験	"	技術課	工 嵩 良 広
• 現場透水試験	"	"	"
• 土質試験	質試驗室	土 地 耕 道	他 4 名
• 報 告 書	"	技術課	山 下 俊 太

案 内 図

縮 尺 1/25000

## ◎ 調查場所



# I 調査結果

## I - 1 調査位置及び地形

本調査地は行政区画上、三重県桑名市中央2丁目37番地に当り、国鉄「くわな」駅南方約600mに位置し、現在の市役所内である。

地形的には伊勢湾北西岸に沿つて発達する最も低位の地形面で、沖積低地と呼ばれる平坦地上に位置している。

この沖積低地は長良、木曽、揖斐の河川及び町屋川等の運搬作用により形成されたものである。尚この沖積低地のすぐ西側には調査地より高位の洪積台地及び才三紀丘陵地帯が連続している。

## I - 2 地質概要

鈴鹿、養老の両山地に接して東～南東側に発達する丘陵、台地、段丘、平野（沖積低地）は才三紀層、才四紀層により構成されており、このうち才三紀層は丘陵、台地等の浅層に分布し、才四紀層は丘陵、台地、段丘を被う洪積世の河成堆積物（洪積層）と平野部（沖積低地）を被う内湾～河成堆積物（沖積層）とに二分される。

以下標準貫入試験試錐より明らかとなつた調査地内の地質構成より、その概略を記す。

### ○ 沖積層 (GL-0~3.5m)

GL-1.7mまで表土より成り、以下横方向への連続性のよい

粘土より成る。

◎ 洪積層 (GL-2.25m 以深)

全体的に砂質土より構成され、粘性土層は部分的に薄層として分布するが、No.2 地点ではやゝ粘性土分が多くなる。又 No.2、No.3 地点ではシルト混り細～中粒砂をレンズ状に含み、層相、 $\pi$  値等の変化がはげしいが、全体的にみて横方向への連続性がよい。尚 No.2 地点において GL-26m 附近より砂礫層となつてゐるが、GL-20m までの地層の連続性を見ると横方向への連続性のよい地層であるから、No.1、No.3 地点の下部においても分布するものと思われる。

尚各層の土性特徴を土質試験、プレシオメーター試験、透水試験結果を含めて、次表に記す。

地層名 土質名	N-Value	土性特徴			
		10	20	30	40
表土					
粘性土	冲積層				
砾混り粗砂	(第四紀) 淀積層				
砂質土					
粘性土					
砂礫					
粘性土					

岩塊、岩片混りの土砂  
 • N値 = 2~4  $q_u = 0.42 \sim 0.62$  のシルト、粘土である。  
 • 敷地内では多少の層厚の変化は有るが、ほぼ全域にわたつて分布する。  
 • 一般に濁植物、細粒砂を含み  $\gamma_m = 17.9 \sim 1.99 \text{ kN/m}^3$

不整合

• 全体としては  $\phi = 5 \sim 10\%$  の亜円礫(古期岩頬)を混えた粗粒砂であり、下位の一部では礫量が多く、砂礫状になる。  
 • No.2、No.3 地点では粘土、シルト分を混える事が多く、シルト質細砂～砂質シルトと砂質土～粘性土薄層に漸移する(中、下部の相変化が大)  
 • 標準貫入試験 N 値は粗砂～砂礫では N 値 = 16~50 砂質土では 2~28、粘性土では 9~24 と大きくバラツクが、下位に向つて増大の傾向にある。  
 • プレシオメーター試験では礫混り粗砂 ( $P_s = 1$ ) で  
 $p_f - p_0 = 3.92 \text{ kPa}$   
 $p_f - p_0 = 2.68 \text{ kPa}$   
 $E_s = 67.38 \text{ %}$

砂質土～粘性土 ( $P_s = 2 \sim P_s = 2$ ) では  
 $p_f - p_0 = 4.55 \sim 6.15 \text{ kPa}$   
 $p_f - p_0 = 1.52 \sim 2.94 \text{ kPa}$   
 $E_s = 51.2 \sim 57.7 \text{ %}$

• 透水試験では  $T_s = 1 \dots K = 4.62 \times 10^{-4} (\text{cm/sec})$   
 $T_s = 2 \dots K = 1.15 \times 10^{-3} \sim 4.14 \times 10^{-2} (\text{cm/sec})$   
 $T_s = 3 \dots K = 2.4 \times 10^{-3} \sim 1.11 \times 10^{-2} (\text{cm/sec})$

•  $\phi = 10 \sim 20\% \quad \phi_{max} = 50\%$  の亜円～亜角礫(古期岩頬)  
 • 充填物は中～粗粒砂を主とし、一部にシルト～細砂  
 • 局部的に N 値 = 9 程度の粘性土薄層 (0.25~1.1m) を挿在するが全体には N 値  $\geq 50$  の密に繋つた礫層。  
 • No.1、No.3 地点においても、大体同一深度から分布すると考えられる。

### I - 3. 土質試験

土質試験について各試錐地点において採取した攪乱、不攪乱試料について、物理・力学試験を実施した。

この内攪乱試料については1m毎に行なつた標準貫入試験の際、レイモンドサンプラー中に採取されたもので、含水、粒度（筋分+沈降分析）、液性、塑性限界等の他物理試験も併せて行なつた。これら結果の整理したものとしては巻末の「土質試験結果資料」に示してある。

以下各土層について土質試験結果の概要を記す。

#### 〈冲積層〉

##### 冲積粘性土層

- ・粒度組成は粘土=39~47%、シルト=4.6~47%、砂=5~14%、礫=0%と、細粒土が優勢である。
  - ・含水比は $w=35.89\sim39.38\%$ 、冲積粘性土としては低い値を示している。
  - ・コンシステンシーは $L=48\sim56\%$ 、 $G=22\sim25.6\%$ で比較的安定した粘性土
  - ・一軸圧縮強度  $q_u=0.50\sim0.55\text{kg/cm}^2$   $\therefore C_u=0.25\sim0.27\text{kg/cm}^2$
  - ・圧密先行荷重度  $p_0=1.65\text{kg/cm}^2$
  - ・圧密係数  $C_v=4.5 \times 10^{-3} \text{ cm/sec}$
  - ・圧密指数  $C_s=0.284$
- } No.2, No.3 地点で採取した不攪乱試料による。

上記の圧密先行荷重度よりこの粘性土は正規圧密の粘性土である。

- ・単体  $\gamma_t = 1.79 \sim 1.84 \text{ g/cm}^3$  とやゝ大きく、間隙比  $e = 0.97 \sim 0.99$ 、  
冲積粘性土としてはやゝ低い値

#### <洪積層>

##### 洪積砂質土

- ・粒度組成は礫  $= 1 \sim 57\%$ 、砂  $= 36 \sim 70\%$ 、シルト  $= 1 \sim 37\%$ 、粘土  $= 0 \sim 12\%$  で、礫及び砂を主体としている。
- ・含水比  $w = 8 \sim 27\%$ 、地下水位下の砂質土としては低い値
- ・比重  $G_s = 2.64$
- ・均等係数  $D = 4 \sim 34$  と巾広い均等係数を示している。

##### 洪積粘性土

- ・粒度組成は礫  $= 1\%$ 、砂  $= 39\%$ 、シルト  $= 42\%$ 、粘土  $= 18\%$  で砂及びシルトを主体としている。
- ・含水比  $w = 23.6\%$
- ・比重  $G_s = 2.63$  中程度の比重を示す。

#### I - 4. プレシオメーター試験

今回のNo.3地点における試錐孔を利用して 0.1-6m 以深に分布する砂～砂質土～粘性土に対する横方向載荷試験（ここではルイ・メナールにより開発されたプレシオメーター試験）を実施して、地盤のE値、支持層の地耐力、沈下に対する検討資料とした。

プレシオメーター試験結果一覧表

測定 No.	測定深度 $m$	土 質	N 値	$P_0$ ( $\frac{kg}{cm^2}$ )	$E_0$ ( $\frac{kg}{cm^2}$ )	$E_L$ ( $\frac{kg}{cm^2}$ )	$E_S$ ( $\frac{kg}{cm^2}$ )
B - 1	0.1 - 7.70	レキ混り 粗 砂	36	1.63	4.31	5.55	67.38
B - 2	0.1 - 9.45	粘土混り 粗 砂	11	1.535	4.47	6.08	51.24
B - 3	0.1 - 12.20	シルト質 細 砂	7	1.05	2.57	7.20	57.72

※ No.1については測定地盤が単位の締りを示すレキ混り粗粒砂であるため再三、再四試みたがいずれも正規の測定孔が穿孔できず、かなり大口径になり、更に測定地盤を乱したものと考えられる。従つて  $P_0$ ,  $E_0$ ,  $E_L$ ,  $E_S$  等はいずれも過小値を示している。

## • プレシオ試験測定概要

プレシオメーター法はフランスの Louis Menard は加圧に使用するゴム膜を 3 分割して上下のガードセルで土の移動を防ぐ事を考え、中のメインセルで変位の測定をした。

これは 2 次元的な円筒型変形で円周上に剪断がないために測定結果の解析を容易にしている。 Louis Menard の論文によるとプレシオメーターに於て次第に圧力を増加してゆくと変形が一定になり次に変形が増大し、更に一種の破壊現象となる。これはプレシオメーター周辺の地盤が弾性限界から塑性限界に入り圧力が高くなると、塑性領域が拡大したものとした。

### ① 測 定 方 法

プレシオメーターは加圧装置、容積計、測定管の 3 部分によつて構成されており、ボーリング孔にゴム膜で被つた円筒形の測定管（プローブ）を挿入し、これに圧力を加えて地盤に水平方向の圧力を作用させ、圧力と変形量を測定する。

測定管は上下にガードセル、中にメインセルがあり、ガードセルはメインセルの膨張によつて地盤に鉛直方向に等しい変形量を与えるためのもので、ガス圧によつて膨張される。加圧はボンベに貯えられたガス圧(炭酸ガスCO<sub>2</sub>)によつて行ない、加圧能力は最大25% (標準管)である。

最初に測定管に通じるビニール管を連結し、回路の気泡を除き測定管に水を満す。次にガス圧を加えてメインセルを膨張させる。ガス圧は圧力計で読み、水の容積変化は容積指示器の目盛を読む。圧力計の読みが求める圧力となつたら、圧力を一定にして15秒、30秒、1分、2分の間隔で容積計を読みとる。

(2) 圧力容積曲線(P - V Curve)と圧力クリープ曲線(P - ΔV Curve)圧力Pと2分間のクリープに対応する容積Vとの関係を示されるのが圧力 - 容積曲線である。

次に加圧瞬間の容積をVとし、t時間経過した後の容積をV<sub>t</sub>とすれば

$$\Delta V = V_t - V$$

で示されるのがクリープによる容積変化である。但しVは実際には測定し難いので、プレシオメーター法の場合30秒、2分に対応するV<sub>30</sub>、V<sub>120</sub>から

$$\Delta V = V_{30} - V_{120}$$

とクリープ容積変化と定義しこのΔVと圧力Pについて関

係を求めたのが  $P - \Delta V$  曲線である。

### ③ 自然圧力、降伏圧力、極限圧力

(1) 初期圧力(自然圧力)

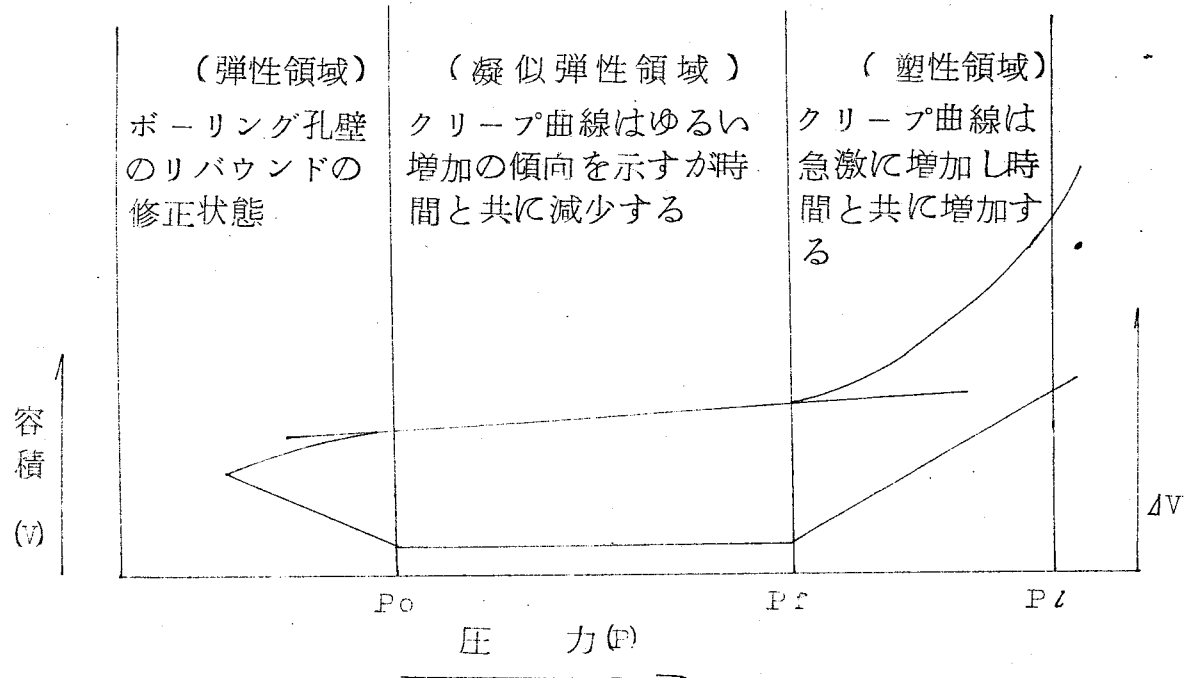
(2) 流動圧力(降伏圧力)

(3) 極限圧力

$P - V$  曲線について、これら各圧力間の性状を説明すると次の様になる。まず穿孔後、孔壁背面の土圧によつて孔壁は孔径が収縮する形に押し戻すので孔壁周辺の土はランキンの主動土圧状態から静止土圧状態に移行される。この過程が(1)までの変化である。次に孔壁周辺の土は凝似弾性的に変形し、その状態は圧力に対してほぼ直線的である。

そして(2)に至ると孔壁周辺に塑性化した部分が現われはじめ、その塑性化領域は孔壁から次第に拡がつていてやがて極限状態に至る。

プレシオメーター法による  $P - V$  曲線、 $P - \Delta V$  曲線を描くと次の様になる。



#### (4) 変形係数

プレシオメータ法によつて求められる諸係数は、変形係数、粘着力、支持力、沈下等とあるが、ここでは変形係数について述べる。

圧力が  $P_0$  から  $P_f$  に至る間の変形性状を弾性的に扱うと次式によつて定義される。

$$E_s = 2(1+\mu)(V_0 + V_m) \frac{dP}{dV}$$

ここに  $E_s$  : 変形係数

$\mu$  : 地盤のポアソン比

$V_0$  : 測定管の初期体積 (cc)

$V_m$  :  $P_0 \sim P_f$  間の平均圧水量 (cc)

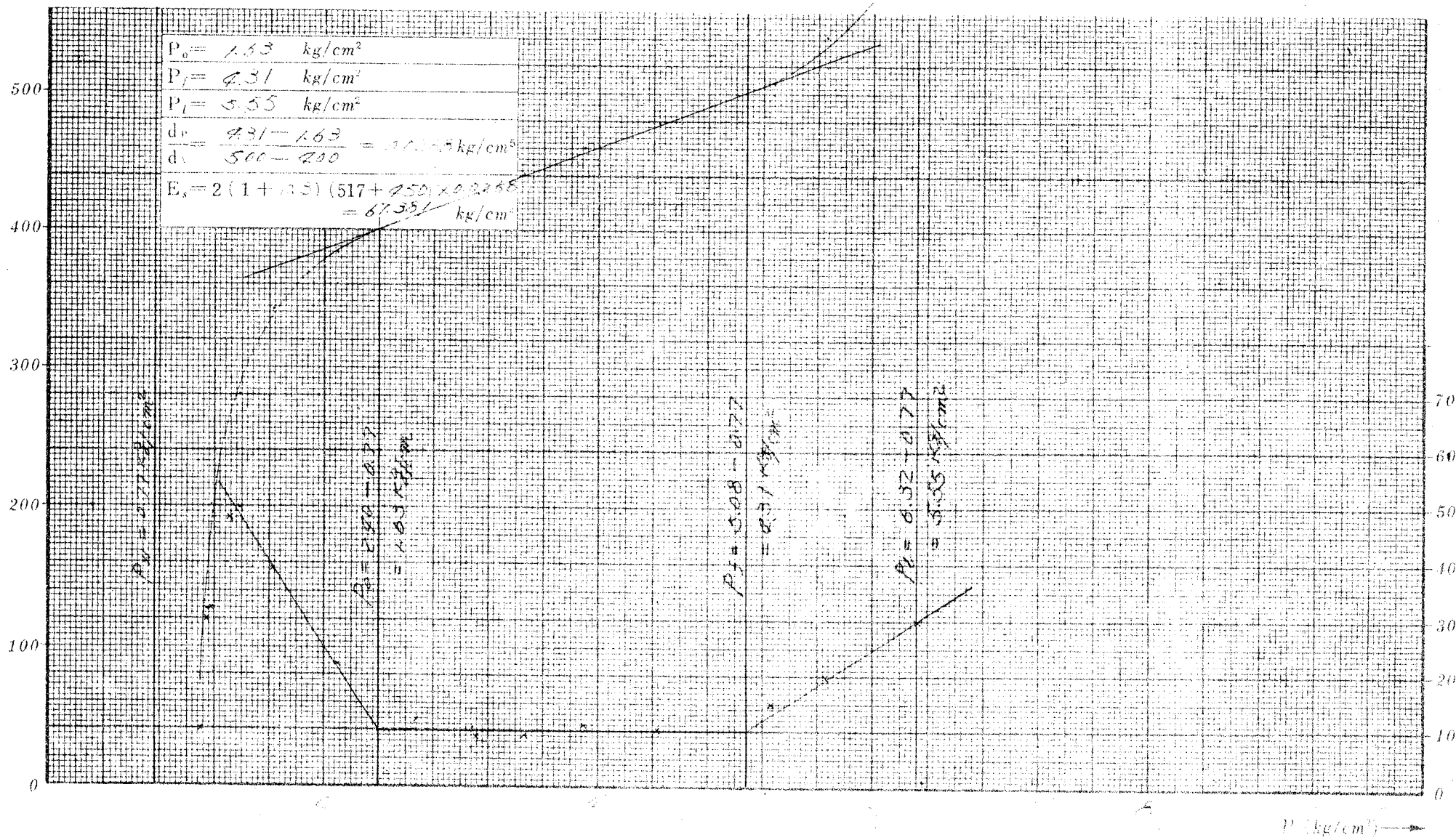
$\frac{dP}{dV}$  :  $P_0 \sim P_f$  間の  $P - V$  直線の逆勾配 %/cc

$V_0$  は標準測定管  $\phi=56\%$  の場合半径  $28\%$  メインセルの長さ  $L=21cm$  でおよそ  $517cc$  である。

第 図 P-V, P- $\Delta V$  曲線

測定場所 東京都府立農業工事  
地点 No. P-1

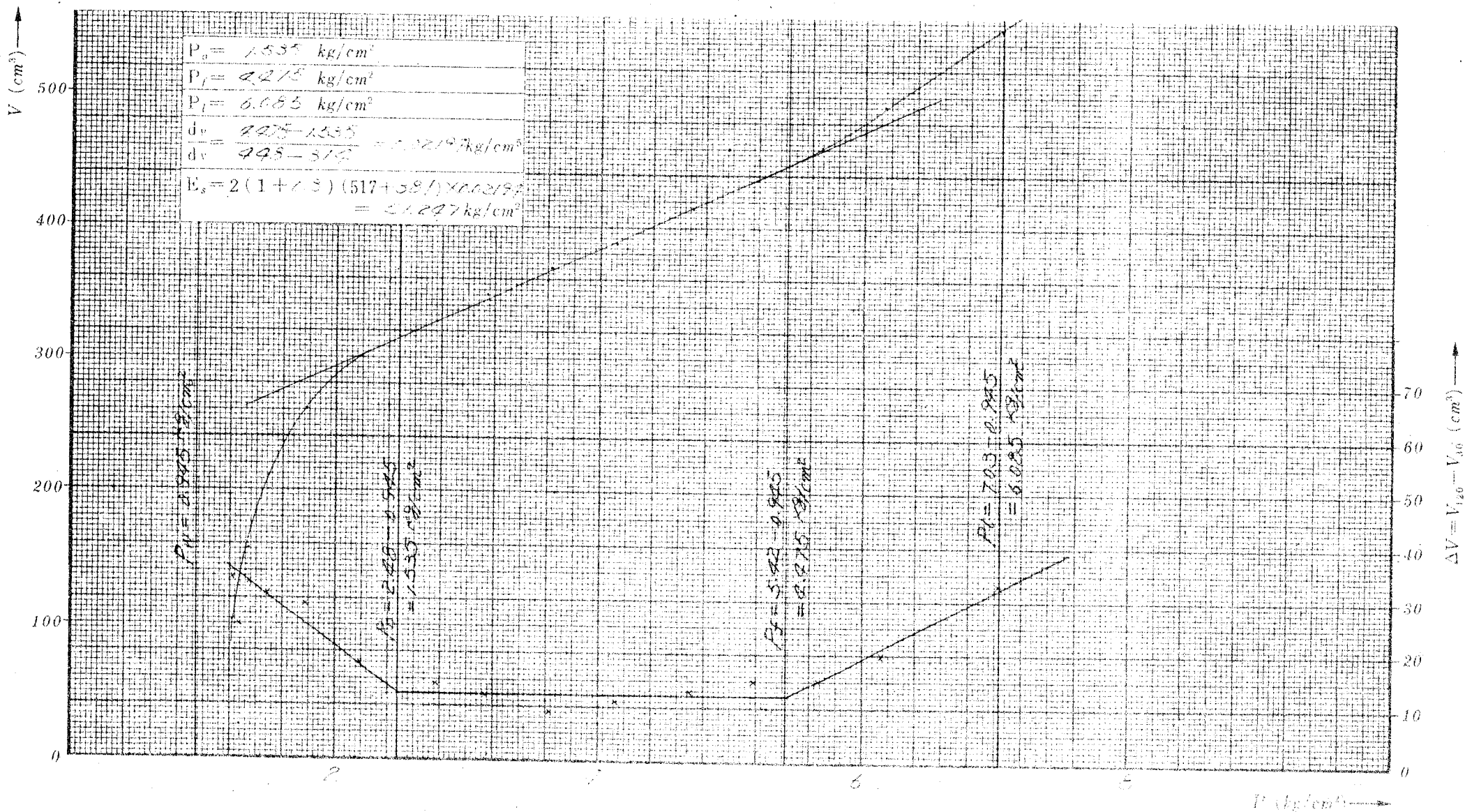
測定深度 GL = 7.70 m  
孔内水位 GL ± 0.00 m



### 第 図 $P-V$ , $P-\Delta V$ 曲線

測定場所 東名高速道路 上り  
地点 No. P3-2

孔内水位  $GL + 2.20$  m



第一圖 P-V, P- $\Delta V$  曲線

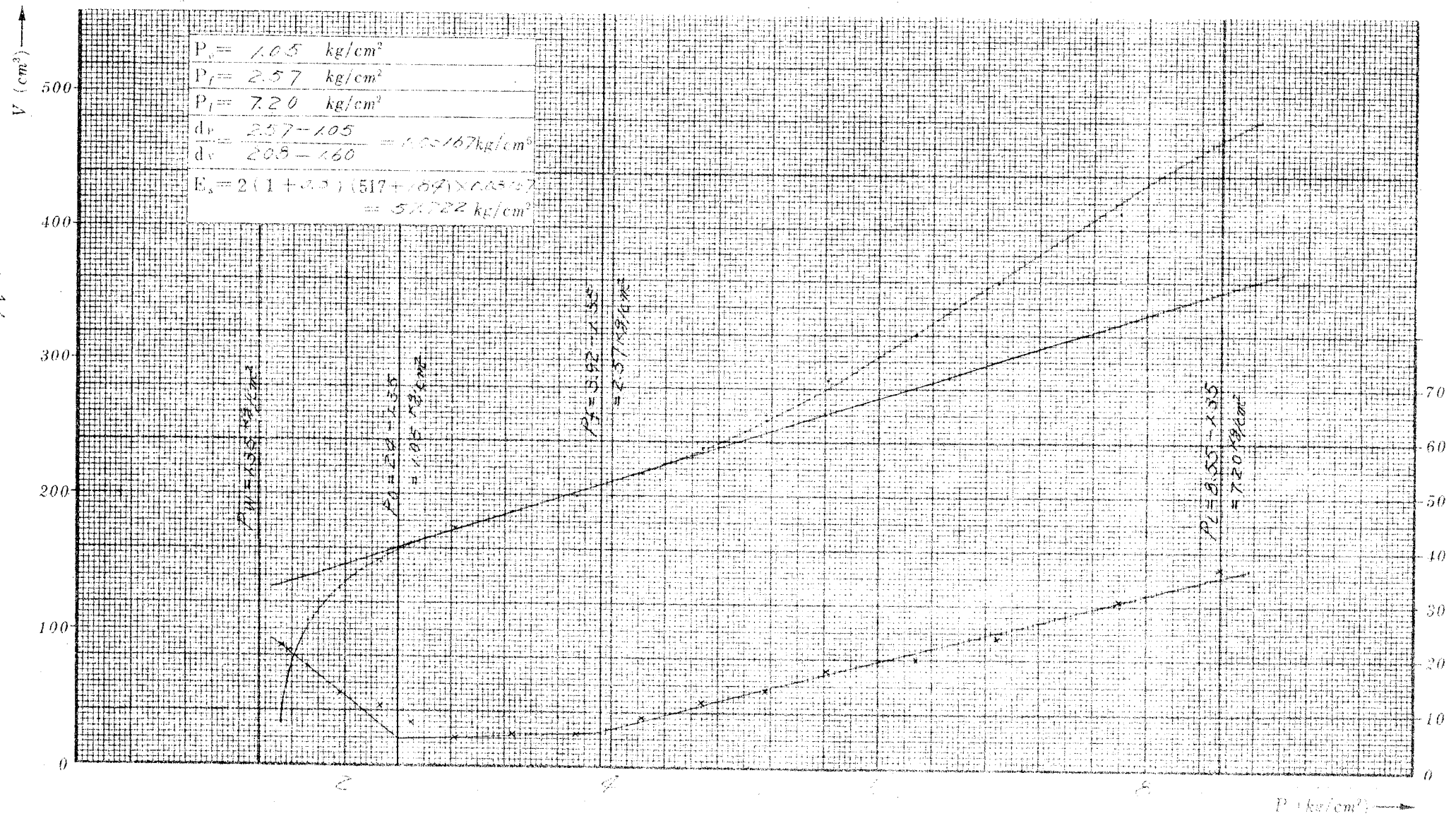
測定場所 臺中市立農業試驗場

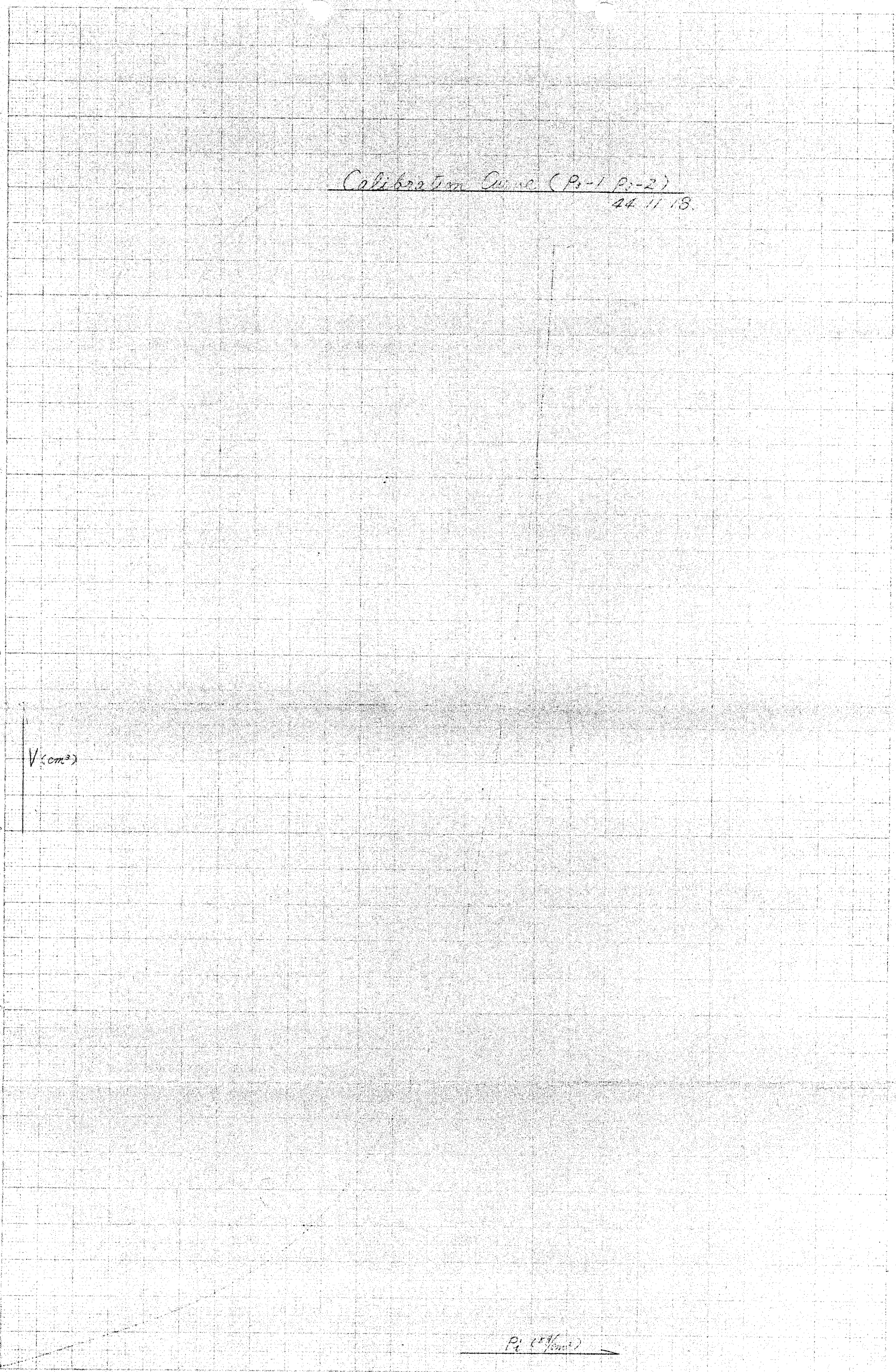
地点 No.

P<sub>0</sub>-S

測定深度 GL-13.20 m

孔內水位 GL ± 0.00 m





Calibration Curve (P<sub>0</sub>-3)

44. 11. 19.

V (cm<sup>3</sup>)

P<sub>2</sub> (kg/cm<sup>2</sup>)

I - 5. 現場透水試験（ボーリングNo.3地点において実施した  
現場透水試験）

Ⓐ. 測定結果

測定 No.	測定深度 m	測定地盤	平衡水位 m	間隙水圧 $\frac{kg}{cm^2}$	透水係数 $(cm/sec)$
T <sub>3</sub> -1	GL -- 3.45	礫混り	GL -- 203	$s=0.142$	$4.62 \times 10^{-4} (cm/sec)$
T-2	GL -- 7.50	粗砂	GL -- 2.82	$s=0.468$	$1.15 \times 10^{-3}$ $\sim 1.14 \times 10^{-2} (cm/sec)$
T-3	GL -- 10.65	粘土混り 粗中砂	GL -- 2.98	$s=0.767$	$2.40 \times 10^{-3}$ $\sim 1.11 \times 10^{-2} (cm/sec)$

- ① 試験結果より間隙水圧  $s=0.142 \sim 0.767 \frac{kg}{cm^2}$  と静水圧分布を示す。
- ② T-1については粗砂層中に局部的に含まれる粘性土と泥水の影響のためかやゝ過小値と考えられる。
- ③ GL-8.67m 以浅の礫混り粗粒砂層については設計用透水係数  $\bar{k}' = 3 \times 10^{-2} cm/sec$  、  
GL-8.67~12m 附近の砂層については  $\bar{k}' = 2.4 \times 10^{-3} cm/sec$  程度の値が妥当と考える。

### ⑤ 測定方法について

間隙水圧測定は現今、原位置試験の重要な分野になりつつあるか、特に基礎設計の資料を得る為には地下水位下に於ける掘削する場合の排水方法の選択、地下水位の高さ及び地中に於ける透水性の程度等を検討するに足る資料を得る事を目的としている。

間隙水圧は直接測定器による観察する方法（カールソン法）と現場透水試験に附隨して水位の観察から求める方法がある。測定器によるものは、最近種々考案されているが、特に電気ピックアップ式の物も実用に供されているが、これは地層が密な場合は貢入及び設置が困難であり、軟弱な粘性土層に適用が限られていると云つて過言ではない。

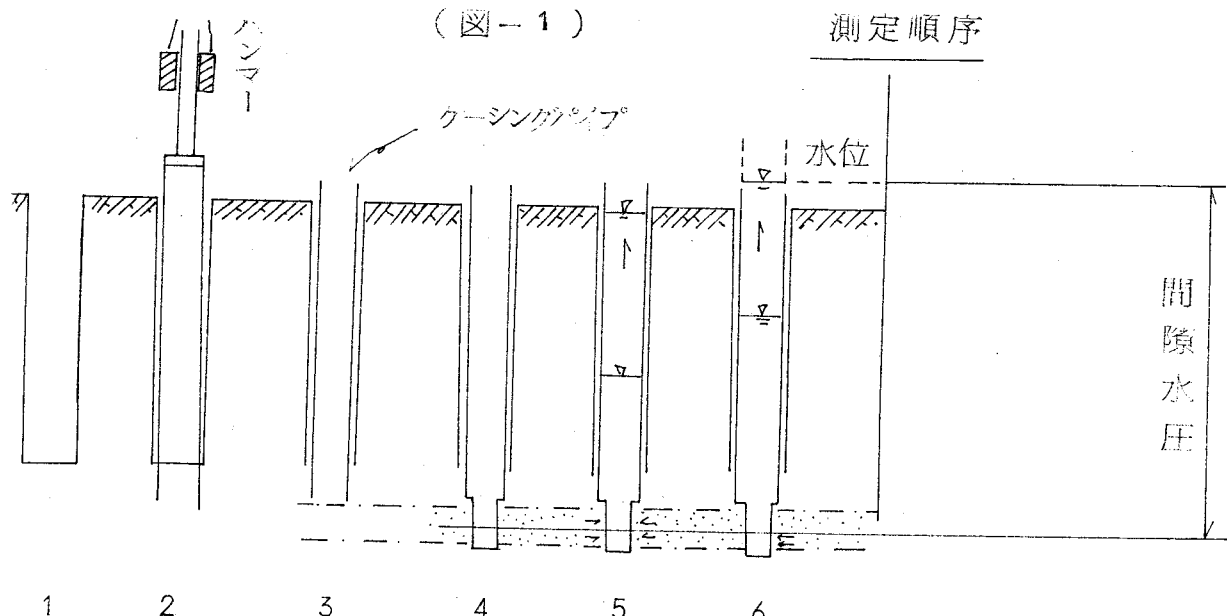
従つて我々は現場透水試験に附隨した測定方法を実施した。試験方法には数多くの方法が考えられているが、このうち〔地下水面上に達する单一の井戸から水をくみ出し井戸中の水位の回復を測定して間隙水圧及び透水係数を求める方法〕がある。これに属するものに、チューブ法・ビエゾメーター法及びオーガー孔法等があるが、測定地盤（礫～礫混り粗砂）の穿孔状態よりチューブ法とビエゾメーター法の折中案であるいわゆるケーシング法が今回採用した方法である。  
ケーシング法は砂地盤については極めて有効である事が知られている。

ケーシングパイプの設置及び測定の順序については次に示す通りである(図-1)。

又、直接の測定深度はケーシング上端から区間中央までの深度をとつて示してある。

(図-1)

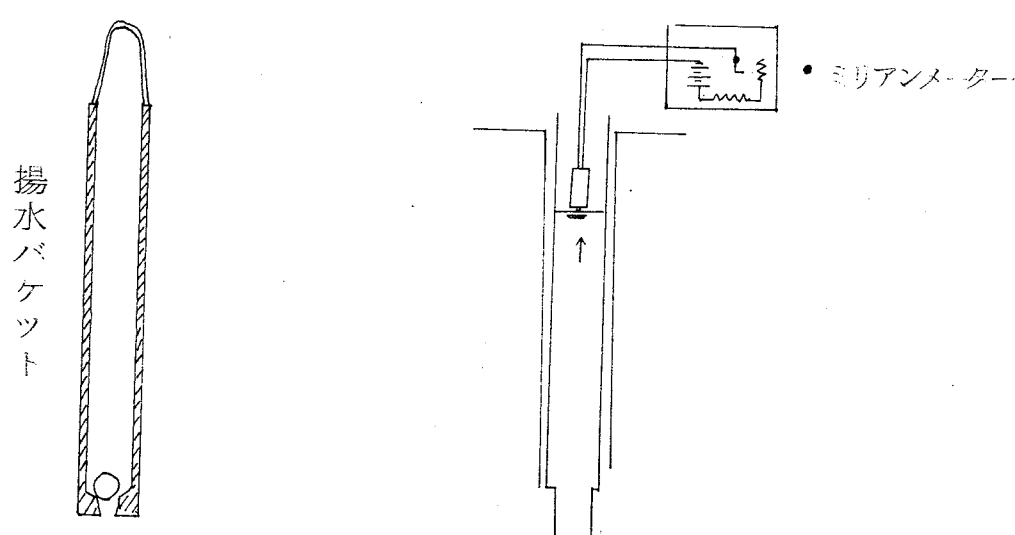
測定順序



1 2 3 4 5 6

1. ポーリングによる穿孔
2. ケーシングパイプの打込
3. ケーシングパイプ内の清水洗浄及びパイプ先端よりロッドクラウン (42%) によし 0.5 m 以上の掘進
4. パイプ内水位を低下し水位の回復を測る(回復法)
5. パイプ内水位をあげ水位の低下回復を測る(注入法)

(図-2) 揚水装置及び水位測定装置概念図



次に平衡水位について根本的には翌朝（測定後約12時間後）水位を平衡水位としている。

理想的に云えは翌朝水位は測定終了時水位と同じ筈であるが終了時水位より低下している場合が多い。これは調査地附近の地下水の汲み上げ及び潮汐の影響を受けているものと思われる。このような場合は翌朝の水位を無視して終了時水位をもつて平衡水位とした。

#### (c) 算出方法

- ・ 間隙水圧：測定基準深度から平衡水位までの水頭を $\alpha$ としてこれから間隙水圧 $\gamma \alpha$ を求めた。
- ・ 透水係数：測定結果から「時間（ $t$ ）-水位（ $z(t)$ ）曲線」を作製し、この曲線の傾斜から透水係数を求めた。

図によれば（図略）直線部分の勾配となる。

$$K = \frac{2.3 \pi r^2}{t} \frac{z(t) - z_0}{z_0 - z} \dots \dots \dots \quad (1)$$

ここで  $K$  : 透水係数 ( $cm/sec$ )

$r^2$  : 測定孔の半径 ( $2.1 cm$ )

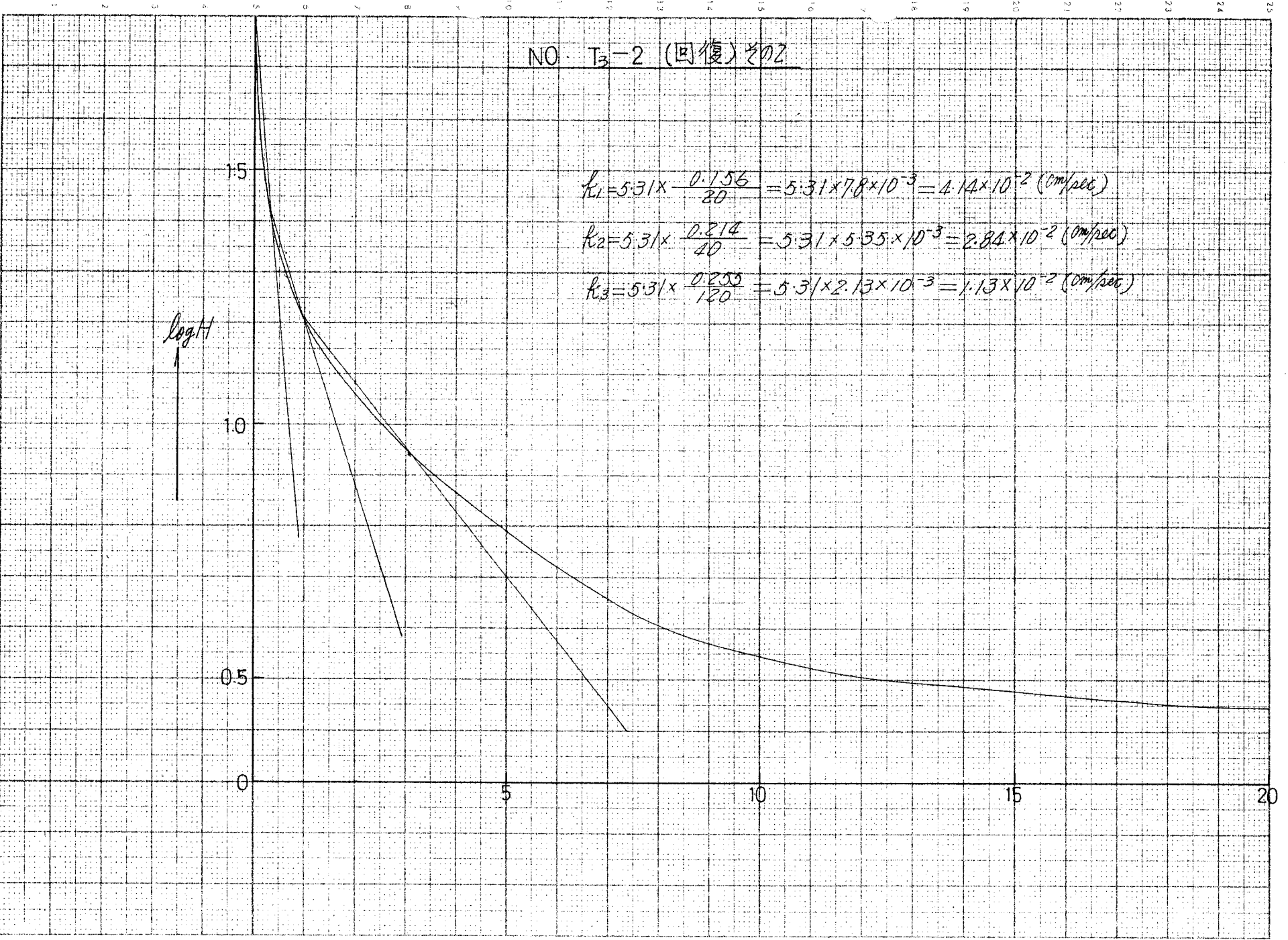
$z(t)$  :  $t$ 時の平衡水位からの高さ ( $m$ )

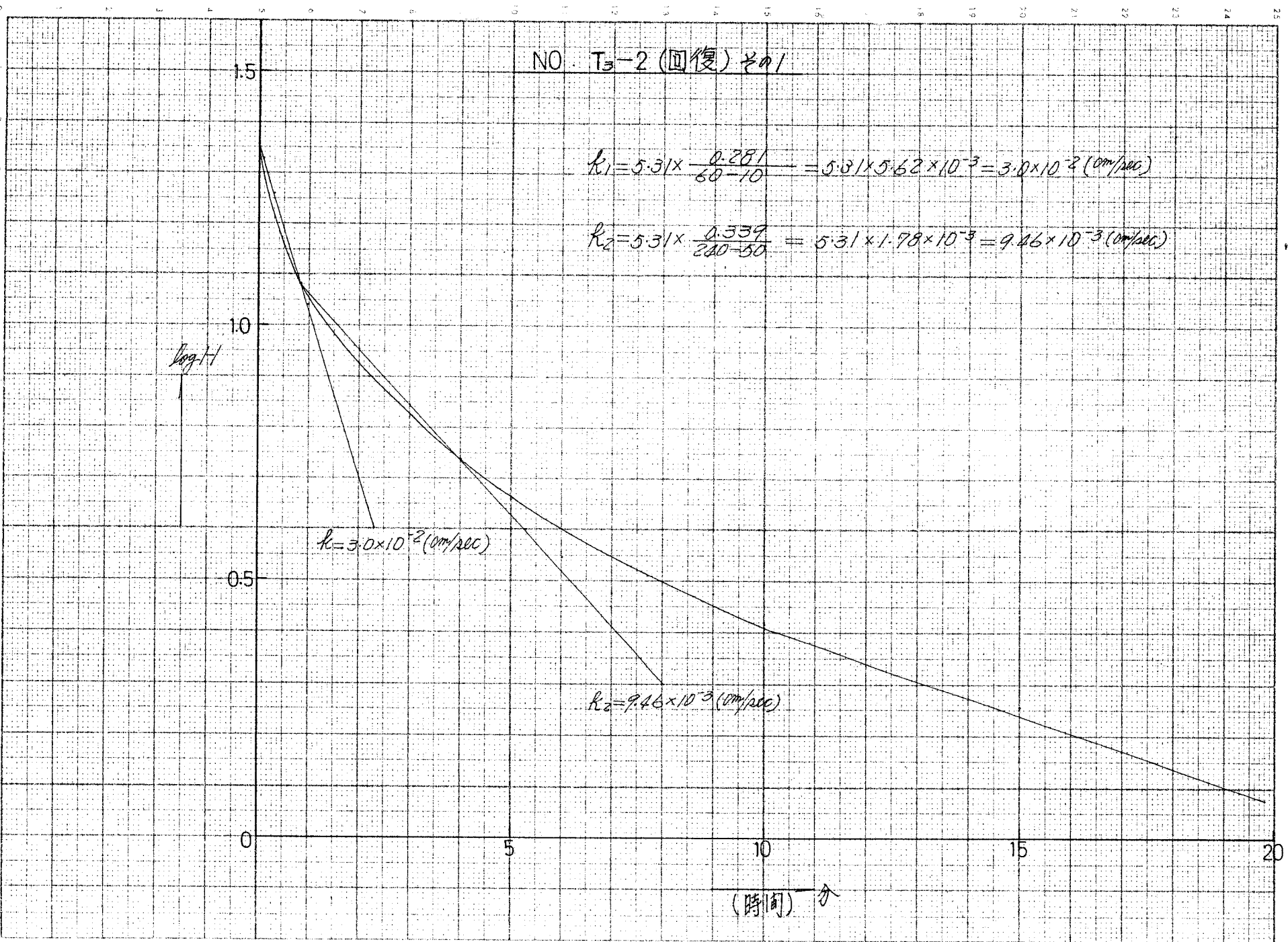
$z_0$  : 初時の平衡水位 ( $m$ )

左辺の  $(m)$  と右辺の  $(m)$  で消える

井戸係数 R

$\frac{D}{2r}$	2.5	5.1	7.6	10.2	12.7	15.2	20.3
1						39.6	53.1
2					33.2	39.4	52.1
3				26.2	33.0	39.2	51.8
4			19.6	26.2	32.8	38.9	51.6
5			19.6	25.9	32.6	38.6	51.3
6		13.0	19.3	25.9	32.2	38.6	51.3
7		13.0	19.3	25.6	32.7	38.4	51.0
8		13.0	19.1	25.6	32.2	37.9	
10		12.7	19.1	25.2	31.8		
12	6.4	12.7	18.8	24.9	31.5		
15	6.1	12.5	18.3	24.6	30.0		
25	5.8	11.7	17.3	23.4	28.5		
40	5.3	10.2	15.9	21.4	26.0		
60	4.8	9.5	14.4	19.3	23.6		
100	3.8	7.5	11.4	15.3	18.7		

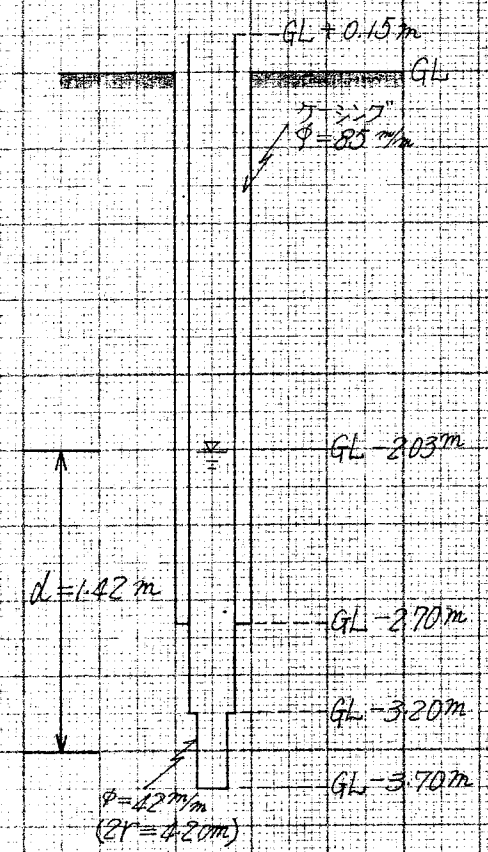
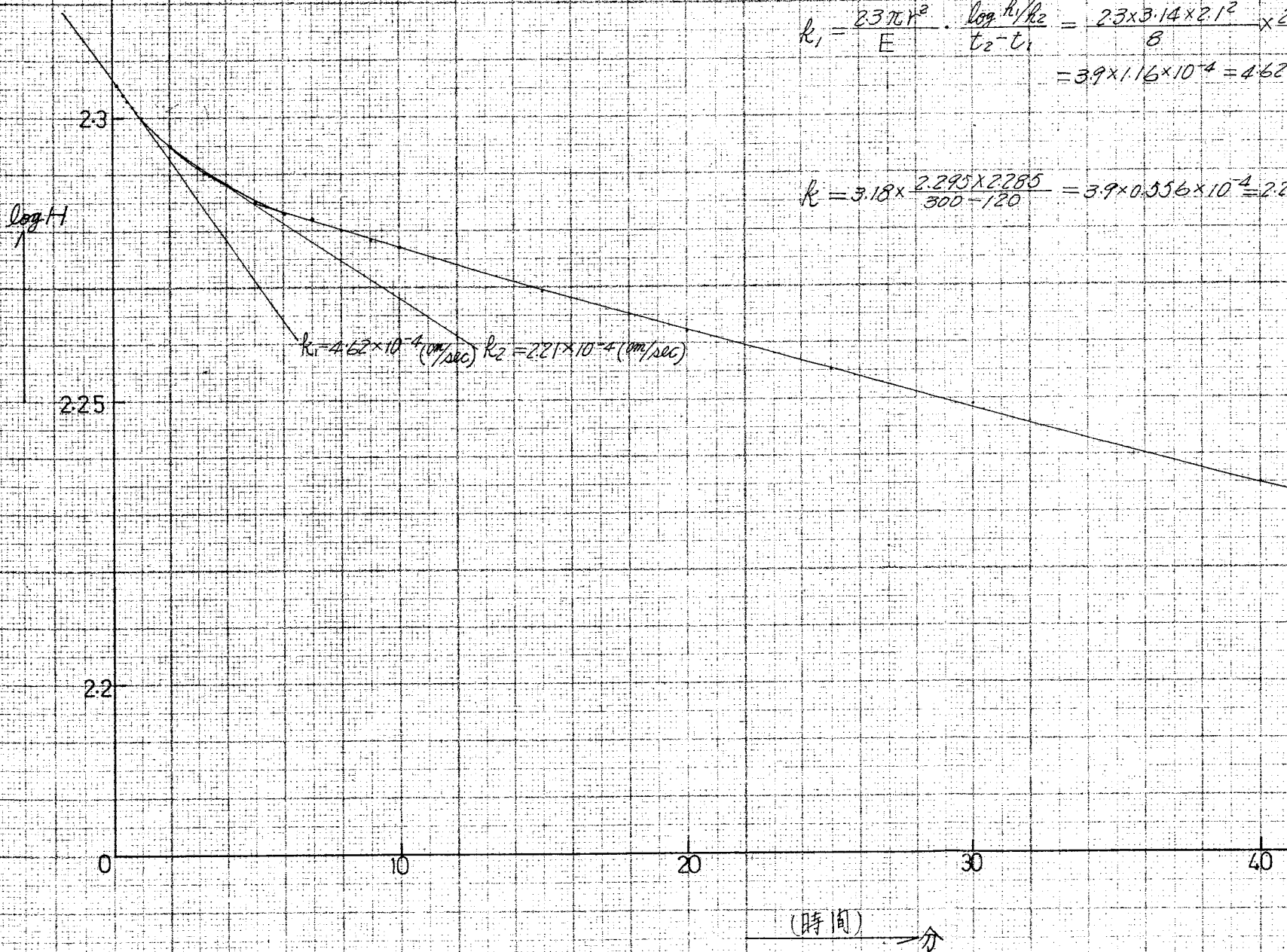




NO. T<sub>3</sub>-1 (注入)

$$k_1 = \frac{23\pi R^2}{E} \cdot \frac{\log R_1/R_2}{t_2 - t_1} = \frac{23 \times 3.14 \times 2.1^2}{8} \times \frac{2.307 \times 2.300}{60} \\ = 3.9 \times 1.16 \times 10^{-4} = 4.62 \times 10^{-4} (\text{cm/sec})$$

$$k = \frac{3.18 \times 2.295 \times 2.295}{300 - 120} = 3.9 \times 0.556 \times 10^{-4} = 2.21 \times 10^{-4} (\text{cm/sec})$$



NO. T<sub>3</sub>-2 (注入)

245

log H

240

$$k_1 = 1.15 \times 10^{-3} (\text{cm/sec})$$

235

$$k_2 = 4.12 \times 10^{-4} (\text{cm/sec})$$

$$k_1 = \frac{2.3\pi r^2}{E} \cdot \frac{\log h_1/h_2}{t_2 - t_1} = \frac{2.3 \times 3.14 \times 2.1^2}{6.0} \times \frac{0.013}{70-10} \\ = 5.31 \times 2.17 \times 10^{-4} = 1.15 \times 10^{-3} (\text{cm/sec})$$

$$k_2 = 5.31 \times 7.8 \times 10^{-5} = 4.12 \times 10^{-4} (\text{cm/sec})$$

(時間) 分

1 2

3

$\phi = 7^\circ$   
 $GL + 0.5m$   
 $GL$

$\phi = 35^\circ$   
 $GL + 0.5m$   
 $GL$

$GL - 2.82m$

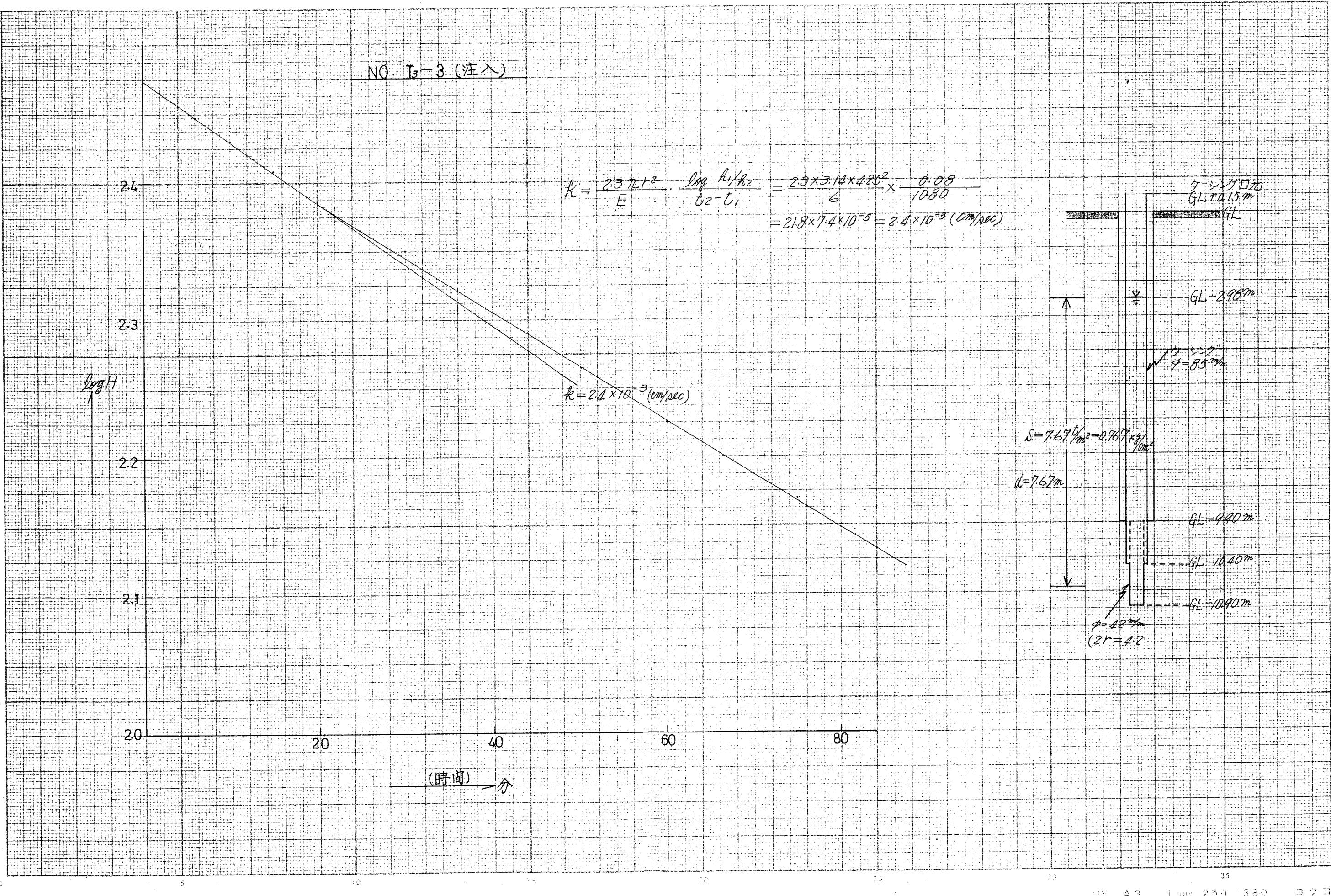
$d = 4.68m$

$GL - 6.75m$

$GL - 7.25m$

$GL - 7.75m$

$\phi = 42^\circ$   
 $(2d = 4.28m)$



NO. T<sub>3</sub>-3 (回復)

$$k_1 = \frac{2.3\pi r^2}{E} \cdot \frac{\log R/k_2}{t_2 - t_1} = \frac{2.3 \times 3.14 \times 4.25^2}{6} \times \frac{1.074}{2100} \\ = 21.8 \times 512 \times 10^{-4} = 1.11 \times 10^{-2} (\text{cm/sec})$$

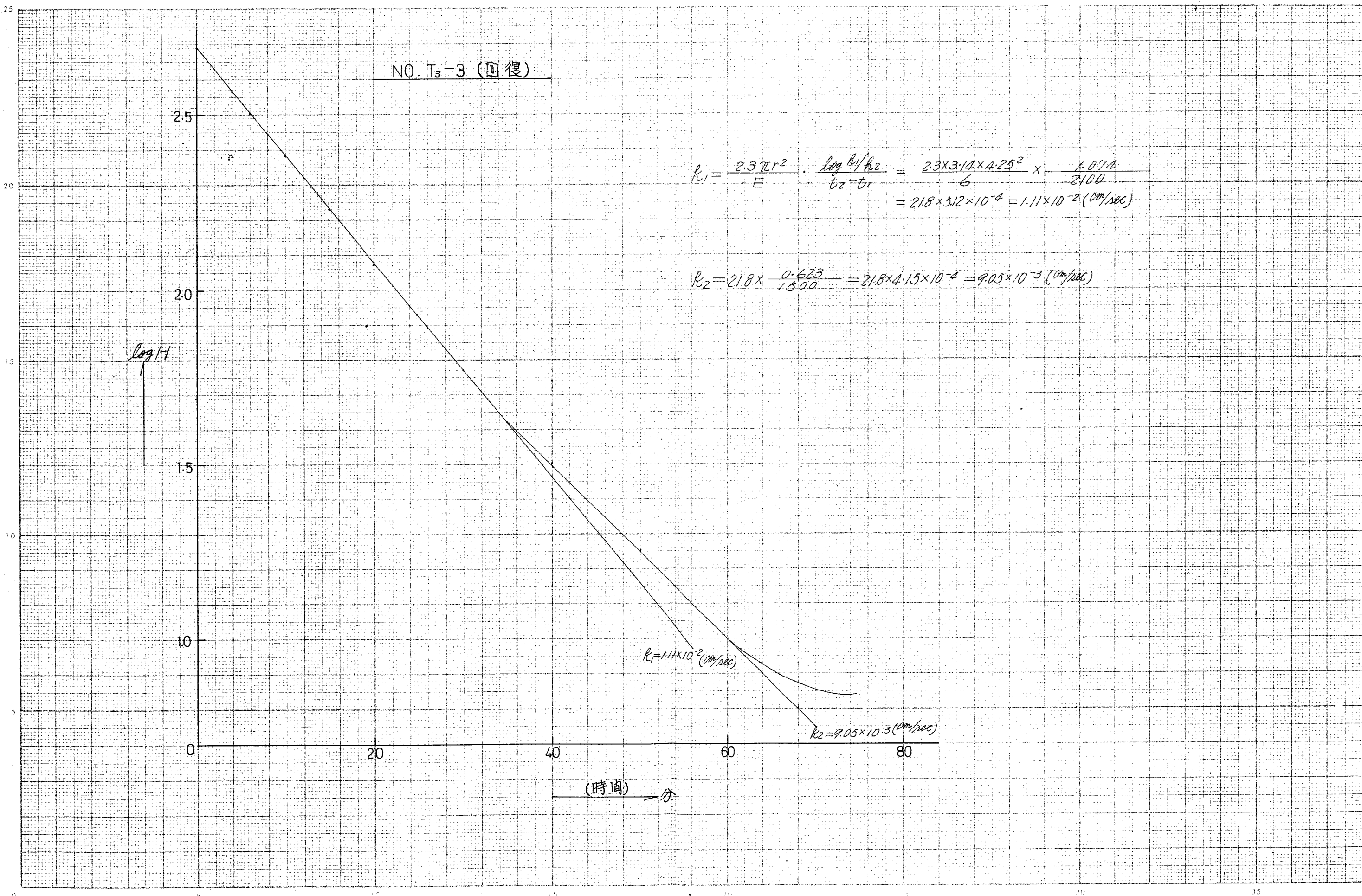
$$k_2 = 21.8 \times \frac{0.623}{1500} = 21.8 \times 4.15 \times 10^{-4} = 9.05 \times 10^{-3} (\text{cm/sec})$$

log H

$k_1 = 1.11 \times 10^{-2}$  (cm/sec)

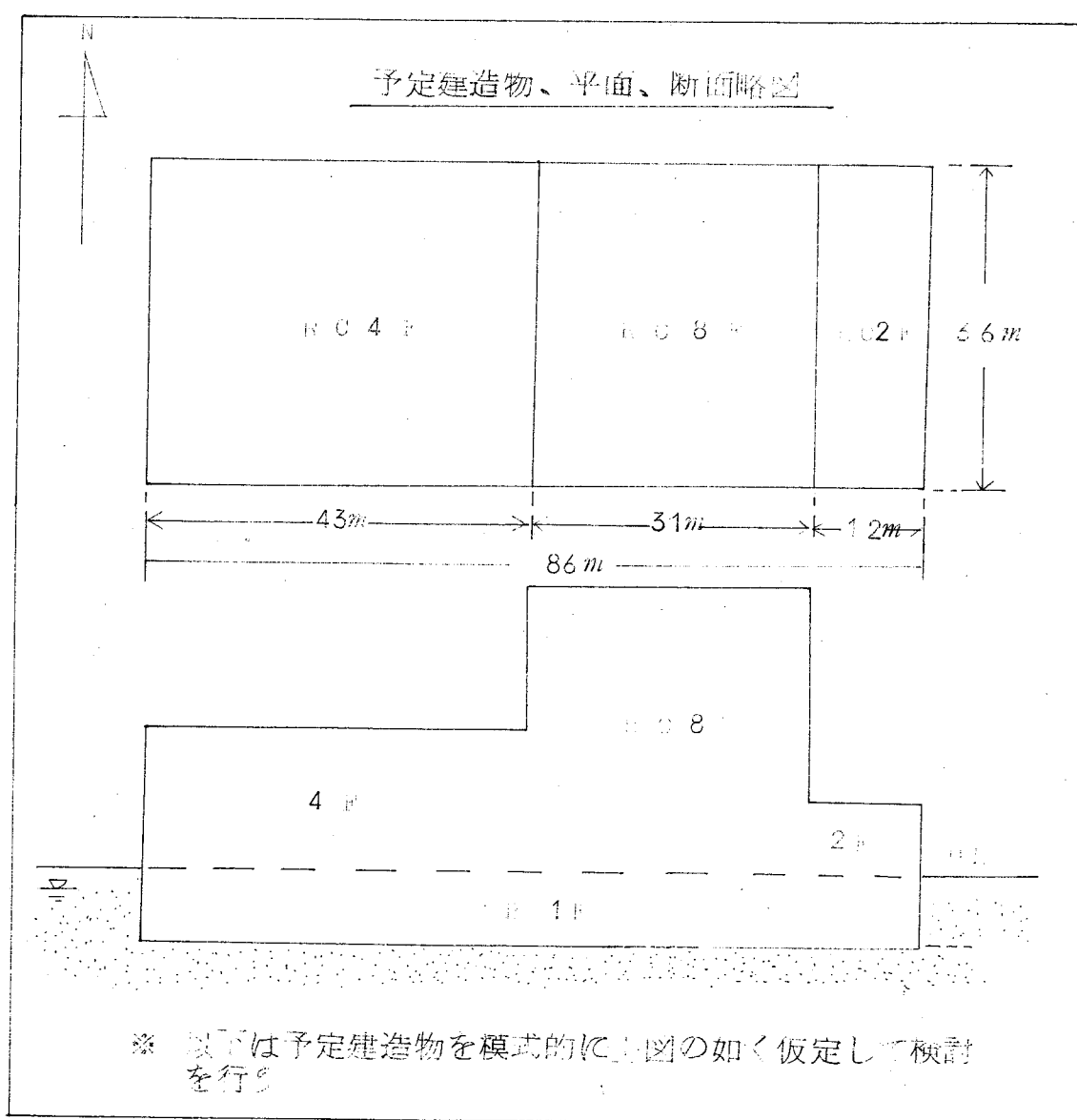
$k_2 = 9.05 \times 10^{-3}$  (cm/sec)

(時間) 一分



## II 基礎に関する考察

調査敷地にはRC造り地上5～8階、地下1階程度の桑名市庁舎の新築が予定されている（次図参照）。以下は今回実施した標準貫入試験試錐、土質試験、プレシオメーター試験、現場透水試験に基づき、予定建造物の基礎工に関して若干の考察を添える。



## II - 1 支持層及びその地耐力

調査敷地の地盤構成については地質柱状図、地質断面図に示した様に最上部の軟弱冲積層を除けば 01-2.70m ~ 3.05m 以深に分布するいずれも  $\pi$  値 = 20 ~ 50 と綿りの良い洪積砂層及び砂礫層となつており、薄層として不規則に挿在される洪積砂質土及び粘性土についても標準貫入試験  $\pi$  値、プレシオメーター試験の  $P_s$ 、 $P_c$  値より見て圧縮性は少なく（過圧密粘性土）、強度的にも建築物の荷重に対して十分と考えられ、前記砂、砂礫層はこれらも支持地盤として安定したものと云える。

従つてこの場合、地下部分の伐切り底面（01-6m 附近）は  $\pi$  値 = 20 ~ 30 の粗粒砂層となつており、石層に直接支持させる事が可能と考えられる。今参考までに①建築基礎構造設計基準式②プレシオメーター試験結果より、ルイ・メナール式により支持層の長期許容支持力度（地耐力）を算定する。

### 1. 直接基礎の静力学的長期許容支持力（地耐力）

① 地盤の破壊に対する支持力  $q_a = 112 \text{ t}/\text{m}^2$

② 許容沈下量  $1 = 5.0 \text{ cm}$   $q_{ad} = 20 \text{ t}/\text{m}^2$

### 2. プレシオメーター試験に基づく長期許容支持力（地耐力）

①  $q_{ad} = 20 \text{ t}/\text{m}^2$

②  $q_{ad} = 20 \text{ t}/\text{m}^2$

## ① 設計規準式による地耐力の計算

### ①-イ) 地盤の破壊に対する静力学的支持力計算

$$q_a = \frac{1}{3} (\alpha \cdot c + \beta \cdot r_1 + B \cdot N_r + r_2 \cdot D_f \cdot N_q) \dots \text{建築基礎構造設計規準公式}$$

ここに  $q_a$ : 地盤の長期許容支持力度 ( $t/m^2$ )

$c$ : 地盤の粘着力 (基礎底面下) ( $t/m^2$ )

$r_1$ : 基礎底面下の地盤の単体 ( $t/m^2$ )

$r_2$ : " 上 " ( $t/m^2$ )

$\alpha, \beta$ : 基礎の形状係数 (表1)

$N_r, N_q$ : 支持力係数

$D_f$ : 基礎の有効根入れ長 ( $m$ )

$B$ : 基礎の最小巾 ( $m$ )

<表1 形状係数>

形 状	連 続	正 方 形	長 方 形	円 形	
$\alpha$	1.0	1.3	$1 + 0.3 \frac{B}{L}$	1.3	$B$ : 基礎の短辺
$\beta$	0.5	0.4	$0.5 - 0.1 \frac{B}{L}$	0.3	$L$ : 基礎の長辺

### 仮定条件

基礎底盤位置を  $0.1-6.00m$  とするラフト基礎

基礎の形状係数  $\alpha=1.12, \beta=0.49$

基礎の有効根入深さ  $D_f = 0 \text{ m}$  (無視する)

基礎巾  $B \times L = 3.6 \text{ m} \times 8.6 \text{ m}$

## 2. 地盤の性質

地盤の単体  $r_1 = r_2 = 0.8 \text{ t/m}^3$  (いずれも水中單体をとる)

粘着力  $c = 0 \text{ t/m}^2$

内部摩擦角  $\phi = 35^\circ$

$$(\phi = \sqrt{20 \times N + 15} \dots \text{ 大崎式})$$

設計用  $N$  値 = 20

支持力係数  $\left\{ \begin{array}{l} N_c = 5.5 \\ N_r = 2.4 \\ N_q = 2.7 \end{array} \right.$

## 3. 支持力計算

$$\begin{aligned} q_a &= \frac{1}{3} (\beta \cdot r_1 + B \cdot N_r) \\ &= \frac{1}{3} (0.49 \times 0.8 \times 3.6 \times 2.4) \\ &= 11.2 \text{ t/m}^2 \end{aligned}$$

### ① 地盤の許容沈下に対する地盤の支持力計算

$$D_w < B$$

$$q_{as} = c (1.36 + 3) \left( \frac{B + 0.3}{2B} \right)^2 (0.5 + \frac{D_w}{2B}) + r_2 D_f \dots \text{ 公式}$$

但し

$q_a$  : 許容沈下量 = 5 cm

$q_s$  : 許容沈下量に対応する基礎底面平均荷重 (t/m<sup>2</sup>)

$r_2$  : 基礎底面より上方の地盤の平均単位体積重量 = 0.8 t/m<sup>3</sup>

(地下水位下にある部分については水中単体)

B : 基礎底面の最小巾 = 3.6 m

(円形の場合は直径)

D\_f : 基礎に近接した最低地盤面までの深さ = 6 m

D\_w : 基礎底面から設計用最高地下水位までの深さ = 0 m

(地下水位が基礎底面より上有る時は  $D_w=0$ )

$\gamma$  : 設計用単位重力 = 2.0

$$\begin{aligned} q_a &= 5.0 (1.36 \times 2.0 - 3) \left(\frac{5.63}{7.2}\right)^2 \times 0.5 + 0.8 \times 6 \\ &= (5.0 \times 2.42 \times 0.254 \times 0.5) + 4.8 \\ &= 2.0 \text{ t/m}^2 \end{aligned}$$

又  $a=7.5 \text{ cm}$  とすれば同様にして  $q_a = 2.7 \text{ t/m}^2$

従つて  $a=5.0 \text{ cm}$  とした場合長期許容地耐力 ( $q$ ) としては  $q_a = 11.2 \text{ t/m}^2 > q = q_s = 2.0 \text{ t/m}^2$  より  $q = 2.0 \text{ t/m}^2$  が期待できよう。

$a=7.5 \text{ cm}$  とした場合には  $q_a = 11.2 \text{ t/m}^2 > q_s = 2.7 \text{ t/m}^2$  より  $q = q_s = 2.7 \text{ t/m}^2$  となる。

## ② プレシオメータ調節結果に基づく長期許容支持力 ( $q_{av}$ ) 計算

- 基礎の極限支持力及び長期許容支持力は次式 (ルイ・メナール式) で示される

$$q_f = K (F_L - F_O) \quad q_{av} = \frac{1}{3} q$$

$$q_s = K (P_d + P_c) \quad q_{a_s} = \frac{1}{2} q_s$$

ここに  $q_s$ : プレシオメーター測定値の解析により得られた極限

圧力  $P$  により算定される極限支持力 (%)

$q_u$ : 降伏圧力  $P_u$  により算定される極限支持力 (%)

$K$ : メナールが実験的に求めた支持力比

$q_{a_u}$ ,  $q_{a_s}$ :  $q_s$ ,  $q_u$  により求めた長期許容支持力 (%)

#### • メナールの限界深度

基礎が深くなると、地表面に膨上りや、亀裂を発生するに  
より破壊を起さなくなる。この深さの限界を限界深度 ( $b_s$ ) と  
呼び、土の内部摩擦角  $\phi$  に関して次式を与えている。

$$b_s = R \left( 4 + \frac{\phi}{4} \right) \cdots \cdots \text{独立基礎}$$

$$b_s = R \left( 6 + \frac{\phi}{4} \right) \cdots \cdots \text{連続基礎}$$

ここに  $R$ : 基礎の半径又は短辺の  $1/2$

#### • 支持力比 ( $K$ ) $\cdots \cdots \cdots$ 次表による

土 質	深い杭基礎		直 接 基 础	
	打込杭	造成杭	深 い 基 础	浅 い 基 础
粘性土	$K=3.6$	$K=3.2$	$K=1.4 \left( 1 + \frac{0.4}{1.4} \frac{2R}{L} \right)$	$K=1.0 \left( 1 + 0.4 \frac{2R}{L} \right)$
緩い砂	$K=3.2$	$K=3.2$	$K=2.1 \left( 1 + \frac{1.1}{2.1} \frac{2R}{L} \right)$	$K=1.1 \left( 1 + 0.4 \frac{2R}{L} \right)$
締つた砂	$K=5.9$	$K=5.2$	$K=2.9 \left( 1 + \frac{2.3}{2.9} \frac{2R}{L} \right)$	$K=1.2 \left( 1 + \frac{0.8}{1.2} \frac{2R}{L} \right)$

今参考までに No.5 地点の基礎底面深度 (GL-6.0m 附近) の地耐力をプレシオメータ試験 (P-1) 結果より算定する。

### ① 限界深度 (h)

- 設計目地  $N=20$  大崎式  $\phi=\sqrt{20 \cdot n} + 15$  式より

$$\phi = 35^\circ$$

- 基礎巾  $B \times L = 3.6m \times 8.6m$  より  $n = \frac{B}{2} = 1.8m$

$$\therefore P_c = R \left( 6 + \frac{\phi}{4} \right) = 18 \left( 6 + \frac{3.5}{4} \right) = 266m > 6m$$

従つてこの場合浅い直接基礎となる。

### ② 支持力比 ( $K$ )

$$K = 1.2 \left( 1 + \frac{0.8}{1.2} \times \frac{3.6}{8.6} \right) = 1.53$$

### ③ 地盤の長期許容支持力 (地耐力) (<sub>P-1</sub>のデータによる)

$$q_{a1} = \frac{K}{3} (P_L - P_0) = \frac{1.53}{3} \times 3.92 \times 2.0 \text{ t/m}^2 = 20 \text{ t/m}^2$$

$$q_{a2} = \frac{K}{2} (P_L - P_0) = \frac{1.53}{2} \times 2.68 \times 2.0 \text{ t/m}^2 = 20 \text{ t/m}^2$$

長期許容地耐力 ( $q_a$ ) としては  $q_a = q_{a1} = q_{a2} = 20 \text{ t/m}^2$  が期待出来る。※

※  $P-1$  のデータは「プレシオメータ試験」の項で述べた通りやく過小値を示しており実際にはより大きな地耐力が期待出よう。

## II - 2. 施工上の問題点

- ① 予定される地下部の基礎掘削施工上の問題は予定深度 (GL -6m) まで安全に掘削できるかどうかであるが、地下水状況、地盤構成及びその強度等から見てシートパイルによる止留オーバンカット工法が適当かと考える。
- ② 基礎掘削（土工）対象地盤は表層部に 2 ~ 3 m の軟い冲積粘性土がある他は下位の中位に繋つた洪積砂層であるが全て地下水で飽和されている。
- ③ 上記粘性土は比較的剪断抵抗が大きく設計用粘着力  $c=2.5 \text{ t}/\text{m}^2$  が採用できる（土圧はあまり大きくならない）。但しこの粘性土も降雨時に乱されるとかなり強度低下が著しい（鋭敏比  $f_s = 2.24 \sim 5.45$ ）。
- ④ 切土対象土層で最も問題となるのは GL-3~8m 間に分布する飽和した粗粒砂層であり dry work を行う場合の排水工としては粒度組成、透水係数、間隙水圧等を考慮すれば動力排水も可能と思われるが止留め矢板（シートパイル）の水密性を確実にし、バーピング状態の発生防止には留意を要す。又ウエルポイント（Well Pointing）など強制排水工法の採用も考えられ、この場合には詳細な検討が必要となる。  
尚、水位低下の影響圏は 50 m 以下と思われる。

## 桑名市疗舍新築に伴う

## 地質柱状図 (NO. / )

調査地 桑名市中央2丁目37番地

調査年月日 昭和24年11月4日~25年11月6日

標高 TBM-0.005 M

孔内水位

GL-200 M

技術者 谷口 克

標 尺 高 m	標 深 度 m	層 厚 m	柱 状 図	色 調	地 質	觀 察	相 對 密 度	相 對 稠 度	現 位 置 試 験 深 度 m	標準貫入試験						標 尺 度 m	
										深度 m	N 值 回/cm	10cm毎の 打撃回数 cm/cm	10 20 30	10 20 30	40 50	取 方 不 乱 攪	
1	-1.71	1.10	1.10	暗灰 褐灰	埋工	上部10cmアスファルト 2以後右肩から レング等、埋工			1.15 1.25	3/30	1/11						1
2	-3.06	3.05	1.35	黄褐灰	施工	2.50m以後軟かく 比較的均質な粘土か 砾は細粒		軟	2.15 2.25	4/32	1/12						2
3									3.13 3.25	20/30	5/6.8						3
4									4.12 4.25	21/30	5/7.8						4
5									5.12 5.25	24/50	1/9.8						5
6									6.15 6.25	29/53	8/8.7						6
7									7.15 7.25	16/30	5/5.5						7
8									8.15 8.25	30/30	10/10						8
9									9.15 9.25	16/30	5/5.5						9
10									10.12 10.25	31/53	12/12.2						10
11									11.15 11.25	38/30	11/11.2						11
12									12.15 12.25	52/30	17/15.2						12
13									13.15 13.25	41/30	12/12.15						13
14									14.15 14.25	39/30	12/12.13						14
15									15.15 15.25	34/30	13/13.12						15
16									16.15 16.25	30/30	12/12.11						16
17									17.15 17.25	50/25	16/22.15						17
18									18.15 18.25	23/30	6/9.8						18
19									19.15 19.25	43/30	12/14.11						19
20									20.15 20.25	27/30	5/9.13						20

## 新宿市行幸新築工事

## 地質柱状図 (NO. 2)

調査地 新宿市中央2丁目37番地  
標高 17.00 M 孔内水位

調査年月日 昭和12年11月5日~11月12日

M 技術者 地主造治郎

標 尺 m	標 高 m	深 度 m	層 厚 m	柱 状 圖	調 名	地 質	觀 察	相 對 密 度	相 對 稠 度	現 位置 試 驗 深 度 m	標準貫入試験					試 料		標 尺 m		
											深 度 m	N 值 回/cm	10cm毎の 打擊回数			N 值		採 方 不 攪 乱	取 法 攪 乱	
													10 cm	20 cm	30 cm	0	10	20		
1	-0.9	0.10	0.20		暗成層	理工	三合混じ砂土				1.15 1.27	21 32	19/13							0.10
2	-2.2	2.35	1.55		暗成層	三合土 粘土	小量の漂砂混入 腐植物を含む。	軟			2.15 2.25	21 30	15/15							TW 1.50
3	-3.2	2.20	0.05		暗成層	三合土	漂砂混入				3.15 3.45	21 30	16/16							3
4	-3.2	3.20	0.80		暗成層	粗中砂	漂砂混入 漂砂を多く含む。	硬			4.15 4.25	21 30	6/7/9							4
5											5.15 5.25	21 30	6/9/9							5
6											6.15 6.25	18/1 30	6/5/7							6
7											7.15 7.25	25/1 30	8/9/8							7
8											8.15 8.25	21 30	8/8/8							8
9											9.15 9.25	21 30	7/8/7							9
10											10.15 10.25	22/1 30	7/8/7							10
11											11.15 11.25	57/1 30	14/20/23							11
12	-7.2	11.80	8.10		暗成層						12.15 12.25	8/1 30	3/3/2							12
13					暗成層	三合土	漂砂混入	硬			13.15 13.25	17/1 30	4/6/7							13
14					暗成層	粗砂	漂砂混入	中位			14.15 14.25	17/1 30	6/5/6							14
15	-5.2	15.70	3.90		暗成層	三合土	腐植物帶を含む。	硬			15.15 15.25	25/1 30	11/16/18							15
16					暗成層	粗砂	漂砂混入	中位			16.15 16.25	31/1 30	11/10/10							16
17	-17.2	17.50	1.80		暗成層	三合土	漂砂混入	中位			17.15 17.25	21/1 30	9/8/7							17
18					暗成層	砂粗砂	上部は砂質三合土 (全体に微細砂を含む) 下部は中粗砂	硬			18.15 18.25	9/1 30	2/3/4							18
19	-19.2	18.70	2.20		暗成層	砂粗砂	漂砂混入	中位			19.15 19.25	6/1 30	1/2/2							19
20					暗成層	砂粗砂	漂砂混入	中位			20.15 20.25	17/1 30	6/5/6							20
21					暗成層	砂粗砂	漂砂混入	中位			21.15 21.25	19/1 30	0/0/2							21
22	-22.8	22.50	2.10		暗成層	砂粗砂	漂砂混入	中位			22.15 22.25	20/1 30	4/6/10							22
23					暗成層	砂粗砂	漂砂混入	中位			23.15 23.25	57/1 30	5/20/22							23
24					暗成層	砂粗砂	漂砂混入	中位			24.15 24.25	21/1 30	7/6/8							24
25	-25.2	25.50	2.90		暗成層	砂粗砂	漂砂混入	中位			25.15 25.25	17/1 30	6/7/4							25
26	-26.3	26.10	0.50		暗成層	砂粗砂	漂砂混入	中位			26.05 26.25	50/1 22/21	2/2/2							26
27	-27.7	27.50	1.20		暗成層	砂粗砂	漂砂混入	中位			27.05 27.25	50/1 20/21	1/3							27
28	-27.9	27.70	1.20		暗成層	砂粗砂	漂砂混入	中位			27.30 27.50	50/1 20/22	1/3							28
29					暗成層	砂粗砂	漂砂混入	中位			28.05 28.25	50/1 22/21	2/2/2							29
30	-30.7	30.50	2.75		暗成層	砂粗砂	漂砂混入	中位			29.05 29.25	50/1 22/21	2/2/2							30
31	-31.8	31.60	1.10		暗成層	三合土 粘土	漂砂混入 腐植物を含む。	硬			31.15 31.25	9/1 30	2/3/2							31
32					暗成層						32.05 32.15	50/1 20/21								32
33					暗成層						33.05 33.15	50/1 20/21								33
34					暗成層						34.05 34.15	50/1 20/21								34
35					暗成層						35.05 35.15	50/1 20/21								35
36					暗成層						36.05 36.15	50/1 20/21								36
37					暗成層						37.05 37.15	50/1 20/21								37
38					暗成層						38.05 38.15	50/1 20/21								38
39					暗成層						39.05 39.15	56/1 30								39
40	-40.0	40.00	8.48		暗成層						40.00 40.08	50/8								40

## 桑名市庁舎新築に伴う

# 地質柱状図 (NO. 3)

調査地 桑名市中央2丁目37番地

調査年月日 昭和44年11月17日～昭和44年11月21日

標 高 TBM-0.270 M

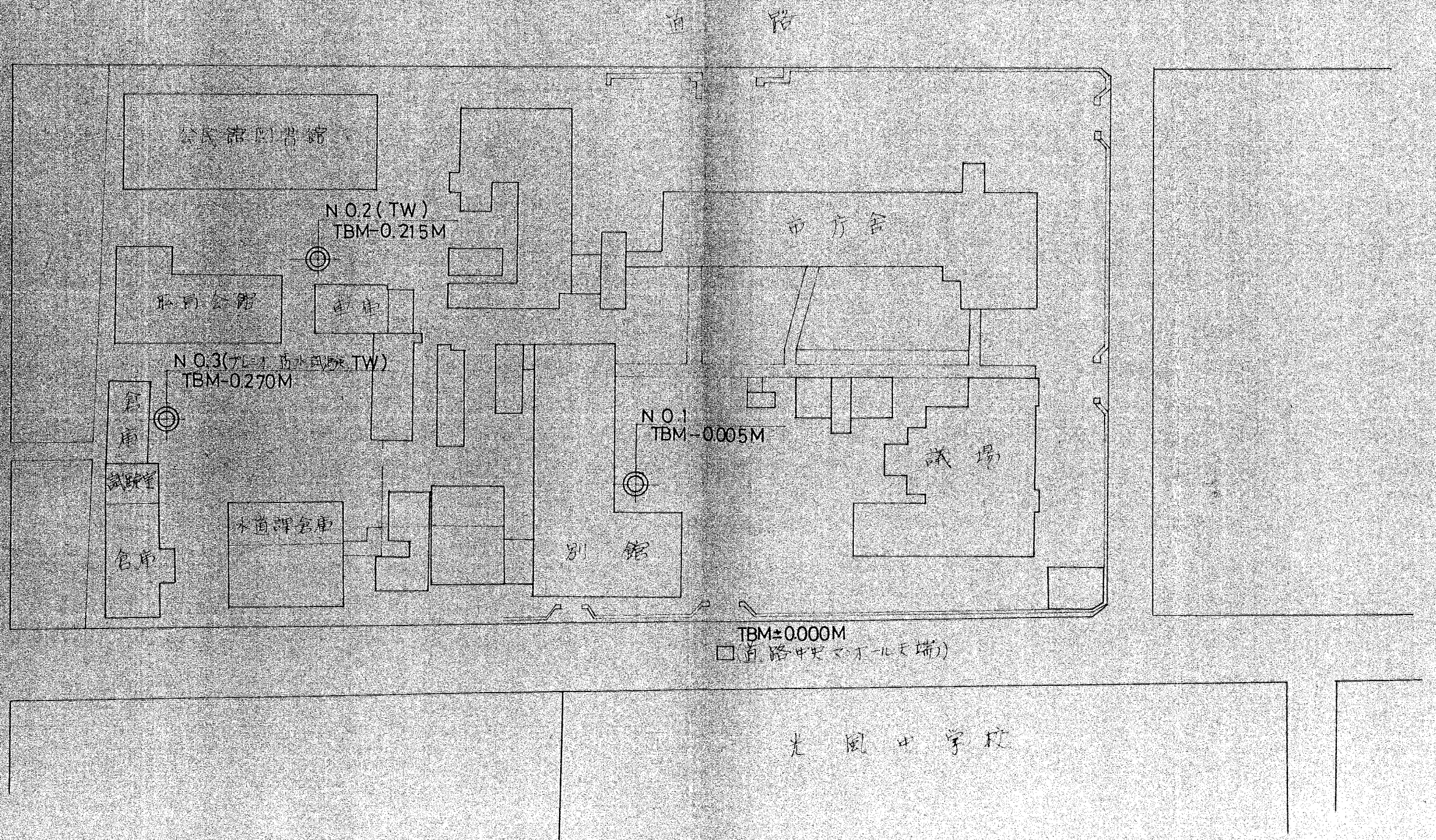
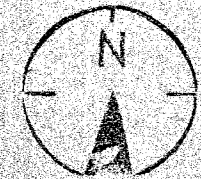
#### 孔内水位

GL-260

M

古口日者術甚技

調査地點平面図 縮尺1:600



# 土質試験成績表

調査名 桑名市庁舎新築

試験番号 No.		2-1	3-1		
試験名		T.W	T.W		
採取方法					
採取深度 (m)		0.70 ~ 1.50	1.90 ~ 2.70		
見掛け分類		(砂質土)	(粘性土)		
単位体積重量 $\gamma_t$ (g/cm³)		1.79	1.99	1.84	
真比重 Gs		2.567	2.635	2.637	
含水比 w (%)		39.38	29.86	38.06	
間隙比 e		0.99	0.63	0.97	
飽和度 S (%)		102.1	99.8	103.5	
粒度試験	礫 (%)	0	2	0	
	砂 (%)	14	48	7	
	シルト (%)	47	31	46	
	粘土 (%)	39	19	47	
三角座標分類					
粒径 $D_{60}$ (mm)		0.0195	0.12	0.0689	
粒径 $D_{10}$ (mm)					
均等係数					
透水係数 $k$ (cm/sec)					
稠度試験	液性限界 L.L. (%)	48.63	55.45		
	塑性限界 P.L. (%)	22.97	25.16		
	塑性指数 P.I.	25.66	29.79		
直接剪断試験	粘着力 C ( $\text{kg}/\text{cm}^2$ )				
	内部摩擦角 $\phi$ (度)				
三軸圧縮試験	粘着力 C ( $\text{kg}/\text{cm}^2$ )	1.42	0.220		
	内部摩擦角 $\phi$ (度)	34°	33°		
一軸圧縮試験	一軸圧縮強度 $q_u$ ( $\text{kg}/\text{cm}^2$ )	0.537	0.423	0.625	0.501
	練り返した土の一軸圧縮強度 $q_{ur}$ ( $\text{kg}/\text{cm}^2$ )	0.189	測定不能	0.042	
	鋭敏比 St	2.95	2.24	3.45	
圧密試験	圧縮指數 $C_c$	0.284	0.198		
	先行荷重 $P_0$ ( $\text{kg}/\text{cm}^2$ )	1.38	1.15		
	圧密係数 $C_v$ ( $\text{cm}^2/\text{sec}$ )	$45 \times 10^{-3}$	$12 \times 10^{-2}$		
	透水係数 $k$ (cm/sec)	$1.4 \times 10^{-7}$	$2.2 \times 10^{-7}$		
透水試験	透水係数 $k$ (cm/sec)				
備考:					
T.W ... 不擾乱試料					

調査名・調査地点 福岡市庁舎

T.W.

試験年月日 44年11月21日

試験者 工藤

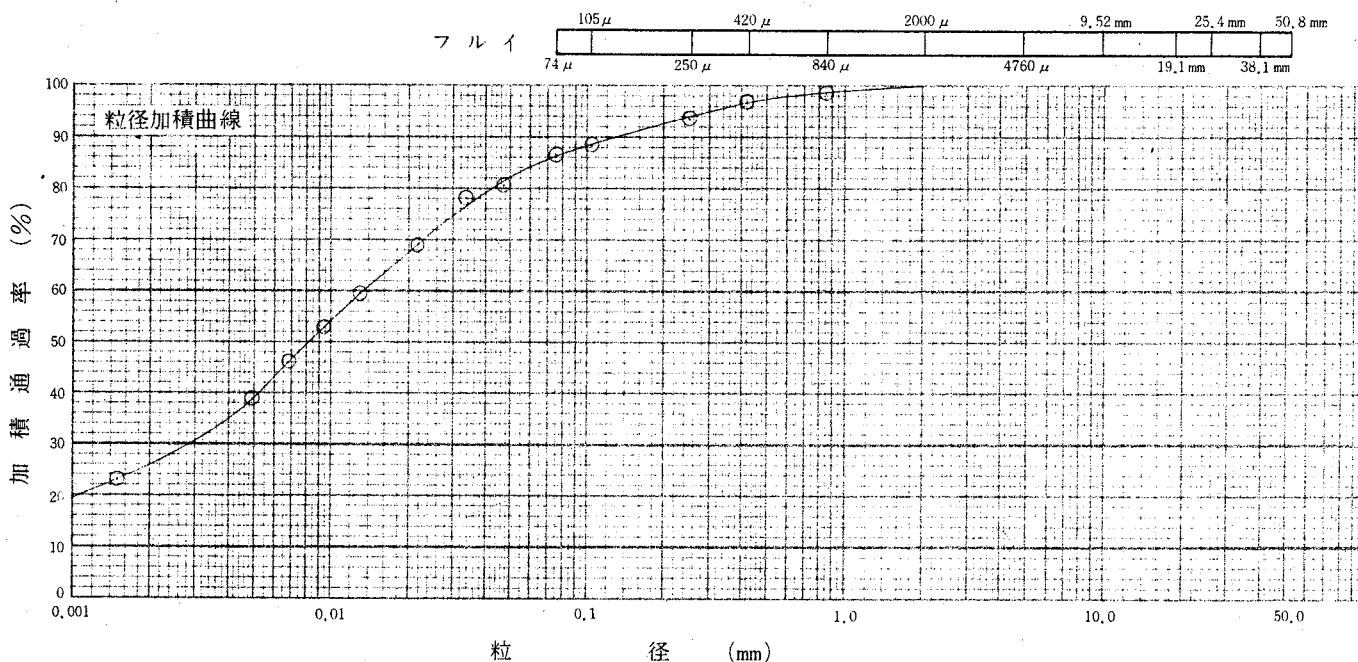
粒径加積曲線を図示するのに用いた粒径とその粒径より小さな土粒子重量の百分率との関係表

試料番号・深さ: No. 2-1 (0.70 m ~ 1.50 m) 比重 2.567

フルイ	粒径 mm	50.8	38.1	25.4	19.1	9.52	4.76	2.00	0.84	0.42	0.25	0.105	0.074
重量百分率%									98.5	96.7	93.7	88.2	86.2
比浮重	粒径 mm	0.1471	0.1576	0.0218	0.1196	0.00940	0.0068	0.0049	0.00148				
重量百分率%	80.4	78.1	69.0	59.7	52.9	46.0	37.2	23.1					

試料番号・深さ: No. ( m ~ m ) 比重

フルイ	粒径 mm	50.8	38.1	25.4	19.1	9.52	4.76	2.00	0.84	0.42	0.25	0.105	0.074
重量百分率%													
比浮重	粒径 mm												
重量百分率%													



コロイド	粘土	シルト	砂	レキ
0.001	0.005	0.074	2.0	

試料番号 深さ	No. 2-1 0.70 m ~ 1.50 m	No. _____ m ~ m	試料番号 深さ	No. 2-1 0.70 m ~ 1.50 m	No. _____ m ~ m
4.76mm以上の粒子	6 %	%	最大粒径	2.0 mm	mm
4.76~2 mmの粒子	0 %	%	60 % 粒径	0.1471 mm	mm
2~0.42 mmの粒子	3 %	%	30 % 粒径	0.1576 mm	mm
0.42~0.074mmの粒子	11 %	%	10 % 粒径	0.0218 mm	mm
0.074~0.005mmのシルト分	47 %	%	均等係数	0.1196	
0.005mm以下の粘土分	32 %	%	曲率係数	0.00940	
0.001mm以下のコロイド分	19 %	%	フルイを通過する		
2000μ フルイ通過重量百分率	100 %	%	試料の分散性		
420μ フルイ通過重量百分率	97 %	%	粗な土粒子の形状		
74μ フルイ通過重量百分率	86 %	%	および堅さ		

調査名・調査地点 桑名市庁舎

T.W.

試験年月日 44年 11月 22日

試験者 工藤

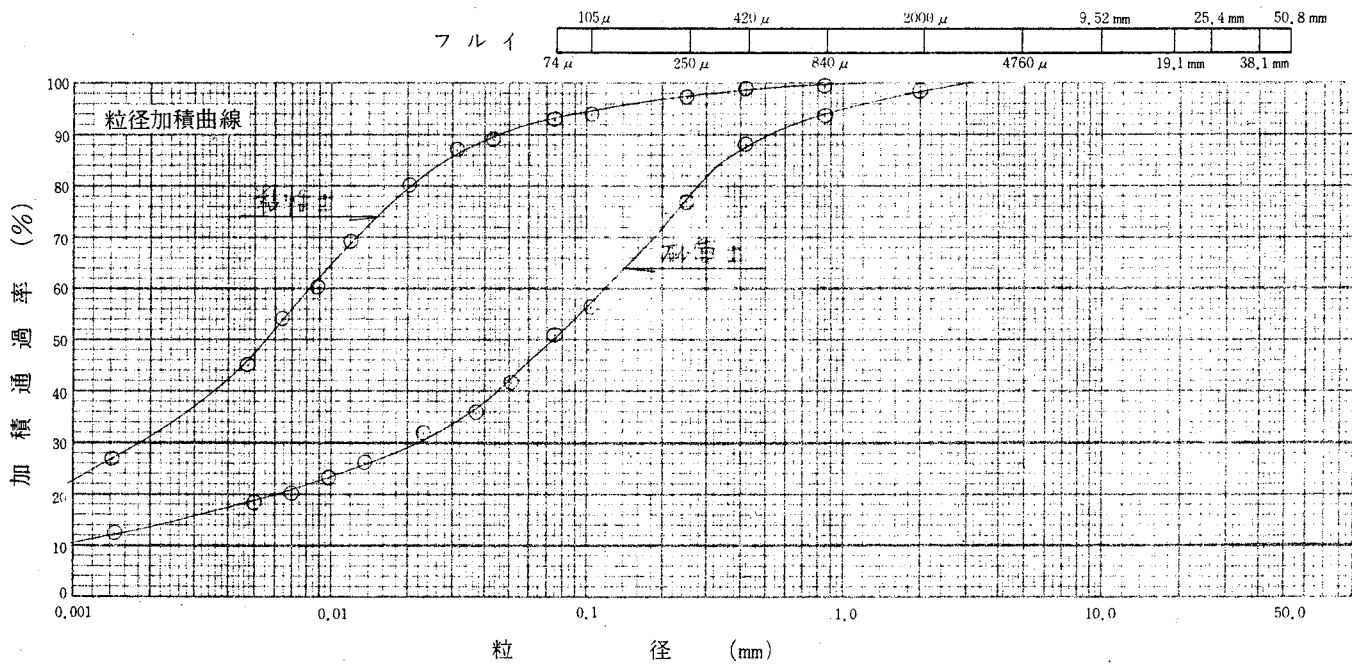
粒径加積曲線を図示するのに用いた粒径とその粒径より小さな土粒子重量の百分率との関係表

試料番号・深さ: No. 3-1 (砂質土) (1.96m ~ 2.70m) 比重 2.695

フルイ	粒径 mm	50.8	38.1	25.4	19.1	9.52	4.76	2.00	0.84	0.42	0.25	0.105	0.074
	重量百分率%								98.2	93.7	88.0	76.8	56.2
比浮重	粒径 mm	0.0566	0.0366	0.0231	0.0198	0.00984	0.00762	0.00500	0.00406				
重り	重量百分率%	41.8	35.8	31.9	26.0	23.0	20.0	18.0	12.1				51.0

試料番号・深さ: No. (粘性土) (1.96m ~ 2.70m) 比重 2.697

フルイ	粒径 mm	50.8	38.1	25.4	19.1	9.52	4.76	2.00	0.84	0.42	0.25	0.105	0.074
	重量百分率%								79.4	78.8	77.1	72.9	69.2
比浮重	粒径 mm	0.0495	0.0368	0.0262	0.0121	0.00539	0.00641	0.00415	0.00442				
重り	重量百分率%	82.0	86.8	80.1	62.1	65.2	55.3	47.6	26.8				



コロイド	粘 土	シ ル ト	砂	レ キ
0.001	0.005	0.074	2.0	

試料番号 深	No. 砂質土 m~ m	No. 粘性土 m~ m	試料番号 深	No. 砂質土 m~ m	No. 粘性土 m~ m
4.76mm以上の粒子	6 %	6 %	最大粒径	4.76 mm	2.5 mm
4.76~2 mmの粒子	2 %	0 %	60 % 粒径	6.12 mm	1.0024 mm
2~0.42 mmの粒子	11 %	1 %	30 % 粒径	6.622 mm	0.6163 mm
0.42~0.074mmの粒子	22 %	1 %	10 % 粒径	— mm	— mm
0.074~0.005mmのシルト分	21 %	46 %	均等係数	—	—
0.005mm以下の粘土分	19 %	47 %	曲率係数	—	—
0.001mm以下のコロイド分	11 %	22 %	フルイを通過する 試料の分散性	—	—
2000μ フルイ通過重量百分率	72 %	164 %	粗な土粒子の形状 および堅さ	—	—
420μ フルイ通過重量百分率	85 %	97 %			
74μ フルイ通過重量百分率	50 %	9.3 %			

調査名・目的 奈良市斎場試験期日 44年11月26日試料番号 No.2-1試験者 工藤

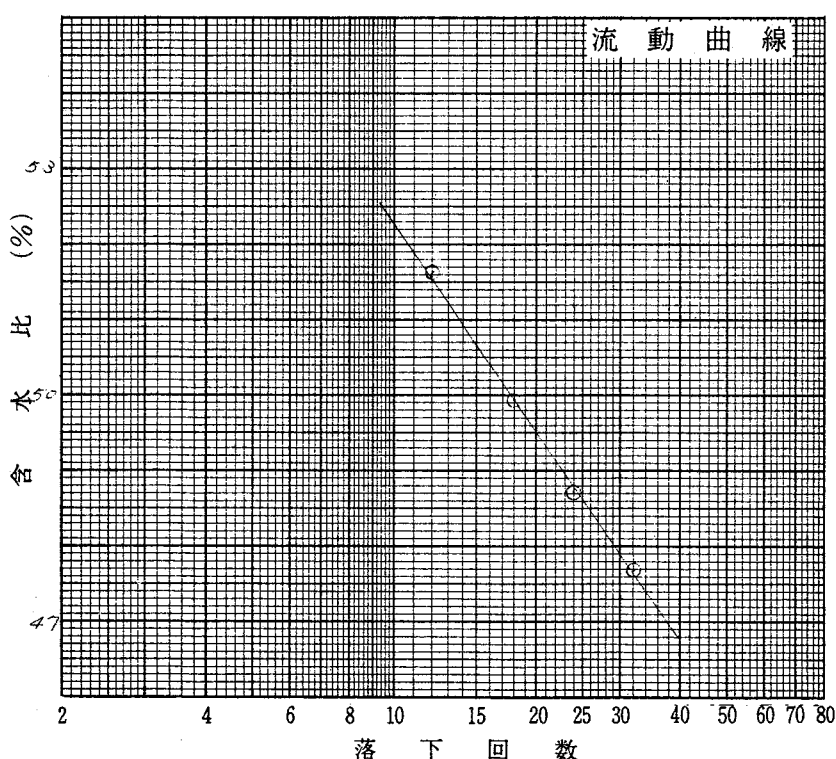
T-W

## 液性限界試験

1	2	3
落下回数	落下回数	落下回数
No. <u>284</u>	No. <u>222</u>	No. <u>276</u>
WW <u>34.91</u>	WW <u>34.92</u>	WW <u>34.26</u>
DW <u>28.90</u>	DW <u>30.99</u>	DW <u>30.44</u>
DW <u>28.90</u>	TW <u>22.74</u>	DW <u>30.44</u>
W <sub>w</sub> <u>34.41</u>	W <sub>w</sub> <u>34.77</u>	TW <u>22.79</u>
W <sub>s</sub> <u>21.45</u>	W <sub>s</sub> <u>21.19</u>	W <sub>w</sub> <u>34.23</u>
w = <u>47.69%</u>	w = <u>42.72%</u>	w <sub>s</sub> <u>21.64%</u>
4	5	6
落下回数	落下回数	落下回数
No. <u>264</u>	No. _____	No. _____
WW <u>34.44</u>	WW _____	WW _____
DW <u>30.60</u>	DW _____	DW _____
DW <u>30.60</u>	TW <u>22.84</u>	TW _____
W <sub>w</sub> <u>34.94</u>	W <sub>w</sub> _____	W <sub>w</sub> _____
W <sub>s</sub> <u>21.64</u>	W <sub>s</sub> _____	W <sub>s</sub> _____
w = <u>41.64%</u>	w = <u>%</u>	w = <u>%</u>

## 塑性限界試験

1	2	3
No.	No.	No.
WW <u>34.60</u>	WW <u>34.64</u>	WW <u>34.24</u>
DW <u>30.04</u>	DW <u>30.10</u>	DW <u>30.70</u>
DW <u>30.04</u>	TW <u>21.24</u>	TW <u>21.74</u>
W <sub>w</sub> <u>34.6</u>	W <sub>w</sub> <u>34.4</u>	W <sub>w</sub> <u>34.24</u>
W <sub>s</sub> <u>21.19</u>	W <sub>s</sub> <u>21.12</u>	W <sub>s</sub> <u>21.74</u>
w = <u>42.82%</u>	w = <u>42.94%</u>	w = <u>43.10%</u>

液性限界  $w_L = 42.65\%$ 塑性限界  $w_P = 22.92\%$ 塑性指数  $I_p = 20.66$ 流动指数  $I_f = \dots$ 

備考:

調査名・目的 群馬市行合

試験期日 44年 11月 26日

T.W

試料番号 NO. 5 - 1

試験者 工藤

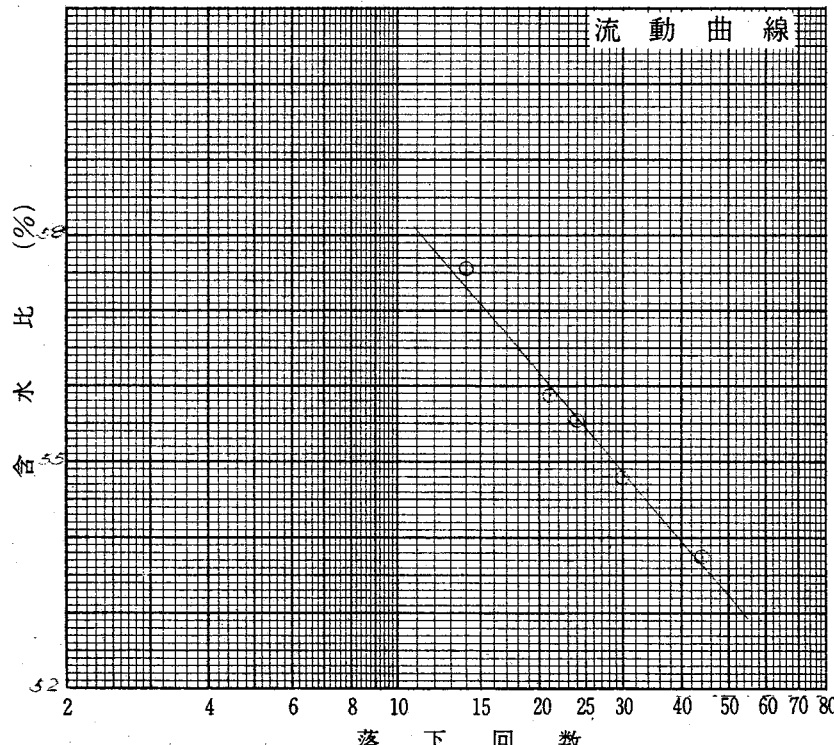
## 液性限界試験

1	2	3
落下回数 44	落下回数 30	落下回数 24
No. 272	No. 224	No. 264
WW 34.54 DW 30.54	WW 34.52 DW 30.16	WW 30.84 DW 29.84
DW 30.44 TW 22.90	DW 30.16 TW 22.77	DW 27.83 TW 22.43
W <sub>w</sub> 4.00 W <sub>s</sub> 7.44	W <sub>w</sub> 4.16 W <sub>s</sub> 7.19	W <sub>w</sub> 4.11 W <sub>s</sub> 7.40
w = 14.26 %	w = 14.21 %	w = 14.41 %
4	5	6
落下回数 21	落下回数 14	落下回数
No. 203	No. 277	No. _____
WW 34.44 DW 30.26	WW 34.72 DW 35.18	WW _____ DW _____
DW 30.26 TW 22.60	DW 30.18 TW 22.28	DW _____ TW _____
W <sub>w</sub> 4.28 W <sub>s</sub> 7.66	W <sub>w</sub> 4.44 W <sub>s</sub> 7.27	W <sub>w</sub> _____ W <sub>s</sub> _____
w = 14.27 %	w = 12.14 %	w = _____ %

## 塑性限界試験

1	2	3
No. 84	No. 119	No. 111
WW 32.44 DW 30.54	WW 30.18 DW 30.46	WW 30.54 DW 30.46
DW 30.24 TW 21.46	DW 30.90 TW 22.58	DW 31.26 TW 21.63
W <sub>w</sub> 2.21 W <sub>s</sub> 4.68	W <sub>w</sub> 2.28 W <sub>s</sub> 3.51	W <sub>w</sub> 2.42 W <sub>s</sub> 3.51
w = 24.46 %	w = 22.22 %	w = 24.44 %

流动曲線

液性限界  $w_L = 53.55\%$ 塑性限界  $w_p = 25.56\%$ 塑性指数  $I_p = 29.71$ 流动指数  $I_f = \text{_____}$ 

備考:

調査名・目的 桑名市庁舎

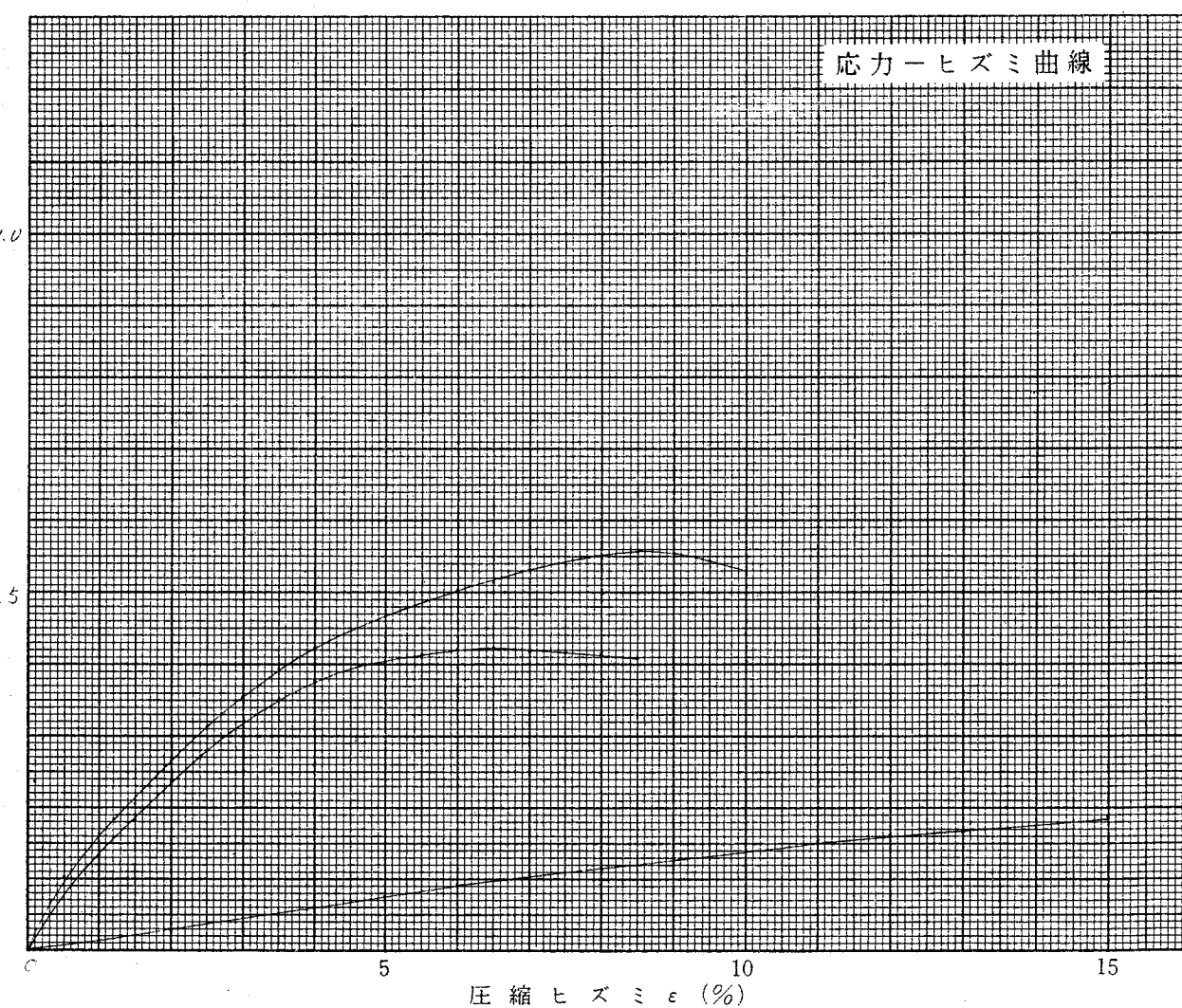
試験期日 44年 11月 21日

ボーリングNo. Z-1

採取深さ 0.70~1.50 m

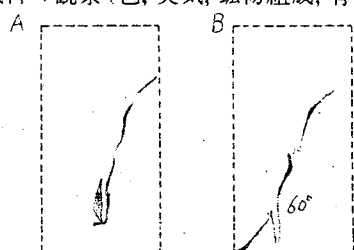
試験者 工藤

供試体番号	試料の状態	供試体寸法 cm		平均含水比 %	単位体積重量 g/cm³	一軸圧縮強さ kg/cm²	破壊時のヒズミ %	銳敏比
		高さ	平均直径					
A	乱さない	8.0	3.5		1.87	0.557	8.5	
	練り返した							
B	乱さない	8.0	3.5		1.79	0.422	6.5	
	練り返した							
	乱さない							
	練り返した	8.0	3.5		1.82	0.187	15.0	

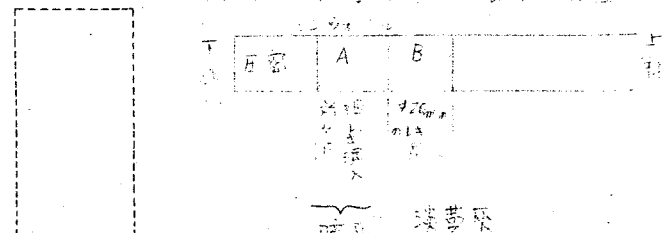


## 備考:

試料の観察(色、臭気、鉱物組成、有機物、貝ガラなど)



一軸圧縮試験を行った試料の位置



調査名・目的 桑名市府舎

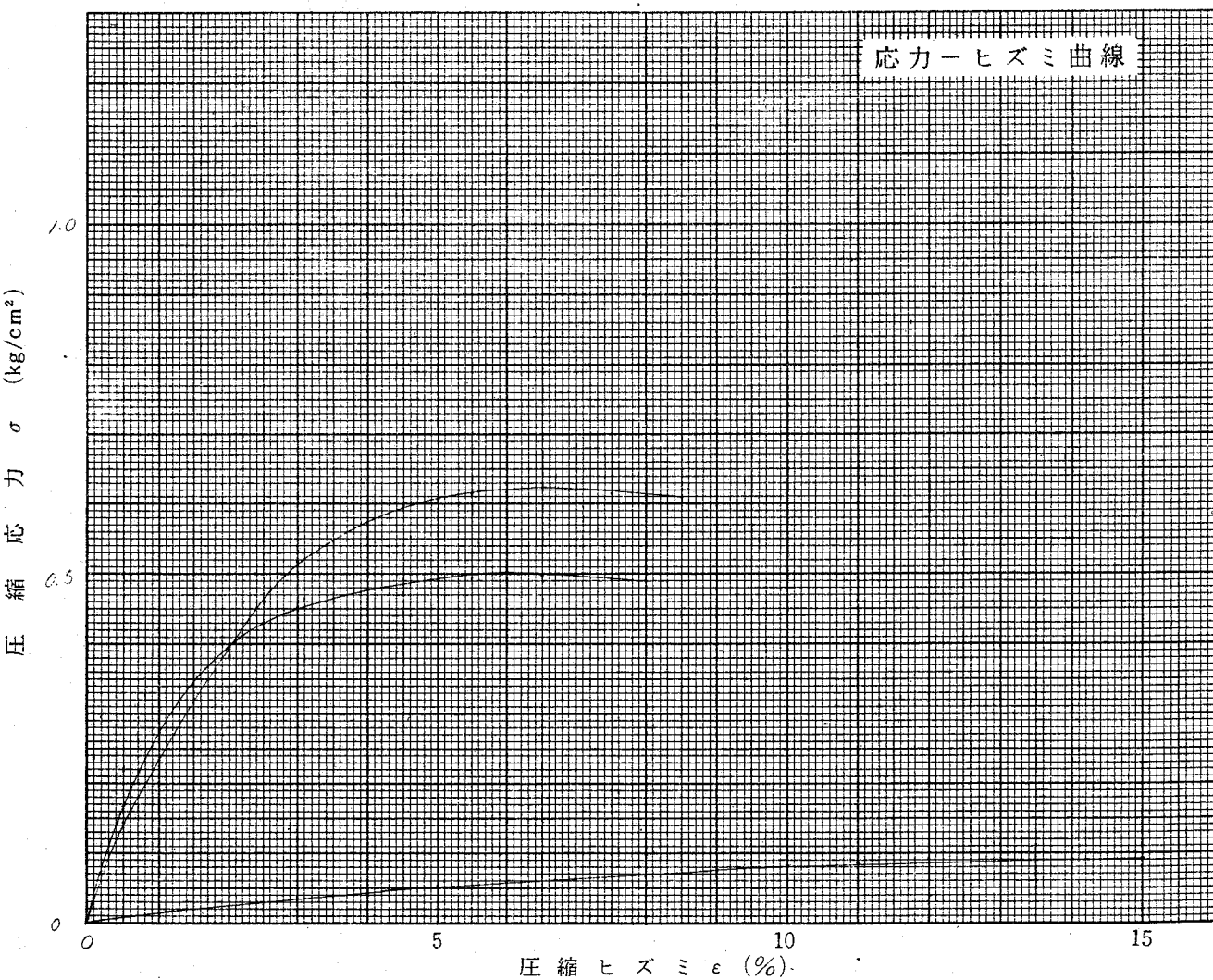
試験期日 44年 11月 22日

ボーリングNo. 3-1

採取深さ 1.90~2.70 m

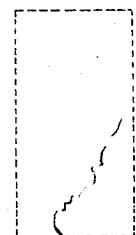
試験者 工藤

供試体番号	試料の状態	供試体寸法 cm		平均含水比 %	単位体積重量 g/cm³	一軸圧縮強さ kg/cm²	破壊時のヒズミ %	鋭敏比
		高さ	平均直径					
A	乱さない	8.0	3.5		1.99	0.623	6.5	
	練り返した					測定不能		
B	乱さない	8.0	3.5		1.86	0.501	6.0	
	練り返した	8.0	3.5		1.83	0.092	15.0	
	乱さない							
	練り返した							



備考: 試料の観察(色、臭気、鉱物組成、有機物、貝殻など)

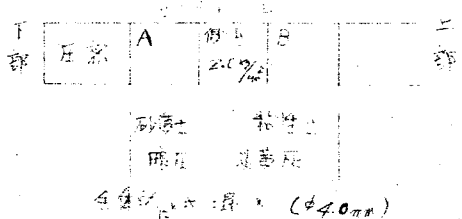
A



B



上部圧縮試験を行った試料の位置



## 三軸圧縮試験結果

報告用紙

調査名・目的 羽衣市庁舎

試験期日 44年 11月 21日

試料番号 NO.2-1

試験者 工藤

採取深度 0.70 ~ 1.50 m

試験方法：(非排水)、圧密非排水、排水

試料：(乱さない) 亂した。

剪断方法：応力制御、ヒズミ制御

先行圧密荷重

土粒子比重 Gs

供試体番号	1	2	3	4	5
供試体高さ (cm)	8.0	8.0	8.0	8.0	
供試体直径 (cm)	3.5	3.5	3.5	3.5	
湿潤密度 $\gamma_t$ ( $\text{g}/\text{cm}^3$ )	1.87	1.79	1.94	1.84	1.93
含水比 $w$ (%)					
乾燥密度 $\gamma_d$ ( $\text{g}/\text{cm}^3$ )					
間隙比 $e$					
飽和度 $S_r$ (%)					
剪断時の測定圧 $\sigma_3$ ( $\text{kg}/\text{cm}^2$ )	0	1.0	2.0	3.0	
剪断時の軸差応力 $\sigma_1 - \sigma_3$ ( $\text{kg}/\text{cm}^2$ )	0.557 0.423	0.660	1.234	1.358	
剪断時の歪 $\epsilon_f$ (%)	8.5 6.5	7.0	10.0	8.5	
剪断時の体積変化 $\Delta V$ (%)					
圧密による体積変化 $\Delta V$ (%)					
剪断速度 (%) / 分	/	/	/	/	

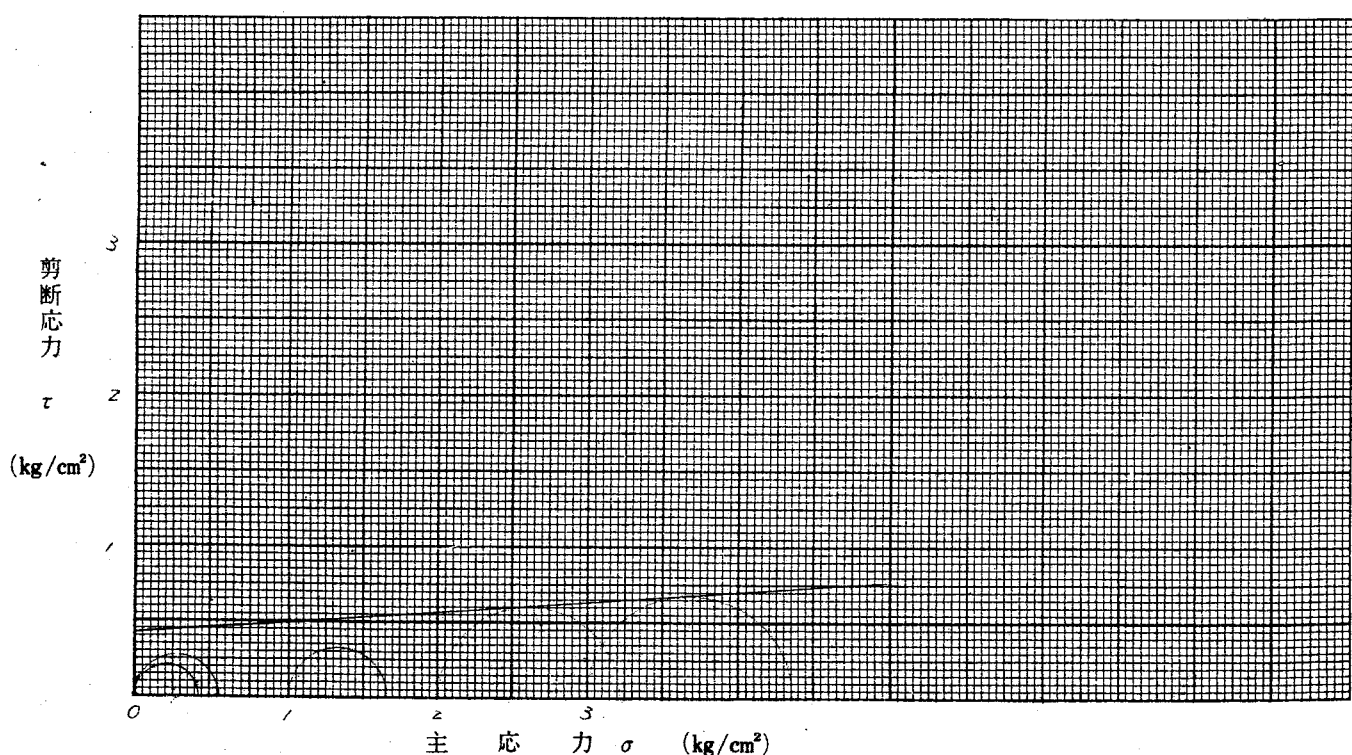
## 試験結果

粘着力 C ( $\text{kg}/\text{cm}^2$ )	0.42
内部摩擦角 $\phi$	20°
摩擦係数 $\tan \phi$	

## 試料の状態： 試験試料作成

干	湿密	中	細	粗	砂	粉	泥	土
●	●	●	●	●	●	●	●	●

以上は試験試料作成時における状態を示す。



## 三軸圧縮試験結果

報告用紙

調査名・目的 桑名市行合

試験期日 44年 11月 22日

試料番号 A03-1

試験者 工藤

採取深度 1.80 ~ 2.70 m

試験方法：(非排水)、圧密非排水、排水

試料：(乱さない)。乱した。

剪断方法：応力制御、(ヒズミ制御)

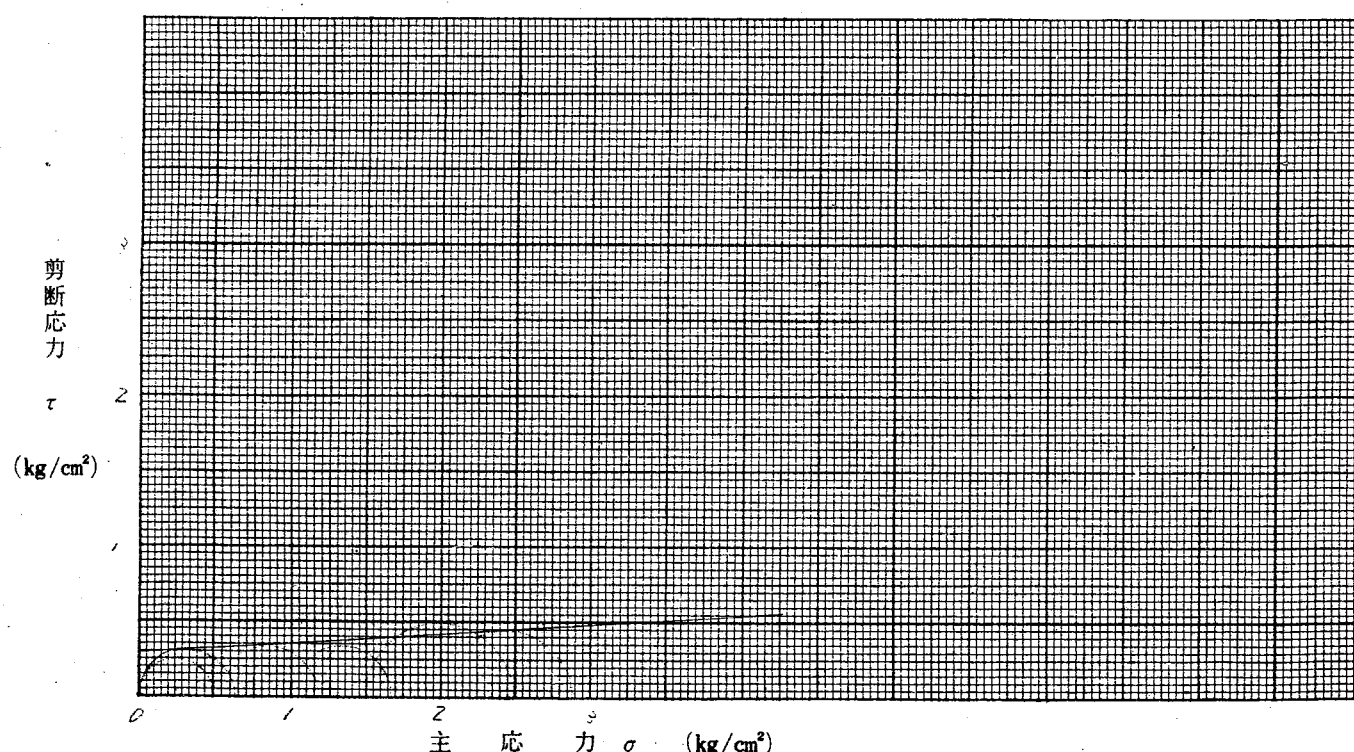
先行圧密荷重

土粒子比重 Gs

供試体番号	1	2	3	4	5
供試体高さ (cm)	3.1	3.1	3.1	3.0	3.1
供試体直径 (cm)	2.5	2.5	2.5	2.5	2.5
湿潤密度 $\gamma_t$ ( $\text{g}/\text{cm}^3$ )	1.99	1.86	1.85	1.84	1.86
含水比 $w$ (%)					
乾燥密度 $\gamma_d$ ( $\text{g}/\text{cm}^3$ )					
間隙比 $e$					
飽和度 $S_r$ (%)					
剪断時の測圧 $\sigma_3$ ( $\text{kg}/\text{cm}^2$ )	6	0.5	1.0	1.5	2.0
剪断時の軸差応力 $\sigma_1 - \sigma_3$ ( $\text{kg}/\text{cm}^2$ )	0.623	0.561	0.682	0.665	0.981
剪断時の歪 $\epsilon_f$ (%)	6.5	6.0	7.0	7.0	9.5
剪断時の体積変化 $\Delta V$ (%)					
圧密による体積変化 $\Delta V$ (%)					
剪断速度 (%) / 分	1	1	1	1	1

試験結果	
粘着力 $C$ ( $\text{kg}/\text{cm}^2$ )	0.290
内部摩擦角 $\phi$	36.30
摩擦係数 $\tan \phi$	

試料の状態：試験試料侧面						
下部	1軸側面	1軸側面	1.0	1.5	0.5	上部
底砂層	注入	粘粒土	注入	注入	注入	注入



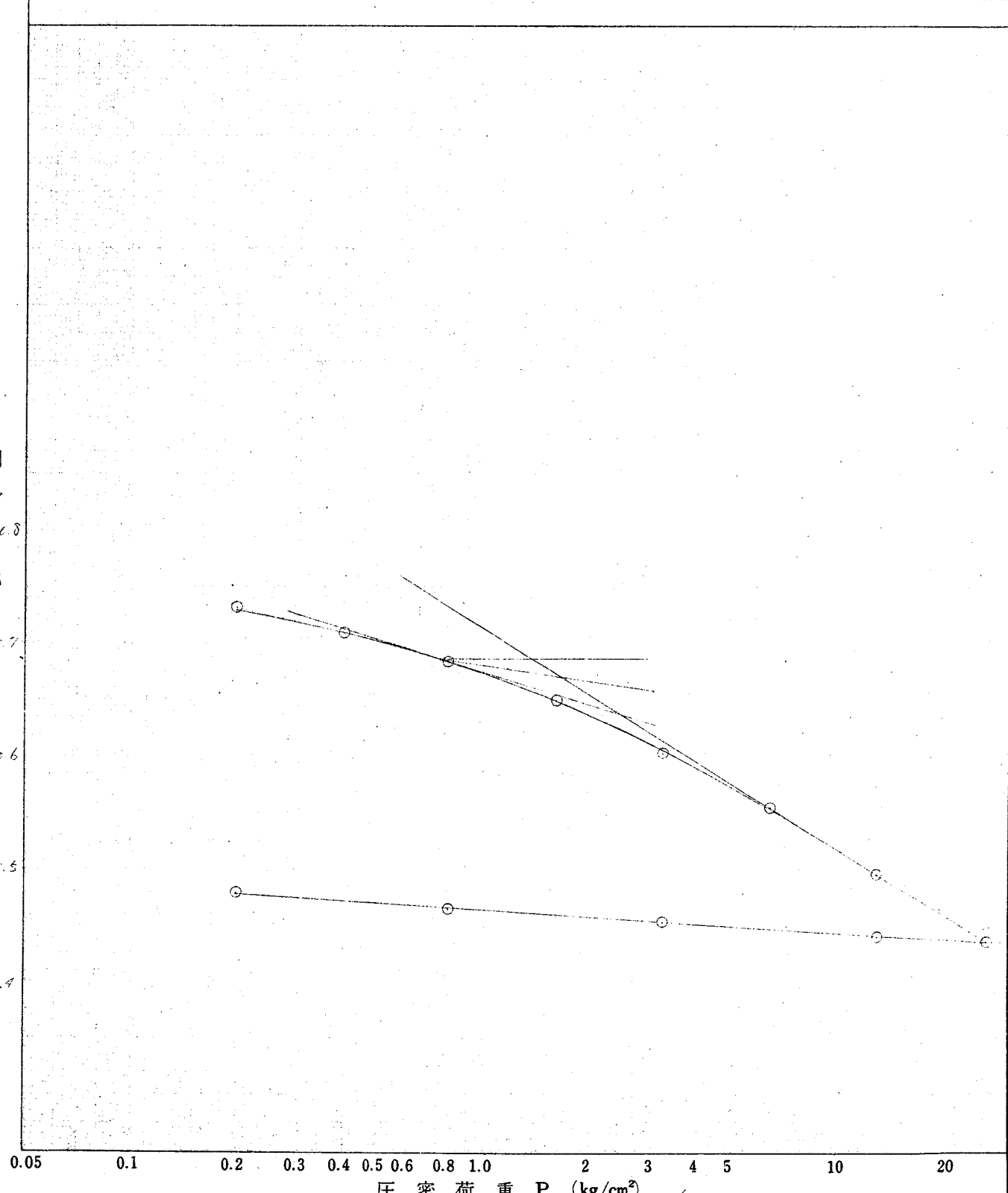
調査名 粕名市町会

試料番号 NO. 3-1

採取深さ 1.90 ~ 2.70 m

(乱さない) 試料 練り返した 試験期間 昭和 年 月 日 ~ 月 日 試験者

供試体 番号	供試体寸法 cm		試料含水比 %		飽和度 %		土粒子の 比重 Gs	圧密箱の 形式	変形量の 整理方法	圧縮指數 Cc	圧密先行 荷重 Po kg/cm <sup>2</sup>
	高さ	直径	試験前 W <sub>o</sub>	試験後 W <sub>f</sub>	試験前 S <sub>ro</sub>	試験後 S <sub>rf</sub>					
	2.0	6.0	26.1		93.9		2.635	固	✓ t	0.198	1.65
								固	✓ t		

間  
ゲ  
キ  
比  
e

調査名・目的 羽衣市庁舎

試料番号 NO. 3 - 1

採取深度 1.90 m ~ 2.70 m

試料状態 {乱した  
(乱さない)}

供試体寸法		
直 径	D :	6.0 cm
高 さ	2H :	2.0 cm
断面積	A :	56.54 cm <sup>2</sup>
容 積	V :	28.27 cm <sup>3</sup>

含水比	試験前	26.61 %
	試験後	%
飽和度	試験前	93.9 %
	試験後	%
比 重		2.635

## 平均圧密応力に対する圧密係数、体積圧縮係数、透水係数および一次圧密比

圧密応力 p kg/cm <sup>2</sup>	平均圧密応力 p kg/cm <sup>2</sup>	間隙比 e	圧密係数 C <sub>v</sub> cm <sup>2</sup> /sec	圧縮係数 a <sub>v</sub> cm <sup>2</sup> /g	体積圧縮係数 m <sub>v</sub> cm <sup>2</sup> /g	透水係数 k cm/sec	一次圧密比 r
0		0.748					
1.2	0.1	0.732	$3.3 \times 10^{-3}$	$8.0 \times 10^{-5}$	$4.6 \times 10^{-5}$	$3.3 \times 10^{-7}$	31.3
2.4	0.2	0.710	$2.8 \times 10^{-2}$	$1.1 \times 10^{-4}$	$6.4 \times 10^{-5}$	$1.8 \times 10^{-6}$	12.5
3.6	0.3	0.680	$2.1 \times 10^{-2}$	$6.5 \times 10^{-5}$	$3.8 \times 10^{-5}$	$8.6 \times 10^{-7}$	27.5
4.8	0.4	0.649	$1.3 \times 10^{-2}$	$4.4 \times 10^{-5}$	$2.6 \times 10^{-5}$	$3.4 \times 10^{-7}$	27.6
6.0	0.5	0.602	$1.2 \times 10^{-2}$	$2.7 \times 10^{-5}$	$1.8 \times 10^{-5}$	$2.2 \times 10^{-7}$	32.6
7.2	0.6	0.554	$1.1 \times 10^{-2}$	$1.5 \times 10^{-5}$	$2.4 \times 10^{-6}$	$1.6 \times 10^{-7}$	39.0
8.4	0.7	0.495	$1.1 \times 10^{-2}$	$9.2 \times 10^{-6}$	$5.9 \times 10^{-6}$	$1.5 \times 10^{-8}$	38.5
9.6	0.8	0.435	$8.2 \times 10^{-3}$	$4.7 \times 10^{-6}$	$3.1 \times 10^{-6}$	$2.5 \times 10^{-8}$	42.5
10.8	0.9	0.420					
12.0	1.0	0.452					
13.2	1.1	0.414					
14.4	1.2	0.478					
15.6	1.3	0.509					

JIS A 1217

## 土の圧密試験 VII

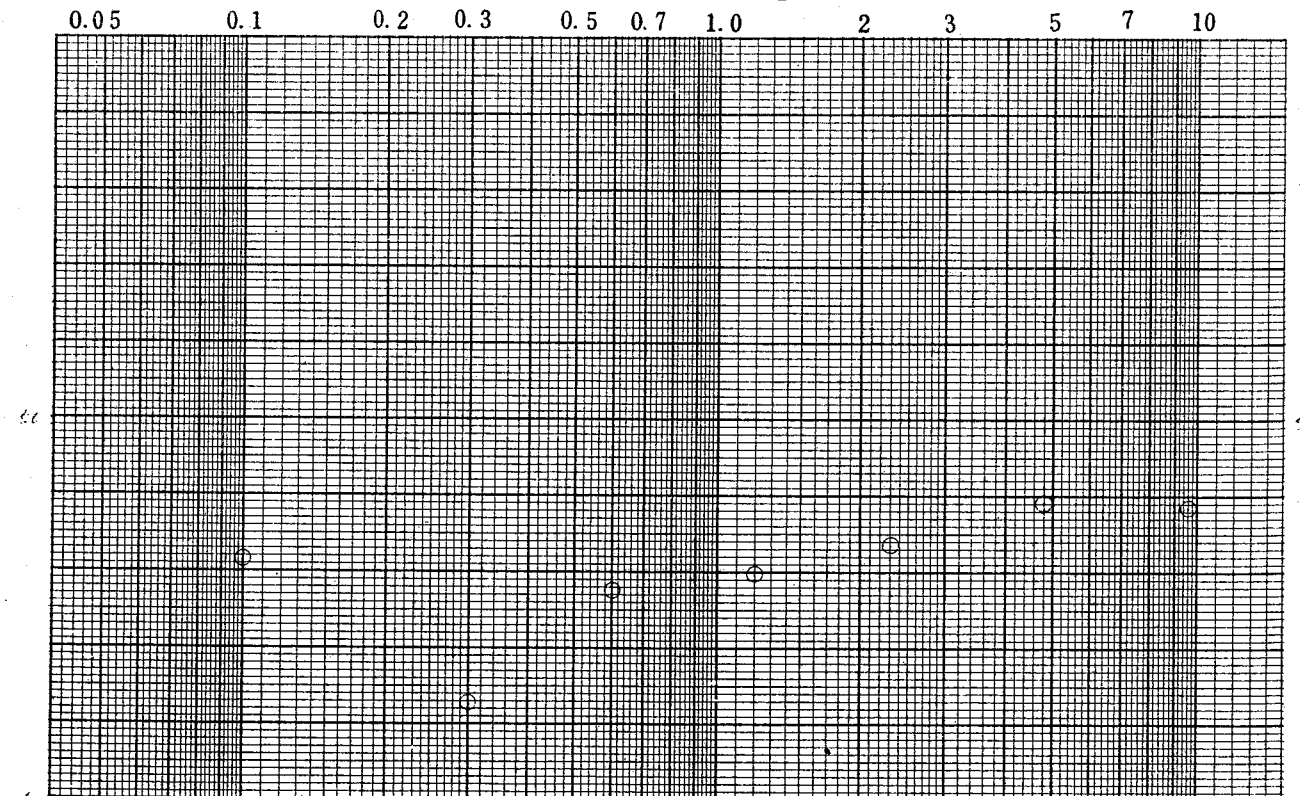
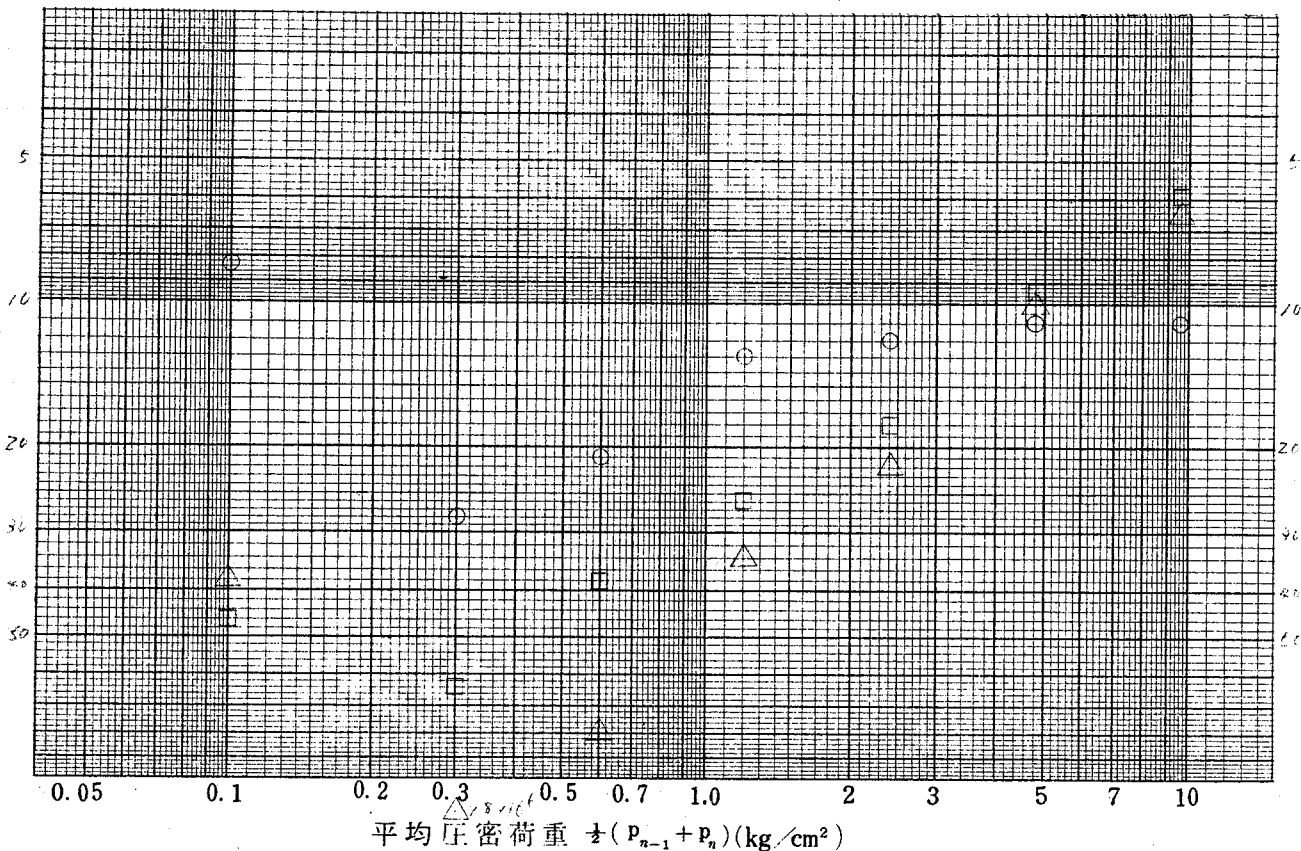
報告用紙

調査名 群馬市庁舎

試料番号 NO.3-1

採取深さ 1.90 ~ 2.70 m

(乱きない)  
練り返した 試料 試験期間 昭和 年月日 ~ 年月日 試験者

各平均圧密荷重  $\frac{1}{2}(p_{n-1} + p_n)$  に対する圧密係数  $c_v$ 、体積圧縮係数  $m_v$ 、透水係数  $k$  および一次圧密比  $r$  の整理
 $c_v$   $m_v$   $k$   
 $10^{-7}$   $10^{-6}$   $10^{-8}$ 


調査名 某市役所 試料番号 NO.2-1 採取深さ 0.70~1.50<sup>m</sup>

乱さない 試料 試験期間 昭和 年 月 日 ~ 月 日 試験者

供試体 番号	供試体寸法 cm		試料含水比 %		飽和度 %		土粒子の 比重 Gs	圧密箱の 形式	変形量の 整理方法	圧縮指数 Cc	圧密先行 荷重 P <sub>0</sub> kg/cm <sup>2</sup>
	高さ	直径	試験前 W <sub>o</sub>	試験後 W <sub>f</sub>	試験前 S <sub>ro</sub>	試験後 S <sub>rf</sub>					
	2.0	6.0	35.78		77.0		2.567	固	$\sqrt{t}$	6.284	1.53
								固	$\sqrt{t}$		

間

ゲ

ギ

比

e

6.6

6.7

6.8

6.9

7.0

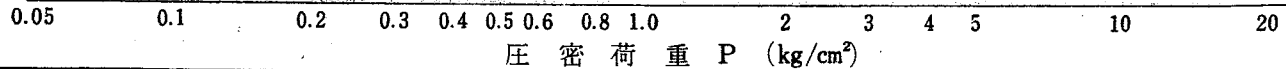
7.1

7.2

7.3

7.4

7.5



JIS A 1217

## 土の圧密試験

調査名・目的 羽名市庁舎

試料番号 NO. Z-1

採取深度 0.71 m ~ 1.50 m 試料状態 {乱した  
(乱さない)}

供試体寸法		
直径	D :	10 cm
高さ	2H :	2.0 cm
断面積	A :	56.54 cm <sup>2</sup>
容積	V :	28.27 cm <sup>3</sup>

含水比	試験前	25.78 %
	試験後	%
飽和度	試験前	27.0 %
	試験後	%
比重		2.667

平均圧密応力に対する圧密係数、体積圧縮係数、透水係数および一次圧密比

圧密応力 p kg/cm <sup>2</sup>	平均圧密応力 p kg/cm <sup>2</sup>	間隙比 e	圧密係数 C <sub>v</sub> cm <sup>2</sup> /sec	圧縮係数 a <sub>v</sub> cm <sup>2</sup> /g	体積圧縮係数 m <sub>v</sub> cm <sup>2</sup> /g	透水係数 k cm/sec	一次圧密比 r
0		0.746					
0.2	0.1	0.931	4.3 × 10 <sup>-3</sup>	7.5 × 10 <sup>-5</sup>	7.9 × 10 <sup>-5</sup>	1.7 × 10 <sup>-7</sup>	53.0
0.4	0.3	0.918	4.8 × 10 <sup>-3</sup>	9.0 × 10 <sup>-5</sup>	4.7 × 10 <sup>-5</sup>	2.8 × 10 <sup>-7</sup>	37.6
0.8	0.6	0.883	4.6 × 10 <sup>-3</sup>	7.5 × 10 <sup>-5</sup>	3.9 × 10 <sup>-5</sup>	1.8 × 10 <sup>-7</sup>	33.5
1.6	1.2	0.832	4.5 × 10 <sup>-3</sup>	6.1 × 10 <sup>-5</sup>	3.2 × 10 <sup>-5</sup>	1.4 × 10 <sup>-7</sup>	38.6
3.2	2.4	0.763	3.0 × 10 <sup>-3</sup>	4.4 × 10 <sup>-5</sup>	2.4 × 10 <sup>-5</sup>	7.2 × 10 <sup>-8</sup>	26.2
6.4	4.8	0.684	2.5 × 10 <sup>-3</sup>	2.8 × 10 <sup>-5</sup>	1.4 × 10 <sup>-5</sup>	3.5 × 10 <sup>-8</sup>	53.0
12.8	9.6	0.598	2.1 × 10 <sup>-3</sup>	1.9 × 10 <sup>-5</sup>	7.7 × 10 <sup>-6</sup>	1.6 × 10 <sup>-8</sup>	57.9
25.6	19.2	0.515	2.8 × 10 <sup>-3</sup>	6.5 × 10 <sup>-6</sup>	4.1 × 10 <sup>-6</sup>	1.1 × 10 <sup>-8</sup>	36.2
51.2		0.523					
102.4		0.547					
204.8		0.583					
409.6		0.619					
819.2		0.680					

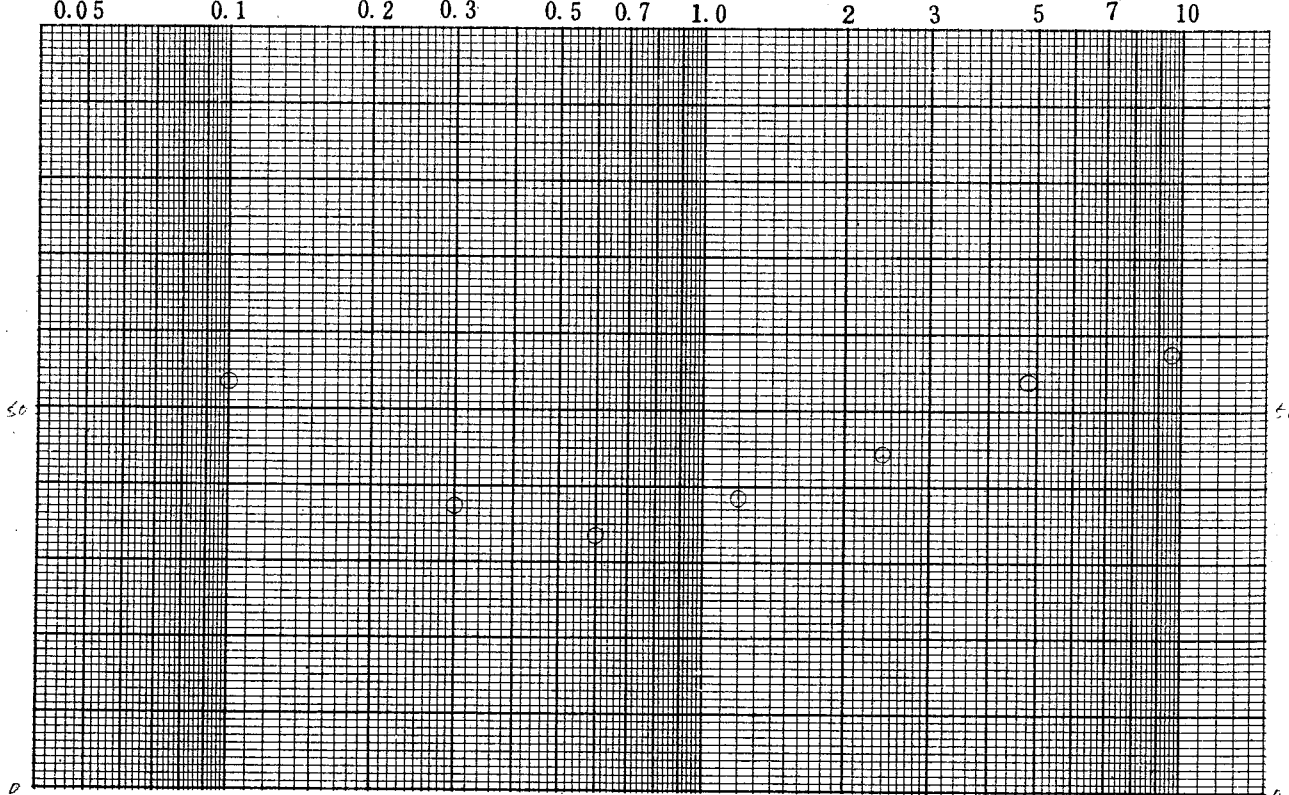
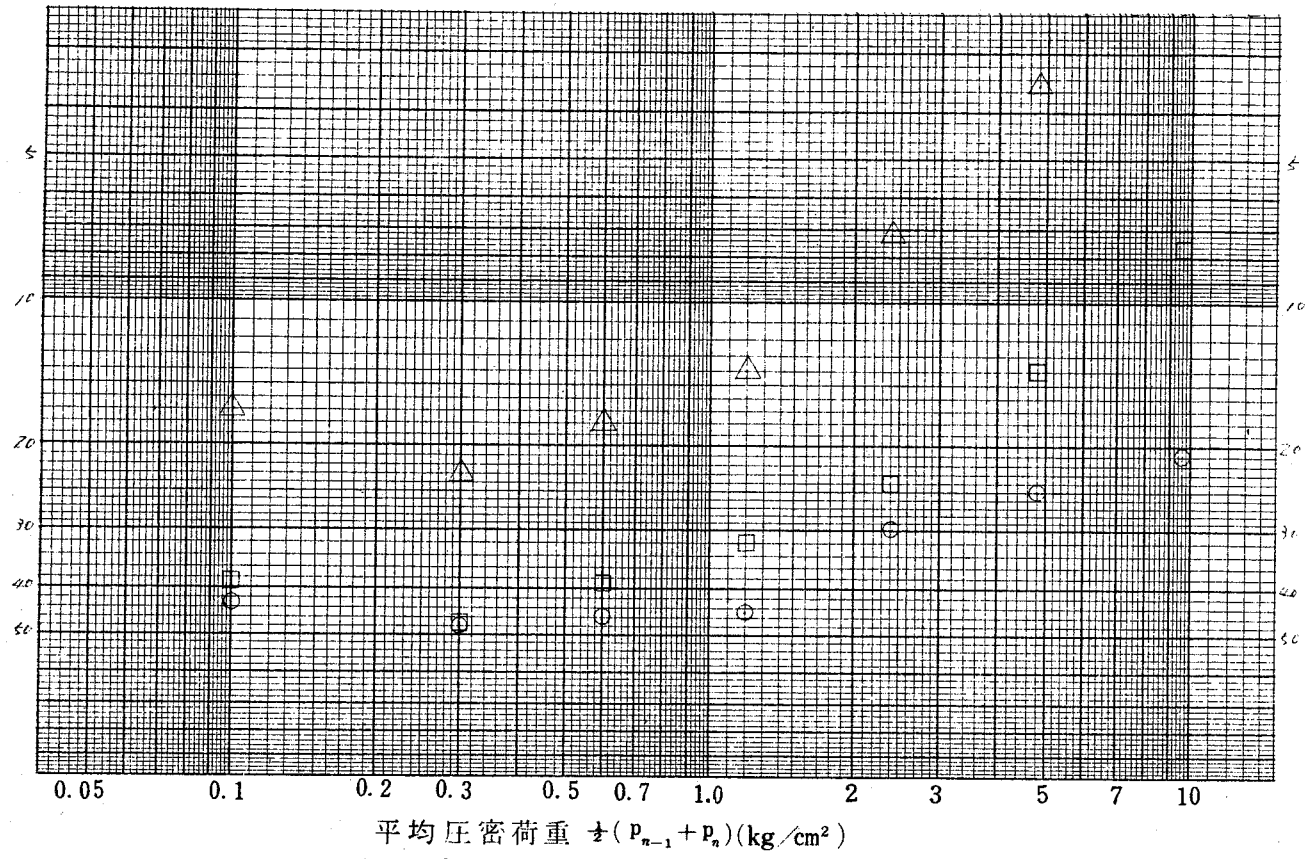
調査名 羽衣市庁舎

試料番号 NO.2-1

採取深さ 0.70 ~ 1.50 m

(乱きない)  
練り返した 試料

試験期間 昭和 年 月 日 ~ 月 日 試験者

各平均圧密荷重  $\frac{1}{2}(p_{n-1} + p_n)$  に対する圧密係数  $c_v$ 、体積圧縮係数  $m_v$ 、透水係数  $k$  および一次圧密比  $r$  の整理
 $c_v$   $10^{-4}$   
 $m_v$   $10^{-6}$   
 $k$   $10^{-8}$ 
 $\Delta 1.6 \times 10^{-3}$ 

# 土質試験成果表

調査名 群馬市新築

試験番号 No.		1-1	1-2	1-3	
試験名		C.S	C.S	C.S	
採取方法					
採取深度 (m)		2.15 ~ 2.47	8.15 ~ 8.45	16.15 ~ 16.45	
見掛け分類					
単位体積重量 $\gamma_t$ (g/cm <sup>3</sup> )					
真比重 G <sub>s</sub>		2.68			
含水比 w (%)		35.89	15.77	8.84	
間隙比 e					
飽和度 S (%)					
粒度	礫 (%)	0	22	57	
	砂 (%)	5	68	41	
	シルト (%)	47	9	2	
	粘土 (%)	48	5	0	
試験	三角座標分類				
	粒径 D <sub>60</sub> (mm)	6.081	1.3	5.0	
	粒径 D <sub>10</sub> (mm)	—	0.31	0.28	
	均等係数	—	4.17	17.9	
稠度	透水係数 k (cm/sec)				
	液性限界 L.L. (%)	55.76			
	塑性限界 P.L. (%)	24.68			
	塑性指数 P.I.	31.02			
直接剪断試験	粘着力 C (kg/cm <sup>2</sup> )				
	内部摩擦角 φ (度)				
三軸圧縮試験	粘着力 C (kg/cm <sup>2</sup> )				
	内部摩擦角 φ (度)				
一軸圧縮試験	一軸圧縮強度 qu (kg/cm <sup>2</sup> )				
	練り返した土の一軸圧縮強度 qur (kg/cm <sup>2</sup> )				
	鋭敏比 St				
圧密試験	圧縮指数 C <sub>c</sub>				
	先行荷重 P <sub>o</sub> (kg/cm <sup>2</sup> )				
	圧密係数 C <sub>v</sub> (cm <sup>2</sup> /sec)				
	透水係数 k (cm/sec)				
透水試験	透水係数 k (cm/sec)				
備考:	C.S... 摂乱試料				

# 土質試験成果表

調査名 桑名市府舎新築

試験番号 No.		2-1		
試験名		C.S		
採取方法				
採取深度 (m)		19.15 ~ 19.45		
見掛け分類				
単位体積重量 $\gamma_t$ ( $\text{g}/\text{cm}^3$ )				
真比重 $G_s$		2.629		
含水比 w (%)		23.6		
間隙比 e				
飽和度 S (%)				
粒度	礫 (%)	1		
	砂 (%)	59		
	シルト (%)	42		
	粘土 (%)	18		
試験	三角座標分類			
	粒径 $D_{60}$ (mm)	0.075		
	粒径 $D_{10}$ (mm)	0.0016		
	均等係数	46.2		
透水係数 $k$ ( $\text{cm/sec}$ )				
稠度	液性限界 L.L. (%)			
	塑性限界 P.L. (%)			
試験	塑性指数 P.I.			
	直接剪断試験 粘着力 C ( $\text{kg}/\text{cm}^2$ )			
三軸圧縮試験	内部摩擦角 $\phi$ (度)			
	粘着力 C ( $\text{kg}/\text{cm}^2$ )			
一軸圧縮試験	内部摩擦角 $\phi$ (度)			
	一軸圧縮強度 $q_u$ ( $\text{kg}/\text{cm}^2$ )			
一軸圧縮試験	練り返した土の一軸圧縮強度 $q_{ur}$ ( $\text{kg}/\text{cm}^2$ )			
	鋭敏比 St			
圧密試験	圧縮指数 $C_c$			
	先行荷重 $P_o$ ( $\text{kg}/\text{cm}^2$ )			
	圧密係数 $C_v$ ( $\text{cm}^3/\text{sec}$ )			
	透水係数 $k$ ( $\text{cm/sec}$ )			
透水試験	透水係数 $k$ ( $\text{cm/sec}$ )			
備考:				

# 土質試験成果表

調査名 築名市市販新築

試験番号 No.		3-1	3-2	3-3	
試験名		C.S	C.S	C.S	
採取方法					
採取深度 (m)		3.15 ~ 3.45	5.15 ~ 5.45	10.15 ~ 10.45	
見掛け分類					
単位体積重量 $\gamma_t$ (g/cm³)					
真比重 Gs				2.694	
含水比 w (%)		11.06		26.74	
間隙比 e					
飽和度 S (%)					
粒度	礫 (%)	61	37	1	
	砂 (%)	26	70	50	
	シルト (%)	3	1	37	
	粘土 (%)	0	0	12	
試験	三角座標分類				
	粒径 $D_{60}$ (mm)	6.7	1.45	0.11	
	粒径 $D_{10}$ (mm)	1.3	0.36	0.0132	
	均等係数	22.9	4.18	36.4	
稠度	透水係数 $k$ (cm/sec)				
	液性限界 L.L. (%)				
	塑性限界 P.L. (%)				
	塑性指数 P.I.				
直接剪断試験	粘着力 C ( $kg/cm^2$ )				
	内部摩擦角 $\phi$ (度)				
	粘着力 C ( $kg/cm^2$ )				
	内部摩擦角 $\phi$ (度)				
三軸圧縮試験	一軸圧縮強度 $q_u$ ( $kg/cm^2$ )				
	練り返した土の一軸圧縮強度 $q_{ur}$ ( $kg/cm^2$ )				
	鋭敏比 St				
	圧縮指數 $C_c$				
圧密試験	先行荷重 $P_o$ ( $kg/cm^2$ )				
	圧密係数 $C_v$ ( $cm^2/sec$ )				
	透水係数 $k$ (cm/sec)				
	透水係数 $k$ (cm/sec)				
備考:					

調査名・調査地点 桑名市庁舎

試験年月日 44年10月24日

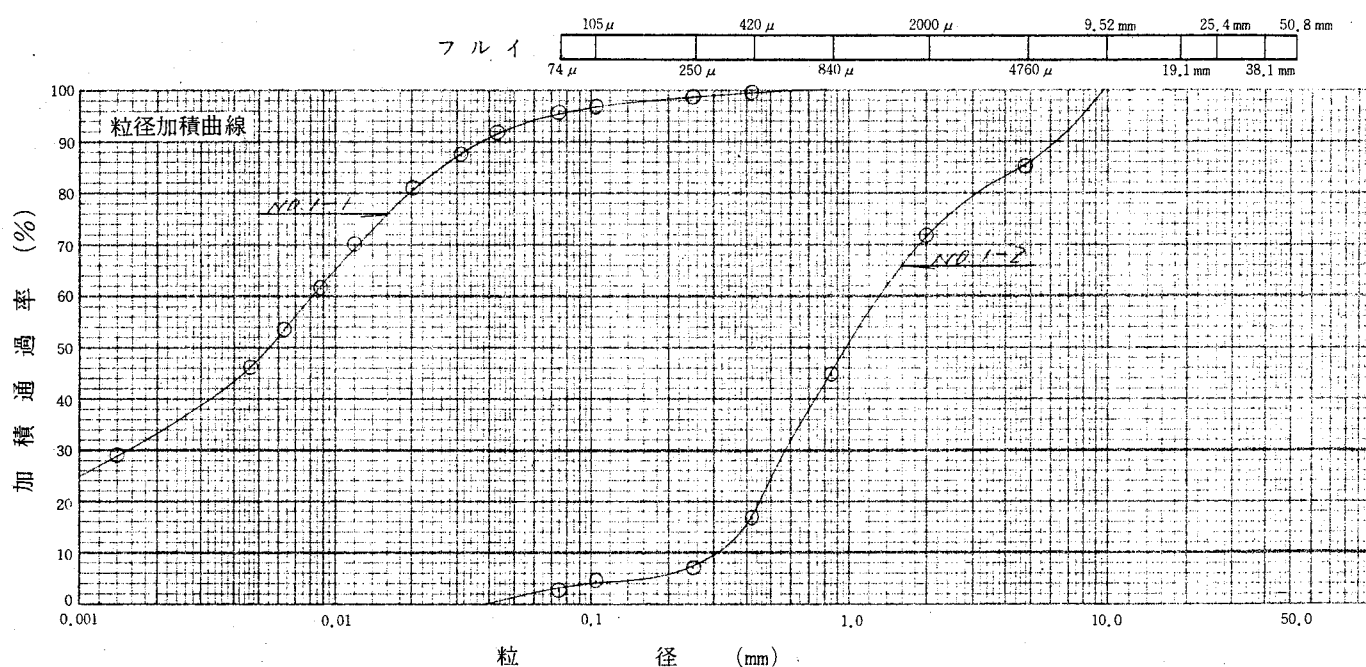
## 工藤 試驗者

粒径加積曲線を図示するのに用いた粒径とその粒径より小さな土粒子重量の百分率との関係表

試料番号・深さ: No. 1-1 (2.15 m ~ 2.47 m) 比重 2.638

フル イ	粒径 mm	50.8	38.1	25.4	19.1	9.52	4.76	2.00	0.84	0.42	0.25	0.105	0.074
	重量百分率%									22.6	77.0	96.7	100.0
比浮 重	粒径 mm	6.6428	6.1807	6.1201	0.1120	0.115378	0.11637	0.11422	0.11190				
	重量百分率%	91.8	82.9	81.0	76.4	66.2	52.6	46.0	29.0				

試料番号・深さ: No. 1-2 (8.15 m ~ 8.45 m) 比重



ヨロイド 粘 土 シ ル ト 砂 レ キ  
0.001 0.005 0.074 2.0

試料番号 深さ	No. 1-1 2.15 m~2.47 m	No. 1-2 8.15 m~8.45 m	試料番号 深さ	No. 1-1 2.15 m~2.47 m	No. 1-2 8.15 m~8.45 m
4.76mm以上の粒子	0 %	15 %	最大粒径	6.84 mm	7.52 mm
4.76~2 mmの粒子	0 %	14 %	60 % 粒径	6.1181 mm	6.9 mm
2~0.42 mmの粒子	1 %	54 %	30 % 粒径	6.00155 mm	6.57 mm
0.42~0.074mmの粒子	4 %	14 %	10 % 粒径	mm	6.81 mm
0.074~0.005mmのシルト分	47 %	3 %	均等係数	—	4.17
0.005mm以下の粘土分	48 %	0 %	曲率係数	—	6.31
0.001mm以下のコロイド分	25 %	0 %	フリイを通過する 試料の分散性		
2000 $\mu$ フリイ通過重量百分率	100 %	71 %			
420 $\mu$ フリイ通過重量百分率	99 %	17 %	粗な土粒子の形状		
74 $\mu$ フリイ通過重量百分率	95 %	3 %	および堅さ		

調査名・調査地点 桑名市庁舎

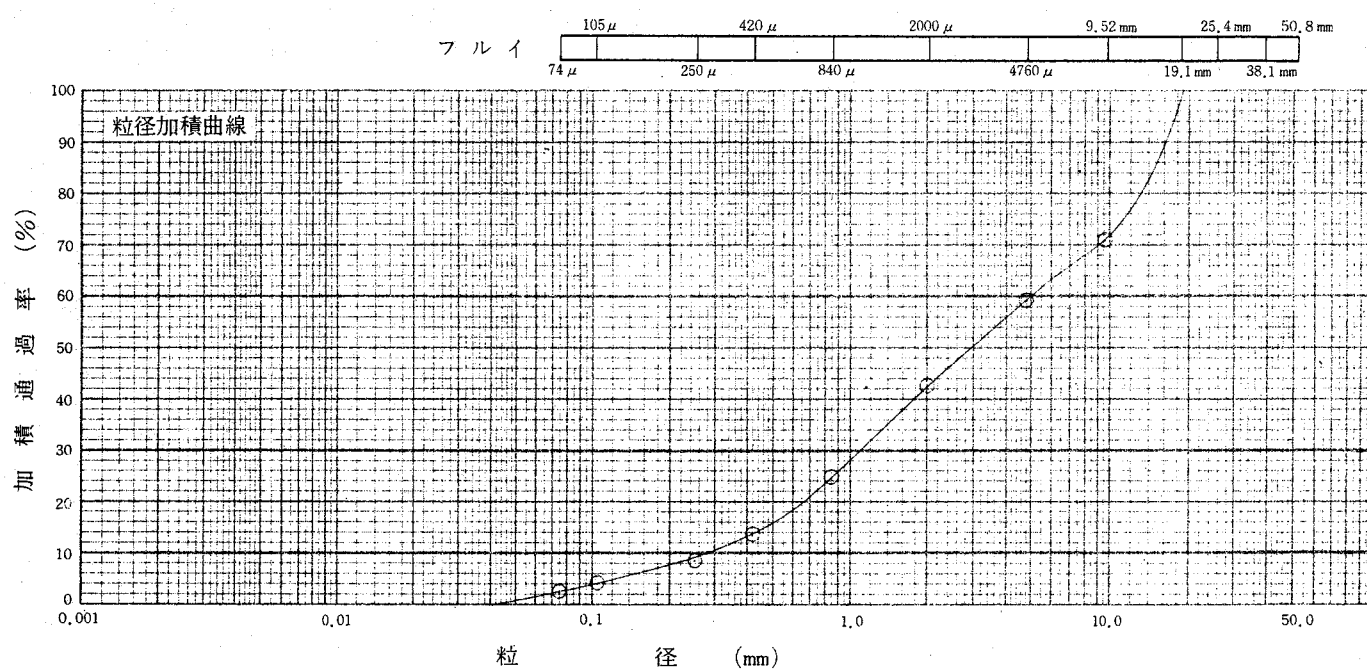
試験年月日 44年11月24日

## 試驗者工藤

粒径加積曲線を図示するのに用いた粒径とその粒径より小さな土粒子重量の百分率との関係表

試料番号・深さ: No. 1-3 (10.15 m ~ 10.45 m) 比重

試料番号・深さ: No. ( m ~ m ) 比重



コロイド 粘 土 シ ル ト 砂 レ キ  
0.001 0.005 0.074 2.0

試料番号 深さ	No. $1 - 3$ $10.15m \sim 10.45m$	No. $m \sim m$	試料番号 深さ	No. $1 - 3$ $10.15m \sim 10.45m$	No. $m \sim m$
4.76mm以上の粒子	41 %	%	最大粒径	19.1 mm	mm
4.76~2 mmの粒子	16 %	%	60 % 粒径	5.0 mm	mm
2~0.42 mmの粒子	29 %	%	30 % 粒径	1.1 mm	mm
0.42~0.074mmの粒子	12 %	%	10 % 粒径	0.28 mm	mm
0.074~0.005mmのシルト分	2 %	%	均等係数	17.9	
0.005mm以下の粘土分	0 %	%	曲率係数	1.86	
0.001mm以下のコロイド分	0 %	%	フルイを通過する 試料の分散性		
2000 $\mu$ フルイ通過重量百分率	42 %	%			
420 $\mu$ フルイ通過重量百分率	14 %	%	粗な土粒子の形状 および堅さ		
74 $\mu$ フルイ通過重量百分率	2 %	%			

調査名・調査地点 柴名市庁舎

C.S

試験年月日 44年 11月 24日

試験者 工藤

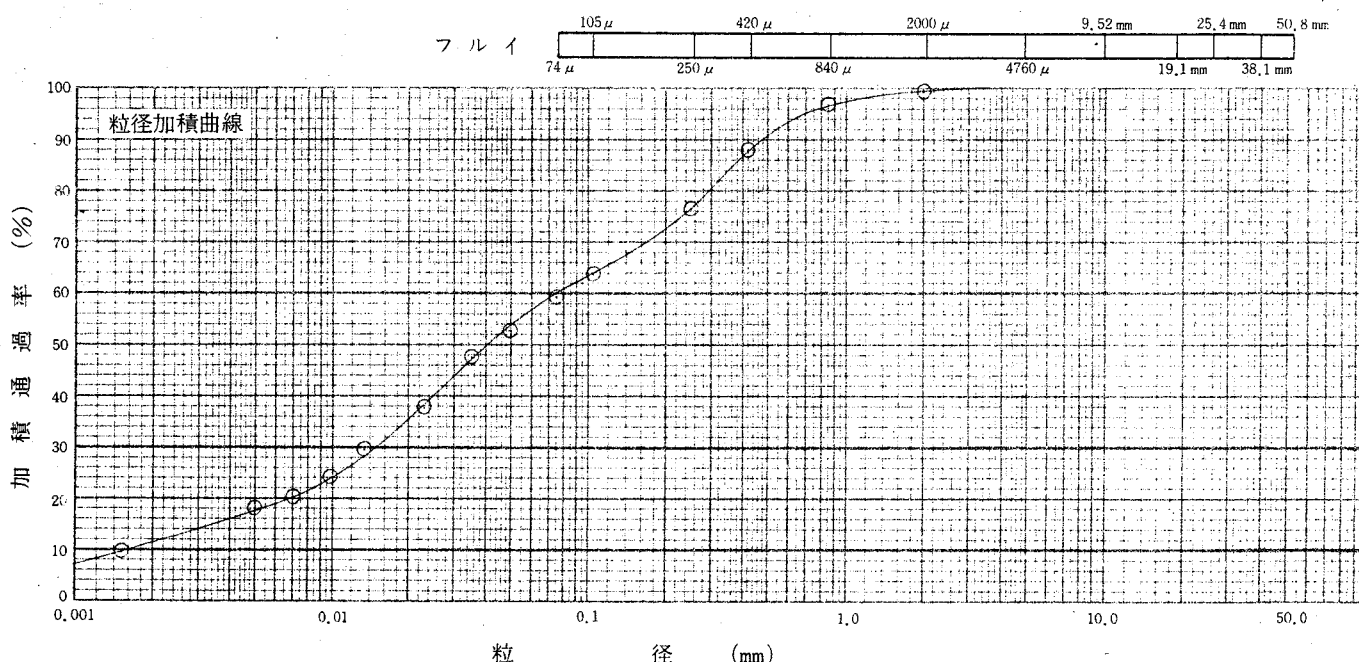
粒径加積曲線を図示するのに用いた粒径とその粒径より小さな土粒子重量の百分率との関係表

試料番号・深さ: No. 2-1 (1915m ~ 1945m) 比重 2.629

フルイ	粒径 mm	50.8	38.1	25.4	19.1	9.52	4.76	2.00	0.84	0.42	0.25	0.105	0.074
重量百分率%									99.6	96.8	87.9	76.3	63.4
比浮比	粒径 mm	0.0487	0.0250	0.0230	0.0196	0.00981	0.00703	0.00501	0.00148				
重量百分率%	52.7	47.7	37.8	29.9	24.0	26.6	18.1	9.5					

試料番号・深さ: No. ( m ~ m ) 比重

フルイ	粒径 mm	50.8	38.1	25.4	19.1	9.52	4.76	2.00	0.84	0.42	0.25	0.105	0.074
重量百分率%													
比浮比	粒径 mm												
重量百分率%													



コロイド	粘 土	シルト	砂	レ キ
0.001	0.005	0.074	2.0	

試 料 番 号	No. 2-1	No. m ~ m	試 料 番 号	No. 2-1	No. m ~ m
深	1915m ~ 1945m		深	1915m ~ 1945m	
4.76mm以上の粒子	c %	%	最大粒径	4.76 mm	mm
4.76~2mmの粒子	1 %	%	60 % 粒径	0.075 mm	mm
2~0.42mmの粒子	11 %	%	30 % 粒径	0.013 mm	mm
0.42~0.074mmの粒子	28 %	%	10 % 粒径	0.0016 mm	mm
0.074~0.005mmのシルト分	42 %	%	均等係数	4.62	
0.005mm以下の粘土分	18 %	%	曲率係数	1.81	
0.001mm以下のコロイド分	7 %	%	フルイを通過する 試料の分散性		
2000μ フルイ通過重量百分率	99 %	%	粗な土粒子の形状 および堅さ		
420μ フルイ通過重量百分率	88 %	%			
74μ フルイ通過重量百分率	60 %	%			

調査名・調査地点 桑名市庁舎

試験年月日 44年 11月 24日

C.S.

試験者 工藤

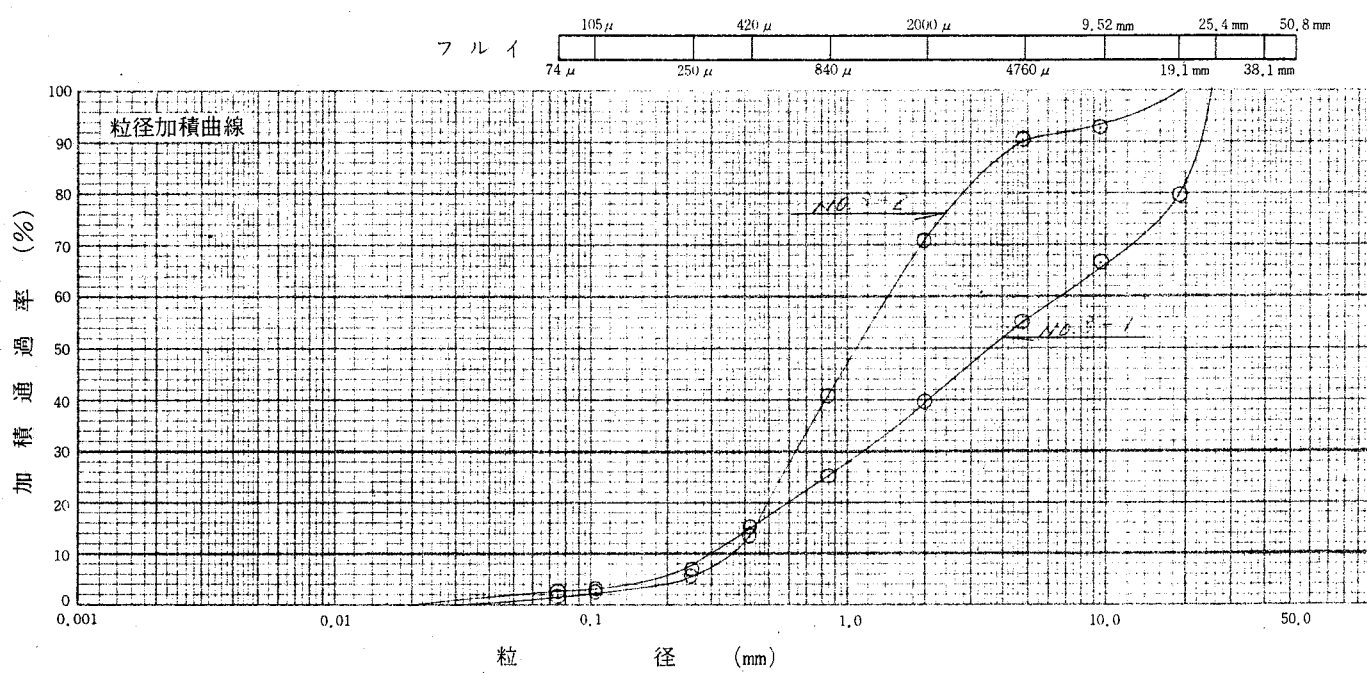
粒径加積曲線を図示するのに用いた粒径とその粒径より小さな土粒子重量の百分率との関係表

試料番号・深さ: No. 3-1 (3.15 m ~ 3.45 m) 比重

粒径 mm	50.8	38.1	25.4	19.1	9.52	4.76	2.00	0.84	0.42	0.25	0.105	0.074	
フルイ重量百分率%					79.7	66.4	55.1	39.4	25.1	13.5	7.0	3.2	2.3
比浮比重													
重ウ													

試料番号・深さ: No. 3-2 (5.15 m ~ 5.45 m) 比重

粒径 mm	50.8	38.1	25.4	19.1	9.52	4.76	2.00	0.84	0.42	0.25	0.105	0.074	
フルイ重量百分率%						72.6	70.1	70.4	60.4	15.0	6.0	2.9	1.7
比浮比重													
重ウ													



コロイド	粘土	シルト	砂	レキ
0.001	0.005	0.074	2.0	

試料番号 深さ	No. 3-1 3.15 m ~ 3.45 m	No. 3-2 5.15 m ~ 5.45 m	試料番号 深さ	No. 3-1 3.15 m ~ 3.45 m	No. 3-2 5.15 m ~ 5.45 m
4.76mm以上の粒子	45 %	16 %	最大粒径	25.4 mm	19.1 mm
4.76~2 mmの粒子	16 %	10 %	60 % 粒径	6.7 mm	5.2 mm
2~0.42 mmの粒子	42 %	33 %	30 % 粒径	1.15 mm	0.94 mm
0.42~0.074mmの粒子	12 %	12 %	10 % 粒径	0.5 mm	0.36 mm
0.074~0.005mmのシルト分	3 %	1 %	均等係数	2.2	2.0
0.005mm以下の粘土分	0 %	0 %	曲率係数	0.11	0.18
0.001mm以下のコロイド分	0 %	0 %	フルイを通過する 試料の分散性		
2000μ フルイ通過重量百分率	39 %	21 %	粗な土粒子の形状 および堅さ		
420μ フルイ通過重量百分率	15 %	13 %			
74μ フルイ通過重量百分率	3 %	1 %			

調査名・調査地点

深名市庁舎

試験年月日 44年 11月 24日

C.S.

試験者 工藤

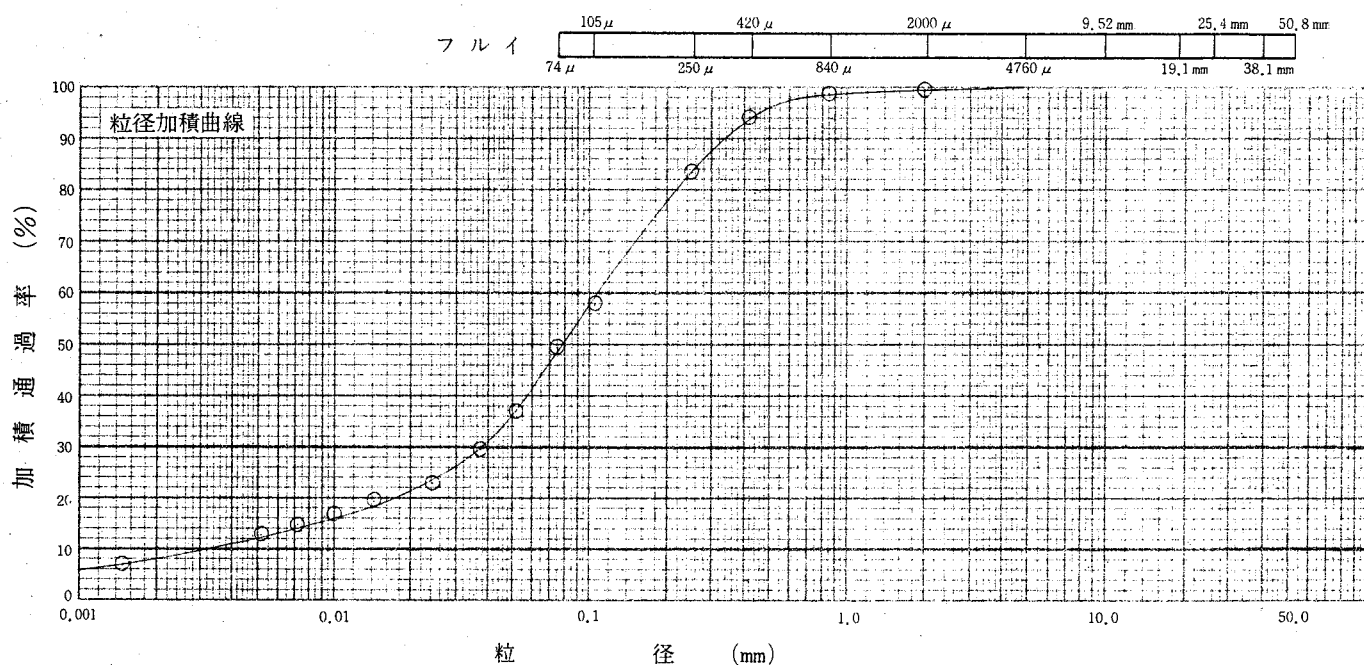
粒径加積曲線を図示するのに用いた粒径とその粒径より小さな土粒子重量の百分率との関係表

試料番号・深さ: No. 3-3 (18.15m ~ 18.45m) 比重 2.614

フルイ	粒径 mm	50.8	38.1	25.4	19.1	9.52	4.76	2.00	0.84	0.42	0.25	0.105	0.074
重量百分率%									99.6	98.6	94.0	89.6	57.7
比浮き重ウ	粒径 mm	10516	61374	61242	61141	61106	60715	616505	616149				
重量百分率%		57.0	29.8	22.7	19.6	16.5	14.5	12.4	1.7				

試料番号・深さ: No. ( m ~ m ) 比重

フルイ	粒径 mm	50.8	38.1	25.4	19.1	9.52	4.76	2.00	0.84	0.42	0.25	0.105	0.074
重量百分率%													
比浮き重ウ	粒径 mm												
重量百分率%													



粘土	シルト	砂	レキ
0.001	0.005	0.074	2.0

試料番号 深さ	No. 3-3 18.15m ~ 18.45m	No. m ~ m	試料番号 深さ	No. 3-3 18.15m ~ 18.45m	No. m ~ m
4.76mm以上の粒子	0 %	%	最大粒径	4.76 mm	mm
4.76~2mmの粒子	1 %	%	60 % 粒径	0.11 mm	mm
2~0.42mmの粒子	5 %	%	30 % 粒径	0.038 mm	mm
0.42~0.074mmの粒子	45 %	%	10 % 粒径	0.0192 mm	mm
0.074~0.005mmのシルト分	37 %	%	均等係数	34.4	
0.005mm以下の粘土分	12 %	%	曲率係数	4.16	
0.001mm以下のコロイド分	6 %	%	フルイを通過する		
2000μ フルイ通過重量百分率	22 %	%	試料の分散性		
420μ フルイ通過重量百分率	94 %	%	粗な土粒子の形状		
74μ フルイ通過重量百分率	49 %	%	および堅さ		

調査名・目的 岸名市立会試験期日 44年11月26日試料番号 No. 1-1試験者 工藤

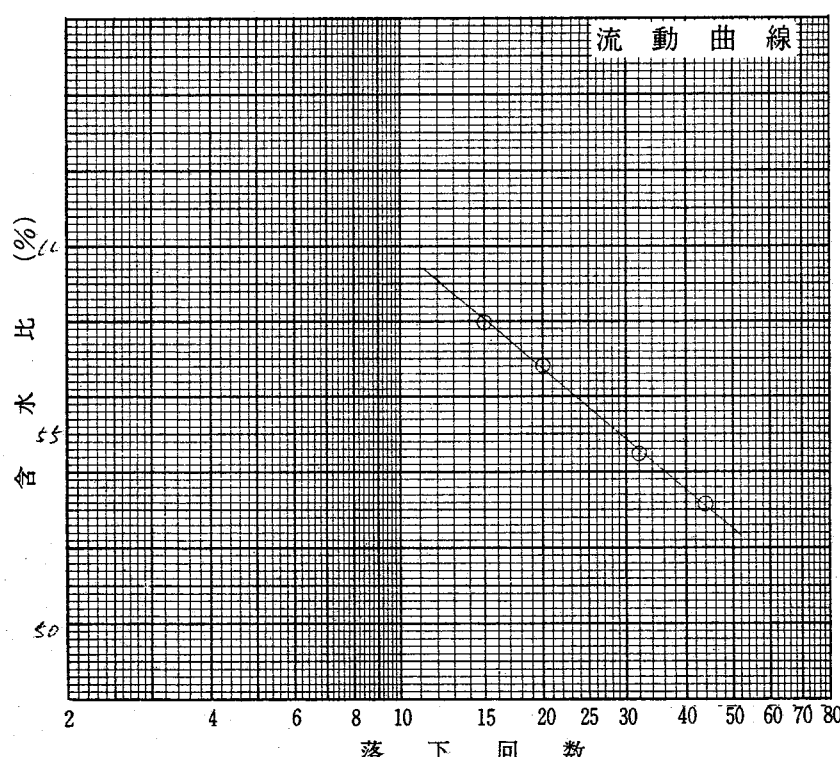
C.S.

## 液性限界試験

1	2	3
落下回数 <u>44</u> No. <u>232</u>	落下回数 <u>32</u> No. <u>280</u>	落下回数 <u>26</u> No. <u>211</u>
WW <u>33.63</u> DW <u>29.89</u>	WW <u>33.72</u> DW <u>29.80</u>	WW <u>34.11</u> DW <u>29.92</u>
DW <u>29.82</u> TW <u>22.85</u>	DW <u>29.30</u> TW <u>22.60</u>	DW <u>29.92</u> TW <u>22.54</u>
W <sub>w</sub> <u>3.74</u> W <sub>s</sub> <u>7.14</u>	W <sub>w</sub> <u>3.92</u> W <sub>s</sub> <u>7.20</u>	W <sub>w</sub> <u>4.19</u> W <sub>s</sub> <u>7.30</u>
w = <u>53.19</u> %	w = <u>54.44</u> %	w = <u>56.78</u> %
4	5	6
落下回数 <u>15</u> No. <u>275</u>	落下回数 No. _____	落下回数 No. _____
WW <u>35.05</u> DW <u>30.10</u>	WW _____ DW _____	WW _____ DW _____
DW <u>30.66</u> TW <u>22.92</u>	DW _____ TW _____	DW _____ TW _____
W <sub>w</sub> <u>4.25</u> W <sub>s</sub> <u>7.68</u>	W <sub>w</sub> _____ W <sub>s</sub> _____	W <sub>w</sub> _____ W <sub>s</sub> _____
w = <u>57.94</u> %	w = _____ %	w = _____ %

## 塑性限界試験

1	2	3
No. <u>168</u>	No. <u>184</u>	No. <u>87</u>
WW <u>32.00</u> DW <u>30.02</u>	WW <u>31.76</u> DW <u>29.84</u>	WW <u>32.17</u> DW <u>30.54</u>
DW <u>30.62</u> TW <u>21.80</u>	DW <u>29.84</u> TW <u>21.87</u>	DW <u>30.54</u> TW <u>21.67</u>
W <sub>w</sub> <u>1.98</u> W <sub>s</sub> <u>5.22</u>	W <sub>w</sub> <u>1.92</u> W <sub>s</sub> <u>7.97</u>	W <sub>w</sub> <u>2.13</u> W <sub>s</sub> <u>8.85</u>
w = <u>24.09</u> %	w = <u>24.49</u> %	w = <u>24.67</u> %

液性限界  $w_L = 55.70\%$ 塑性限界  $w_p = 24.08\%$ 塑性指数  $I_p = 31.62$ 流動指数  $I_f = \underline{\hspace{2cm}}$ 

備考:

## プレシオメーター測定用紙

日付 44.11.18

担当者 工藤 良広

現場名 桑名市厅舎新築 No. P <sub>z</sub> = 1			測定深度 m (中心位置) GL - 7.70			測定時 m 地下水位 GL - 0.00			ガイド・セル kg/cm <sup>2</sup> 初期圧力 P <sub>z</sub> = 0.77	
Time	P <sub>m</sub>	P	V	ΔV	Time	P <sub>m</sub>	P	V	ΔV	
設置後					15"	3.80	4.57	412		
					30"		1.45	417		
					1'		3.12	421		
	15"	0.90	167	5	2'			426	9	
	30"		0.84	11						
	1'		1.33	16	15"	4.15	4.92	429		
	2'			21	10	30"	1.46	432		
						1'	3.46	437		
	15"	1.20	197	37	2'			441	9	
	30"		0.86	48						
	1'		1.11	61	15"	4.60	5.37	446		
	2'			78	30	30"	1.47	449		
						1'	3.90	453		
	15"	1.40	217	86	2'			460	11	
	30"		1.02	95						
	1'		1.15	109	15"	5.15	5.92	464		
	2'			127	32	30"	1.48	469		
						1'	4.44	472		
	15"	1.65	242	140	2'			479	10	
	30"		1.24	153						
	1'		1.18	175	15"	5.90	6.77	488		
	2'			201	48	30"	1.50	493		
						1'	5.27	501		
	15"	1.95	272	215	2'			508	15	
	30"		1.33	230						
	1'		1.39	250	15"	6.40	7.17	515		
	2'			280	50	30"	1.51	522		
						1'	5.66	531		
	15"	2.25	302	291	2'			542	20	
	30"		1.39	203						
	1'		1.63	321	15"	7.10	7.87	551		
	2'			342	39	30"	1.53	559		
						1'	6.34	573		
	15"	2.75	352	351	2'			589	30	
	30"		1.42	361						
	1'		2.10	375	15"					
	2'			383	22	30"	※ ΔV = V <sub>120</sub> - V <sub>10</sub>			
						1'				
	15"	3.35	412	392	2'		P = P <sub>10</sub> + ΔV - P <sub>i</sub>			
	30"		1.44	398						
	1'		2.68	404	15"					
	2'			410	12	30"				
						1'				
						2'				

## プレシオメーター測定用紙

日付 44.11.4

担当者 工藤 良広

現場名 桑名市庁舎新築 No. Ps → 2			測定深度 (中心位置) GL- 9.45 m			測定時 地下水位 GL-0.00 m			ガイド・セル 初期圧力 $P_0 = 0.945$ kg/cm <sup>2</sup>	
Time	Pm	P	V	ΔV	Time	Pm	P	V	ΔV	
設置後					15"	4.10	5.045	556		
					30"		1.410	360		
					1'		3.635	365		
15"	0.95	1.895	10		2'			369	9	
30"		0.625	20							
1'		1.270	29		15"	4.60	5.545	574		
2'			45	25	30"		1.420	376		
					1'		4.125	382		
15"	1.25	2.195	59		2'			387	11	
30"		0.975	69							
1'		1.220	82		15"	5.20	6.145	392		
2'			103	34	30"		1.440	398		
					1'		4.705	405		
15"	1.55	2.495	115		2'			411	13	
30"		1.150	124							
1'		1.345	136		15"	5.70	6.645	416		
2'			157	33	30"		1.455	421		
					1'		5.190	428		
15"	1.80	2.745	170		2'			436	15	
30"		1.255	180							
1'		1.490	190		15"	6.20	7.145	440		
2'			211	31	30"		1.470	447		
					1'		5.675	452		
15"	2.15	3.095	222		2'			462	15	
30"		1.315	232							
1'		1.780	245		15"	6.70	7.645	469		
2'			261	29	30"		1.490	473		
					1'		6.155	482		
15"	2.60	3.545	275		2'			493	20	
30"		1.350	283							
1'		2.195	293		15"			508		
2'			301	18	30"	7.60	8.545	517		
					1'		1.515	532		
15"	3.20	4.145	309		2'			7.030	550	
30"		1.375	313						33	
1'		2.770	320		15"					
2'			327	14	30"					
					1'					
15"	3.60	4.545	333		2'					
30"		1.390	337							
1'		3.155	343		15"					
2'			349	12	30"					
					1'					
					2'					

## プレシオメーター測定用紙

日付 44.11.19

担当者 工藤 良広

現場名 桑名市庁舎新築 No. Po - 3			測定深度 (中心位置) GL-13.20			m	測定時 地下水位 GL + 0.00	m	ガイドセル 初期圧力 Pz=1.35	kg/cm <sup>2</sup>
Time	Pm	P	V	ΔV	Time	Pm	P	V	ΔV	
設置後					15"	3.50	4.85	191		
					30"	1.11	1.11	193		
					1'	3.74	3.74	196		
15"	0.75	2.10	5		2'			199	6	
30"	0.58	1.0								
1'	1.52	18			15"	4.00	5.35	203		
2'		32	22		30"		1.14	208		
					1'		4.21	211		
15"	1.05	2.40	43		2'			217	9	
30"	0.83	52								
1'	1.57	60			15"	4.50	5.85	220		
2'		73	21		30"		1.17	223		
					1'		4.33	228		
15"	1.30	2.65	89		2'			235	12	
30"	0.93	88								
1'	1.72	96			15"	5.00	6.35	240		
2'		106	18		30"		1.19	241		
					1'		5.16	249		
15"	1.60	2.95	111		2'			255	14	
30"	0.99	117								
1'	1.96	121			15"	5.50	6.85	262		
2'		130	13		30"		1.23	268		
					1'		5.62	275		
15"	1.95	3.30	134		2'			286	18	
30"	1.03	139								
1'	2.27	144			15"	6.20	7.55	294		
2'		150	11		30"		1.27	301		
					1'		6.28	309		
15"	2.20	3.55	153		2'			321	20	
30"	1.06	156								
1'	2.49	160			15"	6.85	8.20	329		
2'		164	8		30"		1.31	335		
					1'		6.89	344		
15"	2.55	3.90	168		2'			359	24	
30"	1.08	170								
1'	2.82	172			15"	7.80	9.15	371		
2'		175	5		30"		1.35	381		
					1'		7.80	395		
15"	3.00	4.35	179		2'			412	31	
30"	1.09	181								
1'	3.26	183			15"	8.60	9.95	422		
2'		187	6		30"		1.40	431		
					1'		8.55	446		
					2'			468	37	

## プレシオメーター測定用紙

日付 44. 11. 18

担当者 工藤 良広

現場名 No. Ca 114 (B-1, B-2) (中心位置)			測定深度 m			測定時 地下水位 m			ガイド・セル 初期圧力 kg/cm <sup>2</sup>	
Time	Pm	P	V	ΔV	Time	Pm	P	V	ΔV	
設置後					15"					
					30"					
					1'					
15"	0.85				2'					
30"										
1'					15"					
2'			80		30"					
					1'					
15"	1.15				2'					
30"										
1'					15"					
2'			162		30"					
					1'					
15"	1.35				2'					
30"										
1'					15"					
2'			325		30"					
					1'					
15"	1.50				2'					
30"										
1'					15"					
2'			506		30"					
					1'					
15"					2					
30"										
1'					15"					
2'					30"					
					1'					
15"					2'					
30"										
1'					15"					
2'					30"					
					1'					
15"					2					
30"										
1'					15"					
2'					30"					
					1'					
15"					2					
30"										
1'					15"					
2'					30"					
					1'					
15"					2					
30"										
1'					15"					
2'					30"					
					1'					
15"					2					
30"										
1'					15"					
2'					30"					
					1'					
15"					2					
30"										
1'					15"					
2'					30"					
					1'					
15"					2					
30"										
1'					15"					
2'					30"					
					1'					
15"					2					
30"										
1'					15"					
2'					30"					
					1'					
15"					2					
30"										
1'					15"					
2'					30"					
					1'					
15"					2					
30"										
1'					15"					
2'					30"					
					1'					
15"					2					
30"										
1'					15"					
2'					30"					
					1'					
15"					2					
30"										
1'					15"					
2'					30"					
					1'					
15"					2					
30"										
1'					15"					
2'					30"					
					1'					
15"					2					
30"										
1'					15"					
2'					30"					
					1'					
15"					2					
30"										
1'					15"					
2'					30"					
					1'					
15"					2					
30"										
1'					15"					
2'					30"					
					1'					
15"					2					
30"										
1'					15"					
2'					30"					
					1'					
15"					2					
30"										
1'					15"					
2'					30"					
					1'					
15"					2					
30"										
1'					15"					
2'					30"					
					1'					
15"					2					
30"										
1'					15"					
2'					30"					
					1'					
15"					2					
30"										
1'					15"					
2'					30"					
					1'					
15"					2					
30"										
1'					15"					
2'					30"					
					1'					
15"					2					
30"										
1'					15"					
2'					30"					
					1'					
15"					2					
30"										
1'					15"					
2'					30"					
					1'					
15"					2					
30"										
1'					15"					
2'					30"					
					1'					
15"					2					
30"										
1'					15"					
2'					30"					
					1'					
15"					2					
30"										
1'					15"					
2'					30"					
					1'					
15"					2					
30"										
1'					15"					
2'					30"					
					1'					
15"					2					
30"										
1'					15"					
2'					30"					
					1'					
15"					2					
30"										
1'					15"					
2'					30"					
					1'					
15"					2					
30"										
1'					15"					
2'					30"					
					1'					
15"					2					
30"										
1'					15"					
2'					30"					
					1'					
15"					2					
30"										
1'					15"					
2'					30"					
					1'					
15"					2					
30"										
1'					15"					
2'					30"					
					1'					
15"					2					
30"										
1'					15"					
2'					30"					
					1'					
15"					2					
30"										
1'					15"					
2'					30"					
					1'					
15"					2					
30"										
1'					15"					
2'					30"					
					1'					
15"					2					
30"										
1'					15"					
2'					30"		</			

## プレシオメーター測定用紙

日付 44.11.19

担当者 工 藤 良 広

現場名 No. Caliv (Pa - 3)			測定深度 (中心位置) m			測定時 地下水位 m			ガイド・セル 初期圧力 kg/cm <sup>2</sup>	
Time	Pm	P	V	ΔV	Time	Pm	P	V	ΔV	
設置後					15"					
					30"					
					1'					
15"	0.80				2'					
30"										
1'					15"					
2'			65		30"					
					1'					
15"	1.00				2'					
30"										
1'					15"					
2'			144		30"					
					1'					
15"	1.20				2'					
30"										
1'					15"					
2'			267		30"					
					1'					
15"	1.40				2'					
30"										
1'					15"					
2'			465		30"					
					1'					
15"					2					
30"										
1'					15"					
2'					30"					
					1'					
15"					2					
30"										
1'					15"					
2'					30"					
					1'					
15"					2					
30"										
1'					15"					
2'					30"					
					1'					
15"					2					
30"										
1'					15"					
2'					30"					
					1'					
15"					2					
30"										
1'					15"					
2'					30"					
					1'					
15"					2					
30"										
1'					15"					
2'					30"					
					1'					
15"					2					
30"										
1'					15"					
2'					30"					
					1'					
15"					2					
30"										
1'					15"					
2'					30"					
					1'					
15"					2					
30"										
1'					15"					
2'					30"					
					1'					
15"					2					
30"										
1'					15"					
2'					30"					
					1'					
15"					2					
30"										
1'					15"					
2'					30"					
					1'					
15"					2					
30"										
1'					15"					
2'					30"					
					1'					
15"					2					
30"										
1'					15"					
2'					30"					
					1'					
15"					2					
30"										
1'					15"					
2'					30"					
					1'					
15"					2					
30"										
1'					15"					
2'					30"					
					1'					
15"					2					
30"										
1'					15"					
2'					30"					
					1'					
15"					2					
30"										
1'					15"					
2'					30"					
					1'					
15"					2					
30"										
1'					15"					
2'					30"					
					1'					
15"					2					
30"										
1'					15"					
2'					30"					
					1'					
15"					2					
30"										
1'					15"					
2'					30"					
					1'					
15"					2					
30"										
1'					15"					
2'					30"					
					1'					
15"					2					
30"										
1'					15"					
2'					30"					
					1'					
15"					2					
30"										
1'					15"					
2'					30"					
					1'					
15"					2					
30"										
1'					15"					
2'					30"					
					1'					
15"					2					
30"										
1'					15"					
2'					30"					
					1'					
15"					2					
30"										
1'					15"					
2'					30"					
					1'					
15"					2					
30"										
1'					15"					
2'					30"					
					1'					
15"					2					
30"										
1'					15"					
2'					30"					
					1'					
15"					2					
30"										
1'					15"					
2'					30"					
					1'					
15"					2					
30"										
1'					15"					
2'					30"					
					1'					
15"					2					
30"										
1'					15"					
2'					30"					
					1'					
15"					2					
30"										
1'					15"					
2'					30"					
					1'					
15"					2					
30"										
1'					15"					
2'					30"					
					1'					
15"					2					
30"										
1'					15"					
2'					30"					
					1'					
15"					2					
30"										
1'					15"					
2'					30"					
					1'					
15"					2					
30"										
1'					15"					
2'					30"					
					1'					
15"					2					
30"										
1'					15"					
2'					30"					
					1'					
15"					2					
30"										
1'					15"					
2'					30"					
					1'					
15"					2					
30"										
1'					15"					
2'					30"					
	</									

現場透水試験測定値一覧表

測定 No. 1

測定深度 G.L. - 3.45 m

時間 分、秒	h	H	log H
0'00"	0.00	203.00	2.307
0'10"	0.40	202.60	2.306
0'20"	1.40	201.60	2.304
0'30"	1.90	201.10	2.303
0'40"	2.50	200.50	2.302
0'50"	2.90	200.10	2.301
1'00"	3.30	199.70	2.300
2'00"	5.80	197.20	2.295
3'00"	7.50	195.50	2.291
4'00"	8.90	194.10	2.288
5'00"	10.00	193.00	2.285
6'00"	10.70	192.30	2.283
7'00"	11.50	191.50	2.282
8'00"	12.20	190.80	2.280
9'00"	12.90	190.10	2.278
10'00"	13.60	189.40	2.277
15'00"	17.00	186.00	2.269

試験法：ビエゾメータ法（注入）

平衡水位：G.L. - 2.03 m

時間 分、秒	h	H	log H
20'00"	20.00	183.00	2.262
25'00"	22.80	180.20	2.255
30'00"	25.40	177.60	2.249
40'00"	30.40	172.60	2.235
50'00"	35.60	167.40	2.223
60'00"	40.40	162.60	2.210
75'00"	47.50	155.50	2.190
90'00"	52.00	151.00	2.178
105'00"	58.00	145.00	2.161
※ 間隙水圧	S=3.45-2.03		
	-1.42 t/m <sup>2</sup>		
	=0.142%		

h : ケーシング口元からの距離 (cm) . . . . ケーシング口元 = G.L. - 0.15 m

H : 平衡水位からの距離 (cm)

現場透水試験測定値一覧表

測定 No. T<sub>3</sub> - 2

測定深度 G.L. - 7.50 m

時間 分、秒	h	H	log H
0.00"	0.00	282.0	2.450
0.10"	1.50	280.5	2.447
0.20"	3.40	278.6	2.444
0.30"	5.00	277.0	2.442
0.40"	6.00	276.0	2.440
0.50"	7.40	274.6	2.438
1.00"	8.60	273.4	2.436
2.00"	13.50	268.5	2.428
3.00"	17.10	264.9	2.423
4.00"	20.00	262.0	2.415
5.00"	22.00	260.0	2.414
6.00"	24.50	257.5	2.410
7.00"	26.30	255.7	2.407
8.00"	28.20	253.8	2.404
9.00"	29.80	252.2	2.401
10.00"	31.30	250.7	2.399
15.00"	38.60	243.4	2.386

試験法：ピエゾメータ法（注入）

平衡水位：G.L. - 2.82 m

時間 分、秒	h	H	log H
20.00"	42.00	240.0	2.380
25.00"	44.80	237.2	2.375
30.00"	47.40	234.6	2.370
40.00"	51.30	230.7	2.363
50.00"	54.30	227.7	2.357
60.00"	56.50	225.5	2.353
75.00"	59.00	223.0	2.348
90.00"	61.60	220.4	2.343
105.00"	63.00	219.0	2.340
900.00"	85.90	196.0	2.292
※ 間隙水圧 S=7.50-2.82			
		=4.68 t/m <sup>2</sup>	
		=0.468 %	
		•	

h : ケーシング口元からの距離 (cm) . . . . . ケーシング口元 = G.L. - 0.15 m

H : 平衡水位からの距離 (cm)

## 現場透水試驗測定值一覽表

### 測定 No. T<sub>3</sub>-2(その1)

測定深度 G.L - 7.50 m

時 間	h	H	log H
分、秒			
0.00	305.0	23.0	1.361
0.10	303.0	21.0	1.322
0.20	300.0	18.0	1.255
0.30	297.0	15.0	1.176
0.40	294.5	12.5	1.096
0.50	294.0	12.0	1.079
1.00	293.0	11.0	1.041
2.00	291.0	9.0	0.954
3.00	289.0	7.0	0.845
4.00	287.5	5.5	0.740
5.00	286.0	4.0	0.602
6.00	285.5	3.5	0.544
7.00	285.0	3.0	0.477
8.00	285.0	3.0	0.477
9.00	284.8	2.8	0.447
10.00	284.6	2.6	0.414
15.00	283.8	1.8	0.255

### 試験法：ピエゾメーター法(回復)

平衡水位:  $G_L = 2.82 \text{ m}$

$h$  : ケーシング口元からの距離 (cm) . . . . . ケーシング口元 = G4 = 0.15 m

H: 平衡水位からの距離 (cm)

## 現場透水試驗測定值一覽表

## 測定 $N_{\alpha T_3}$ - 2 (その 2)

### 試験法：ピエゾメータ法（回復）

測定深度 G.L-7.50 m

平衡水位: GL = 2.82 m

時 間 分、秒	h :	H	log H
0.00	320.0	38.0	1.579
0.20	308.5	26.5	1.423
0.40	303.5	21.5	1.332
1.00	298.2	16.2	1.209
2.00	294.0	12.0	1.079
3.00	291.0	9.0	0.954
4.00	289.3	7.3	0.863
5.00	288.2	6.2	0.792
10.00	285.5	3.5	0.544
15.00	285.0	3.0	0.477
20.00	284.8	2.8	0.447
25.00	284.7	2.7	0.431
30.00	284.7	2.7	0.431
40.00	284.6	2.6	0.414
50.00	284.6	2.6	0.414
60.00	284.6	2.6	0.414
70.00	284.6	2.6	0.414

<sup>h</sup> : ケーシング口元からの距離 (cm) . . . . . ケーシング口元 = G.L. - 0.15 m

H : 平衡水位からの距離 (cm)

現場透水試験測定値一覧表

測定 No. T<sub>3</sub> - 3

測定深度 G.L. - 10.65 m

時間 分、秒	h	H	log H
0.00	0.00	298.0	2.474
0.10	0.20	297.8	2.473
0.20	0.50	297.5	2.473
0.30	1.00	297.0	2.472
0.40	1.70	296.3	2.471
0.50	2.00	296.0	2.471
1.00	2.50	295.5	2.470
2.00	5.50	292.5	2.466
3.00	8.50	289.5	2.461
4.00	11.70	286.3	2.456
5.00	14.80	283.2	2.452
6.00	17.60	280.4	2.447
7.00	20.80	277.2	2.442
8.00	24.00	274.0	2.437
9.00	26.70	271.3	2.433
10.00	29.00	269.0	2.429
15.00	42.50	255.5	2.407

試験法：ピエゾメータ法（注入）

平衡水位：G.L. - 2.98 m

時間 分、秒	h	H	log H
20.00	54.50	243.5	2.386
25.00	66.00	232.0	2.365
30.00	74.00	224.0	2.350
40.00	93.50	204.5	2.310
50.00	113.50	184.5	2.265
60.00	130.00	168.0	2.225
75.00	150.50	147.5	2.168
90.00	169.50	128.5	2.108
105.00	188.00	110.0	2.041
135.00	217.00	81.0	1.908
※ 間隙水圧			$S = 10.65 - 2.98$
			= 7.67 t/m <sup>2</sup>
			= 0.767 kg/cm <sup>2</sup>

h : ケーシング口元からの距離 (cm) . . . . . ケーシング口元 = G.L. - 0.15 m

H : 平衡水位からの距離 (cm)

## 現場透水試驗測定值一覽表

### 測定 $N_{A^+}$ — 3

測定深度 G.L - 1 0.65 m

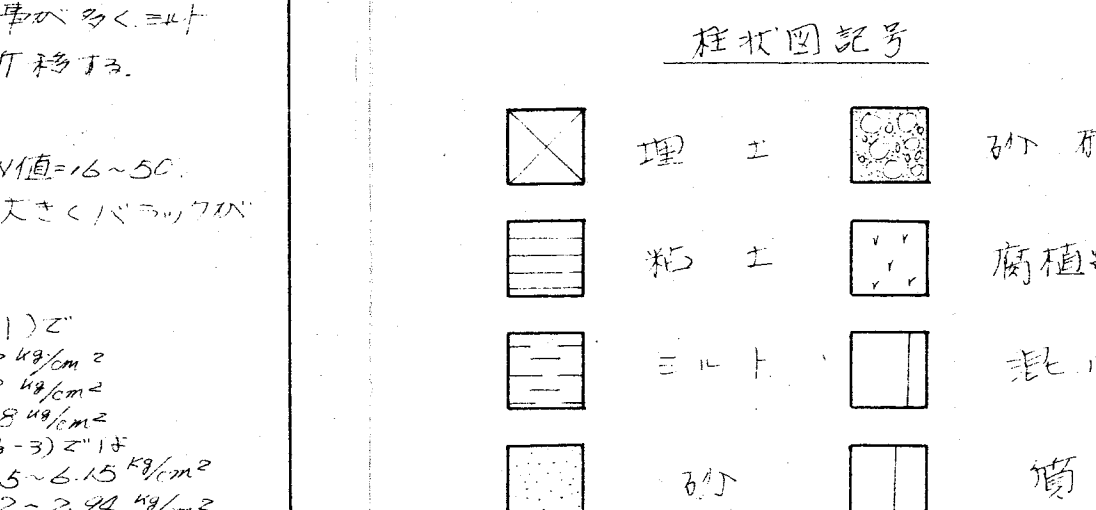
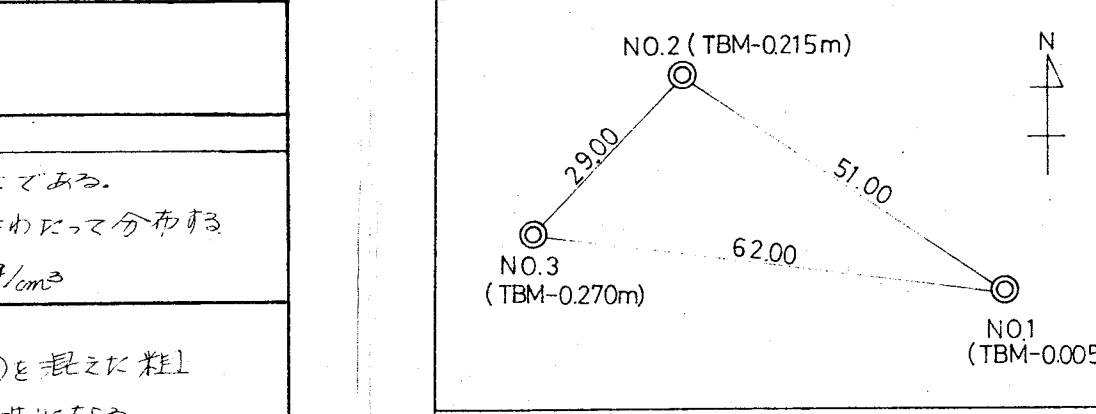
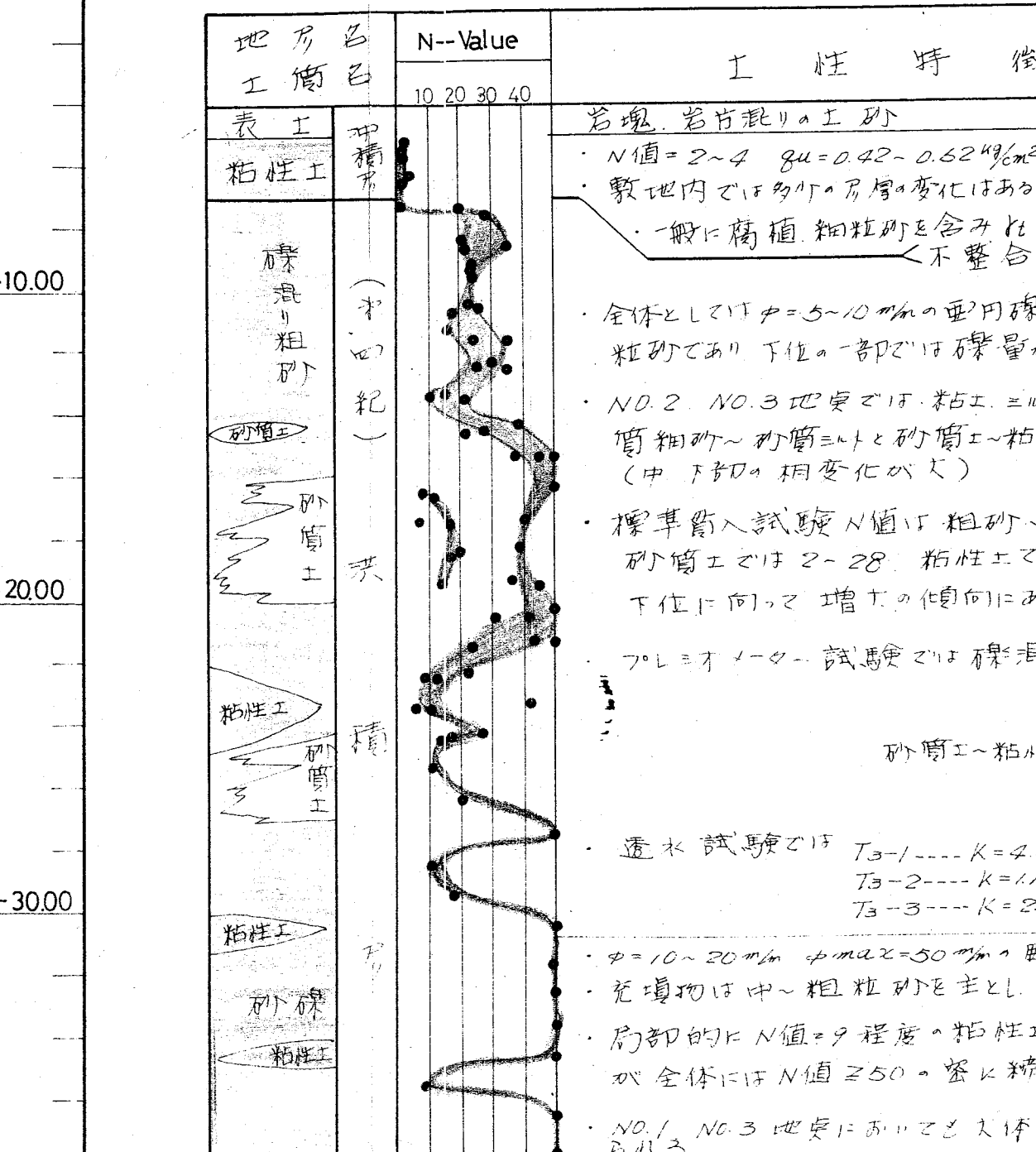
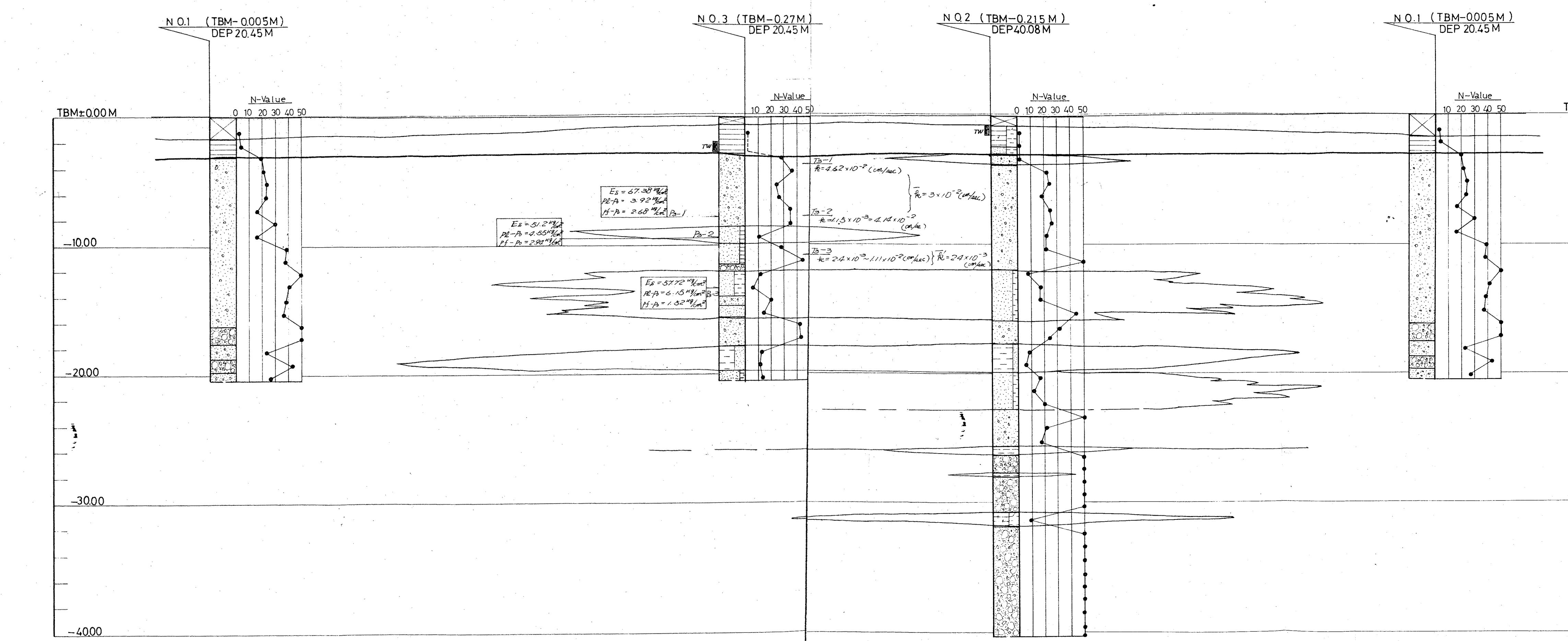
時間 分、秒	h	H	log H
0.00"	796.00	498.0	2.697
0.20"	767.00	469.0	2.671
0.40"	764.00	466.0	2.668
1.00"	761.00	463.0	2.665
2.00"	732.00	434.0	2.637
3.00"	701.00	403.0	2.605
4.00"	667.00	369.0	2.567
5.00"	647.50	349.5	2.543
6.00"	620.00	322.0	2.507
7.00"	597.00	299.0	2.475
8.00"	579.00	281.0	2.448
9.00"	560.00	262.0	2.418
10.00"	540.00	242.0	2.385
15.00"	469.00	171.0	2.232
20.00"	417.00	119.0	2.075
25.00"	383.00	85.0	1.929
30.00"	358.00	60.0	1.778

### 試験法：ピエゾメーター法（回復）

平衡水位: GL - 2.98 m

$h$  : ケーシング口元からの距離 (cm) ..... ケーシング口元  $= GL = 0.15\text{m}$

H : 平衡水位からの距離 (cm)



新築工事に伴う  
建築調査委員会  
市役所新築工事に伴う  
建築調査委員会

44 12 91